

การพัฒนาวัสดุจีโอพอลิเมอร์จากเจ้าถอย แคลไชน์เกอเลิน  
และปูนซีเมนต์ปอร์ทแลนด์



วิทยานิพนธ์นี้เป็นส่วนหนึ่งของการศึกษาตามหลักสูตรปริญญาวิศวกรรมศาสตรมหาบัณฑิต<sup>๑</sup>  
สาขาวิชาบริหารธุรกิจ<sup>๒</sup>  
มหาวิทยาลัยเทคโนโลยีสุรนารี  
ปีการศึกษา 2561

**DEVELOPMENT OF GEOPOLYMER MATERIAL  
FROM FLY ASH, CALCINED KAOLIN AND  
PORTLAND CEMENT**



**A Thesis Submitted in Partial Fulfillment of the Requirements for the  
Degree of Master of Engineering in Ceramic Engineering  
Suranaree University of Technology  
Academic Year 2019**

## การพัฒนาวัสดุจิโอพอลิเมอร์จากถ้าloy แก้ไขน้ำเกลิน และปูนซีเมนต์ปอร์ทแลนด์

มหาวิทยาลัยเทคโนโลยีสุรนารี อนุมัติให้นับวิทยานิพนธ์ฉบับนี้เป็นส่วนหนึ่งของการศึกษา<sup>๑</sup>  
ตามหลักสูตรปริญญาบัณฑิต

คณะกรรมการสอบวิทยานิพนธ์



ดร.สันติ แม่นศิริ  
รองอธิการบดีฝ่ายวิชาการ  
และพัฒนาความเป็นสถาบัน

ดร. ร.อ. ดร.กนต์ธร ขำนิประศาสน์  
คณบดีสำนักวิชาวิศวกรรมศาสตร์

ณัฐพงศ์ พาจันทร์ : การพัฒนาวัสดุจีโอโพลิเมอร์จากถ่านหิน แคลไชน์เกอเลิน และ  
ปูนซีเมนต์ปอร์ตแลนด์ (DEVELOPMENT OF GEOPOLYMER MATERIAL FROM  
FLY ASH, CALCINED KAOLIN AND PORTLAND CEMENT) อาจารย์ที่ปรึกษา :  
ผู้ช่วยศาสตราจารย์ ดร.อนุรัตน์ ภูวนคำ, 71 หน้า

ปูนซีเมนต์ปอร์ตแลนด์ (Ordinary Portland Cement ,OPC) เป็นหนึ่งในวัสดุหลักที่สำคัญที่ได้รับความนิยมและใช้กันอย่างแพร่หลายมากที่สุดในโลก แต่ในปัจจุบันปูนซีเมนต์ปอร์ตแลนด์เป็นวัสดุที่ไม่เป็นมิตรต่อสิ่งแวดล้อมเนื่องจากการผลิตปูนซีเมนต์ปอร์ตแลนด์นั้นต้องใช้พลังงานความร้อนสูงและมีการปล่อยก๊าซคาร์บอนไดออกไซด์ ( $CO_2$ ) ออกสู่ชั้นบรรยากาศจำนวนมาก นักวิจัยหลายกลุ่มพยายามพัฒนาวัสดุที่มีชื่อว่า จีโอโพลิเมอร์ (Geopolymer) ซึ่งเป็นวัสดุทางเลือกใหม่ที่ได้รับความสนใจมากในปัจจุบันเพื่อใช้ทดแทนปูนซีเมนต์ปอร์ตแลนด์ สามารถสังเคราะห์ได้จากวัตถุดินที่มีสารประกอบอะลูมิโนซิลิกาเกตเป็นองค์ประกอบรวมถึงถ่านหินคุณภาพสูงที่นิยมนำมาเป็นวัตถุดินหลักในการสังเคราะห์จีโอโพลิเมอร์ซึ่งจะให้ความแข็งแรงที่สูงและที่ผ่านมาขึ้นไม่มีงานวิจัยใดที่ใช้ถ่านหินคุณภาพดีเป็นวัตถุดินในการสังเคราะห์จีโอโพลิเมอร์ในงานวิจัยนี้มีวัตถุประสงค์เพื่อพัฒนาจีโอโพลิเมอร์ให้สามารถบ่มที่อุณหภูมิห้องโดยได้ใช้วัตถุดินจากถ่านหินคุณภาพดีและแคลไชน์เกอเลินเป็นสารตั้งต้น

ผลการศึกษาพบว่า เพื่อให้ได้วัสดุจีโอโพลิเมอร์ที่มีความแข็งแรงสูงจำเป็นต้องเติมปูนซีเมนต์ปอร์ตแลนด์เล็กน้อยขึ้นละ 5 โดยน้ำหนัก จะสามารถทำให้จีโอโพลิเมอร์ที่สังเคราะห์ได้มีความแข็งแรงมากกว่าปูนซีเมนต์ปอร์ตแลนด์และสามารถบ่มจีโอโพลิเมอร์ได้ที่อุณหภูมิห้องเนื่องจากความร้อนจากปฏิกิริยาไฮเดรชัน (Hydration) เพียงพอต่อการเกิดกระบวนการจีโอโพลิเมอร์ (Geopolymerization process)

วัสดุจีโอโพลิเมอร์ที่ปราศจากการเติมปูนซีเมนต์ปอร์ตแลนด์จำเป็นต้องใช้ความร้อนจากภายนอกในการบ่มเพื่อให้ได้ความแข็งแรงที่เหมาะสมต่อการใช้งาน หลังจากบ่มที่อุณหภูมิ 60 องศาเซลเซียสเป็นเวลา 7 วัน จีโอโพลิเมอร์ที่ประกอบด้วยถ่านหินและแคลไชน์เกอเลินในสัดส่วน 1:1 โดยน้ำหนักมีค่ารับกำลังแรงอัด 42 MPa ซึ่งเพียงพอต่อการนำไปใช้งานทางค้านวัตกรรม

องค์ความรู้จากการวิจัยนี้ หมายให้เห็นถึงวิธีการนำถ่านหินซึ่งเป็นของเสียที่เป็นพิษมาพัฒนาให้เป็นวัสดุที่มีคุณภาพ

NUTTAPONG PHACHAN: DEVELOPMENT OF GEOPOLYMER  
MATERIAL FROM FLY ASH, CALCINED KAOLIN AND PORTLAND  
CEMENT. THESIS ADVISOR : ASST.PROF. ANURAT POOWANCUN,  
Ph.D., 71 PP.

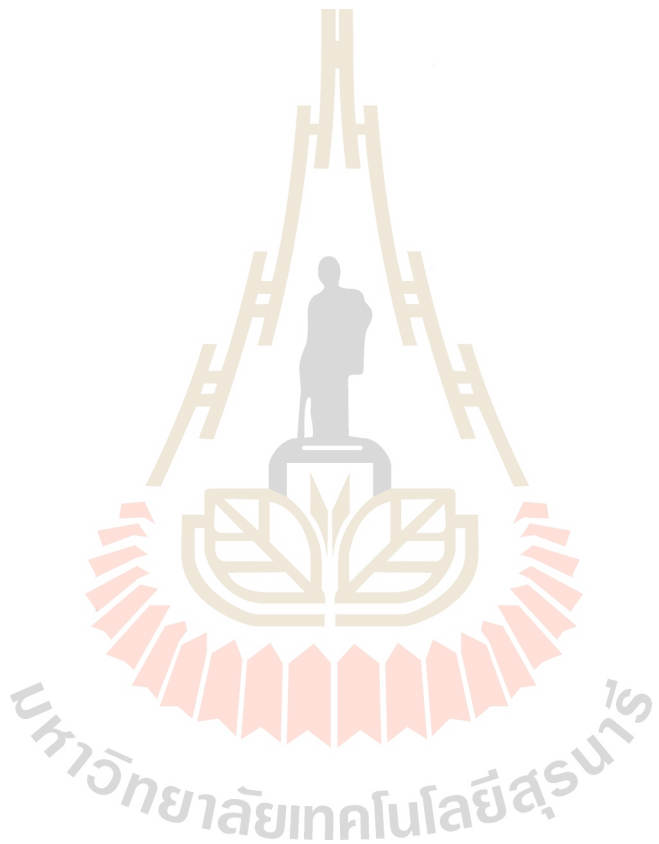
GEOPOLYMER/GEOPOLYMERIZATION/FLY ASH/CALCINED KAOLIN/PORTLAND  
CEMENT

Ordinary Portland Cement (OPC) is one of the most used materials in the world. However, OPC is an environmentally unfriendly material. The production process of OPC requires high energy consumption and releases large amounts of carbon dioxide ( $\text{CO}_2$ ). Geopolymer is an excellent candidate for using as a cement replacement material. Geopolymer can be synthesized from various kinds of aluminosilicate materials including fly ash. However, only high-quality fly ash is used to develop high strength geopolymer. There is not any technology for developing geopolymer from fly ash (FA). The aim of this work is to develop the room temperature curing geopolymer by using FA and metakaolin (MK) as the precursors.

The results show that the addition of small amounts of OPC is required for obtaining the high strength of FA-MK-geopolymer. By adding tiny amounts of OPC, i.e., 5 weight%, the strength of FA-MK-Geopolymer is higher than that of OPC after curing at room temperature. The heat generated from cement hydration is sufficient for the geopolymer hardening process (geopolymerization process). However, the external heat curing is required to obtain the high strength FA-MK-geopolymer which lack of the OPC addition.

After curing at the 60 °C for 7 days, FA-MK-geopolymer that contain FA/MK in the ration of 1:1 by weight obtain the strength of 42 MPa which sufficient for engineering application.

The knowledge of this research reveals the method for utilizing the hazardous waste, i.e., FA as a valuable material.



School of Ceramic Engineering  
Academic Year 2018

Student's Signature   
Advisor's Signature 

## กิจกรรมประจำ

วิทยานิพนธ์นี้สำเร็จลุล่วงตามวัตถุประสงค์ด้วยการสนับสนุน ผู้วิจัยขอขอบคุณ  
มหาวิทยาลัยเทคโนโลยีสุรนารีและบุคคลที่กรุณาให้ความสนับสนุนอย่างดีเยี่ยมในทุกด้าน ดังนี้

ผู้ช่วยศาสตราจารย์ ดร.อนุรัตน์ ภูวนิภา อาจารย์ประจำมหาวิทยาลัยเทคโนโลยีสุรนารี  
อาจารย์ที่ปรึกษาวิทยานิพนธ์ที่ได้กรุณาให้โอกาสทางการศึกษา ให้คำปรึกษา คำแนะนำ พร้อมทั้ง  
ช่วยแก้ปัญหา และให้ความอนุเคราะห์เรียนเรียงตรวจสอบความสมบูรณ์ของเนื้อหาในงานวิจัยเล่ม  
นี้

คณครุยทุกท่าน ในสาขาวิศวกรรมเชร์รามิก มหาวิทยาลัยเทคโนโลยีสุรนารี ที่ให้ความ  
เมตตาอบรม และให้ความรู้กับผู้วิจัยมาโดยตลอด

คุณพันธิพา นำสว่างรุ่งเรือง ที่ให้ความช่วยเหลือและประสานงานทางด้านเอกสารตลอด  
ระยะเวลาที่ศึกษา รวมถึงเจ้าหน้าที่ทุกท่านที่ศูนย์เครื่องมือมหาวิทยาลัยเทคโนโลยีสุรนารี ที่ให้  
คำแนะนำและอำนวยความสะดวกทางด้านเครื่องมือให้กับผู้วิจัย

ขอขอบคุณ มหาวิทยาลัยเทคโนโลยีสุรนารี ที่ได้เปิดโอกาสทางการศึกษา และให้ความ  
ช่วยเหลือในการเครื่องมือมาโดยตลอด

ขอขอบคุณ คุณแม่ อุ่นพาจันทร์ มารดาผู้ให้กำเนิดและให้ทุกสิ่ง ให้ความรัก ความอบอุ่น  
คำแนะนำและกำลังใจที่สำคัญ

คุณประโยชน์อันไดที่เกิดขึ้นจากการวิจัยครั้งนี้ย่อมเป็นผลจากความกรุณาจากทุกท่านที่ได้  
กล่าวนามมาข้างต้น จนผู้วิจัยดำเนินการวิจัยจนสำเร็จลุล่วงได้ ข้าพเจ้าขอราบรื่นพระคุณอย่างสูง  
ไว้ ณ โอกาสนี้

ณัฐพงศ์ พاجันทร์

# สารบัญ

หน้า

บทคัดย่อ (ไทย).....	ก
บทคัดย่อ (อังกฤษ).....	ข
กิตติกรรมประกาศ .....	ค
สารบัญ.....	ง
สารบัญตาราง .....	ภ
สารบัญรูป .....	ภ
<b>บทที่</b>	
<b>1 บทนำ.....</b>	<b>1</b>
1.1 ความสำคัญและที่มาของปัญหา.....	1
1.2 วัตถุประสงค์การวิจัย .....	2
1.3 ขอบเขตการวิจัย .....	3
1.4 ประโยชน์ที่คาดว่าจะได้รับ .....	3
<b>2 ปรัชญาวรรณกรรมและงานวิจัยที่เกี่ยวข้อง.....</b>	<b>4</b>
2.1 จีโอพอลิเมอร์ .....	4
2.1.1 สมบัติทั่วไปของจีโอพอลิเมอร์ .....	4
2.1.2 การทำปฏิกิริยาของจีโอพอลิเมอร์ .....	5
2.1.2.1 กระบวนการชะล้าง .....	5
2.1.2.2 ปฏิกิริยาจีโอพอลิเมอร์เรซัน .....	6
2.1.3 ความแตกต่างระหว่างจีโอพอลิเมอร์และปูนซีเมนต์ปอร์ตแลนด์ .....	7
2.2 ปูนซีเมนต์ .....	8
2.2.1 องค์ประกอบทางเคมีของปูนซีเมนต์ปอร์ตแลนด์ .....	8
2.2.2 สมบัติของสารประกอบหลัก .....	10
2.2.2.1 ปูนซีเมนต์ปอร์ตแลนด์ประเภทที่หนึ่ง .....	11
2.2.2.2 ปูนซีเมนต์ปอร์ตแลนด์ประเภทที่สอง .....	11
2.2.2.3 ปูนซีเมนต์ปอร์ตแลนด์ประเภทที่สาม .....	11

## สารบัญ (ต่อ)

หน้า

2.2.2.4	ปูนซีเมนต์ปอร์ตแลนด์ประเภทที่สี่ .....	11
2.2.2.5	ปูนซีเมนต์ปอร์ตแลนด์ประเภทที่ห้า.....	11
<b>2.3</b>	<b>ถ้าลอย .....</b>	<b>12</b>
2.3.1	สมบัติพื้นฐานของถ้าลอย .....	12
2.3.2	สมบัติทางกายภาพของถ้าลอย .....	13
2.3.3	ลักษณะรูปร่างถ้าลอย .....	13
2.3.4	ขนาดและความถ่วงจำเพาะของถ้าลอย .....	14
2.3.5	การหาดชันและการพัฒนากำลังของถ้าลอย .....	14
2.3.6	ความต้องการน้ำ .....	15
2.3.7	ความสมำ่เสมอ .....	15
2.3.8	แฟคเตอร์ผลคูณ .....	15
2.4	คินขา .....	16
2.5	งานวิจัยที่เกี่ยวข้อง .....	17
<b>3</b>	<b>วิธีดำเนินงานวิจัย .....</b>	<b>21</b>
3.1	อุปกรณ์การทดลอง .....	21
3.1.1	โซเดียมไอกրอกไซค์ชนิดเม็ด .....	22
3.1.2	โซเดียมซิลิกेटชนิดสารละลาย .....	22
3.2	การดำเนินการทดลอง .....	22
3.2.1	การเตรียมถ้าลอยและแคลไชน์เกลิน .....	24
3.2.2	การทดสอบองค์ประกอบทางเคมีของถ้าลอยและแคลไชน์เกลิน .....	24
3.2.3	การวิเคราะห์องค์ประกอบทางเฟสของถ้าลอยและแคลไชน์เกลิน.....	25
3.2.4	การวิเคราะห์ลักษณะและรูปร่างของถ้าลอย .....	26
3.2.5	การเตรียมด่างสำหรับใช้ทำปฏิกิริยา.....	27
3.2.6	การขึ้นรูปชิ้นงาน.....	28
3.2.7	การวัดเวลาในการก่อตัว .....	28
3.2.8	การทดสอบกำลังรับแรงอัด .....	29

สารบัญ (ต่อ)

ໜັກ

3.2.9	การวัดความหนาแน่น.....	31
3.2.10	การศึกษาผลของการเติมปูนซีเมนต์ปอร์ตแลนด์ต่อ สมบัติของจีโอพอลิเมอร์ .....	32
3.2.11	การทดสอบอุณหภูมิที่เกิดขึ้นระหว่างการก่อตัวของจีโอพอลิเมอร์ .....	32
3.2.11	การตรวจสอบโครงสร้างจุลภาคของจีโอพอลิเมอร์ .....	33
<b>4</b>	<b>ผลการทดลองและอภิปรายผล .....</b>	<b>34</b>
4.1	ผลการวิเคราะห์องค์ประกอบทางเคมีของถ้าโลยและแคลไซน์เกลิน .....	33
4.2	ผลการวิเคราะห์ลักษณะรูปร่างของถ้าโลย .....	35
4.3	ผลการวิเคราะห์องค์ประกอบทางเคมีของถ้าโลย และแคลไซน์เกลิน .....	35
4.4	ผลของความเข้มข้นของโซเดียมไอก្រอกไฮด์ริดต่อกำลังรับแรงอัดของ จีโอพอลิเมอร์ .....	37
4.4.1	ผลของความเข้มข้นของโซเดียมไอก្រอกไฮด์ริดต่อกำลังรับแรงอัด ของจีโอพอลิเมอร์.....	37
4.4.2	ผลความเข้มข้นของโซเดียมไอก្រอกไฮด์ริดต่อเวลาการ ก่อตัวของจีโอพอลิเมอร์ .....	38
4.5	ผลของอัตราส่วนระหว่างสารละลายโซเดียมซิลิกาต์ต่อสารละลาย โซเดียมไอก្រอกไฮด์ริด ต่อสมบัติของจีโอพอลิเมอร์ .....	39
4.5.1	ผลของอัตราส่วนระหว่างสารละลายโซเดียมซิลิกาต์ต่อสารละลาย ต่อกำลังรับแรงอัดของจีโอพอลิเมอร์ .....	39
4.5.2	ผลของอัตราส่วนระหว่างสารละลายโซเดียมซิลิกาต์ต่อสารละลาย ต่อเวลาการก่อตัวของจีโอพอลิเมอร์ .....	41
4.6	ผลการแทนที่ถ้าโลยด้วยแคลไซน์เกลินต่อสมบัติของจีโอโพลิเมอร์ .....	41
4.6.1	ผลการแทนที่ถ้าโลยด้วยแคลไซน์เกลินต่อค่า กำลังรับแรงอัดของจีโอพอลิเมอร์ .....	42

## สารบัญ (ต่อ)

หน้า

4.6.2	ผลการแทนที่ถ้าลองด้วยแคลไชน์เกอลินต่อเวลาการก่อตัวของจีโอพอลิเมอร์.....	43
4.7	ผลการแทนที่พงจีโอพอลิเมอร์ด้วยปูนซีเมนต์ปอร์ตแลนด์ต่อสมบัติของจีโอพอลิเมอร์.....	44
4.7.1	ผลของการเติมปูนซีเมนต์ปอร์ตแลนด์ต่อกำลังรับแรงอัดและเวลาการก่อตัวของจีโอพอลิเมอร์.....	45
4.7.2	ผลของการเติมปูนซีเมนต์ปอร์ตแลนด์ต่อความหนาแน่นของจีโอพอลิเมอร์.....	47
4.7.3	ผลของการเติมปูนซีเมนต์ปอร์ตแลนด์ต่อโครงสร้างจุลภาค (Microsturctur) ของจีโอพอลิเมอร์.....	48
5	สรุปผลการวิจัยและข้อเสนอแนะ .....	50
5.1	สรุปผลการวิจัย .....	50
5.2	ข้อเสนอแนะ .....	51
	รายการอ้างอิง .....	52
	ภาคผนวก ก บทความที่ทางวิชาการตีพิมพ์เผยแพร่ในระหว่างเรียน .....	58
	ภาคผนวก ข การคำนวณสัดส่วนระหว่างซิลิกอนต่ออะลูมิเนียม.....	67
	ประวัติผู้เขียน.....	71

## สารบัญตาราง

ตารางที่	หน้า
2.1 องค์ประกอบหลักและรองทางเคมีของปูนซีเมนต์ปอร์ตแลนด์	9
2.2 ข้อกำหนดด้านเคมีของถ้วยตามมาตรฐาน ASTM C618	13
3.1 แสดงเครื่องมือที่ใช้ในการดำเนินการวิจัย	21
3.2 แสดงสารเคมีที่ใช้ในงานวิจัย	22
4.1 แสดงผลการวิเคราะห์องค์ประกอบทางเคมีของวัตถุดิบด้วยอิ็กซ์เรย์ฟลูออเรสเซนต์	34
4.2 แสดงผลการคำนวณอัตราส่วน Si/Al	43

## สารบัญรูป

รูปที่	หน้า
2.1 แสดงโครงสร้างการเข้ามพันธะของโพลีไซอะเลต.....	6
2.2 แสดงแบบจำลองกลไกการเกิดปฏิกิริยาจีโอลิเมอร์ชั้น .....	7
2.3 แสดงรูปร่างของถ่านอยซึ่งถูกถ่ายด้วยกล้องจุลทรรศน์อิเล็กตรอนแบบส่อง粒 ..... 3.1 แสดงขั้นตอนและวิธีการทดลองของงานวิจัย.....	14 23
3.2 แสดงเครื่อง X-ray fluorescence (XRF) .....	24
3.3 แสดงเครื่อง X-ray diffractometer (XRD) .....	25
3.4 แสดงเครื่อง Ion sputtering device .....	26
3.5 แสดงเครื่อง Scanning electron microscope (SEM) .....	27
3.6 แสดงแสดงเครื่อง Gilmore needle .....	29
3.7 แสดงเครื่องมือ Uniaxial press.....	30
3.8 แสดงวิธีการวัดอุณหภูมิ .....	32
4.1 แสดงรูปร่างของถ่านอยซึ่งถูกถ่ายด้วยกล้องจุลทรรศน์อิเล็กตรอนแบบ ส่อง粒กำลังขยาย 1000 เท่า.....	35
4.2 ผลวิเคราะห์ทางไฟฟ้าของถ่านอย.....	36
4.3 แสดงผลวิเคราะห์ทางไฟฟ้าของแคลไชน์เกลิน.....	37
4.4 แสดงความเข้มข้นของโซเดียมไฮครอกไซค์ต่อกำลังรับแรงอัดของจีโอลิเมอร์.....	38
4.5 แสดงความเข้มข้นของโซเดียมไฮครอกไซค์ต่อเวลาในการก่อตัวของจีโอลิเมอร์.....	39
4.6 แสดงความสัมพันธ์ระหว่างอัตราส่วนสารละลายโซเดียมซิลิกेटต่อสารละลาย โซเดียมไฮครอกไซค์กับกำลังรับแรงอัด.....	40
4.7 แสดงความสัมพันธ์ระหว่างอัตราส่วนสารละลายโซเดียมซิลิกेटต่อสารละลาย โซเดียมไฮครอกไซค์กับเวลาในการก่อตัวของจีโอลิเมอร์.....	41
4.8 ค่ากำลังรับแรงอัดของจีโอลิเมอร์ที่มีการแทนที่ถ่านอยด้วย แคลไชน์เกลินในบริมาณต่างๆ .....	43

## สารบัญรูป (ต่อ)

หน้า

4.9 แสดงเวลาในการก่อตัวของจีโอพอลิเมอร์ที่มีการแทนที่ด้วย แคลไซน์เกอลินในปริมาณต่างๆ .....	44
4.10 แสดงผลของความสัมพันธ์ระหว่างปริมาณการแทนที่แคลไซน์เกอลินถ้าloy จีโอพอลิเมอร์ด้วยปูนซีเมนต์ปอร์ตแลนด์ต่อกำลังรับแรงอัดของจีโอพอลิเมอร์ .....	46
4.11 แสดงความสัมพันธ์ระหว่างอุณหภูมิต่อเวลาในการก่อตัวตามปริมาณ ปูนซีเมนต์ปอร์ตแลนด์กับแคลไซน์เกอลอนถ้าloyจีโอพอลิเมอร์ .....	46
4.12 แสดงความสัมพันธ์ระหว่างปูนซีเมนต์ปอร์ตแลนด์ต่อแคลไซน์เกอลินถ้าloy กับเวลาในการก่อตัวจีโอพอลิเมอร์.....	47
4.13 แสดงความสัมพันธ์ระหว่างปูนซีเมนต์ปอร์ตแลนด์กับความหนาแน่น ของแคลไซน์เกอลอนถ้าloyจีโอพอลิเมอร์ .....	48
4.14 แสดงโครงสร้างทางชุลภาพของวัสดุจีโอพอลิเมอร์ที่สังเคราะห์จากถ้าloyผสมกับ แคลไซน์เกอลิน บ่มที่อุณหภูมิห้องเป็นเวลา 7 วัน กำลังขยาย 3000 เท่า.....	49



## บทที่ 1

### บทนำ

#### 1.1 ความเป็นมาความสำคัญของปูนหิน

ปูนซีเมนต์ปอร์ตแลนด์ (Ordinary Portland Cement, OPC) เป็นวัสดุที่ถูกใช้งานอย่างแพร่หลายในอุตสาหกรรมการก่อสร้าง พลิตโดยการเผาแลด ไซน์ (Calcined) สารประกอบแคลเซียมออกไซด์ ( $\text{CaO}$ ) ซิลิกอนไครออกไซด์ ( $\text{SiO}_2$ ) และอะลูมิเนียมออกไซด์ ( $\text{Al}_2\text{O}_3$ ) ที่อุณหภูมิประมาณ 1450 องศาเซลเซียส (K. Svinning, 2006) ซึ่งกระบวนการดังกล่าวต้องใช้เชื้อเพลิงและพลังงานสูงมาก อีกทั้งยังก่อให้เกิดก๊าซคาร์บอนไดออกไซด์ ( $\text{CO}_2$ ) ในปริมาณมหาศาล ซึ่งก๊าซดังกล่าวเป็นหนึ่งในสาเหตุหลักที่ก่อให้เกิดภาวะโลกร้อน จากผลกระทบดังกล่าวส่งผลให้นักวิจัยพยายามคุ้มพยาบาลพัฒนาวัสดุชนิดใหม่ที่เป็นมิตรต่อสิ่งแวดล้อมเพื่อใช้ทดแทนปูนซีเมนต์ปอร์ตแลนด์ วัสดุชนิดหนึ่งที่ได้รับความสนใจมากในปัจจุบันคือ “จีโอโพลิเมอร์ (Geopolymer)”

วัสดุจีโอโพลิเมอร์ สามารถสังเคราะห์ได้จากการทำปฏิกิริยาระหว่างสารละลายเข้มข้นของอัลคาไลไฮดรอกไซด์ (Alkali hydroxide) และ/หรือ อัลคาไลน์ซิลิเกต (Alkaline silicate) กับสารประกอบอะลูมิโนซิลิเกต (Aluminosilicate) (P. Duxson et.al.,2007) จีโอโพลิเมอร์มีสมบัติคล้ายปูนซีเมนต์ปอร์ตแลนด์ แต่ใช้พลังงานในการผลิตน้อยกว่าและมีการปลดปล่อยก๊าซคาร์บอนไดออกไซด์ในปริมาณที่น้อยมาก (J. L. Provis et.al.,2009) นอกจากนี้วัสดุจีโอโพลิเมอร์ยังทนต่อความเป็นกรดได้ดีกว่าปูนซีเมนต์ปอร์ตแลนด์ (J. Davidovits,1987) และมีสมบัติในการยับยั้งการเคลื่อนที่ของอิออนโลหะหนัก (J.S.G. van Jaarsveld et.al.,1995) ทำให้จีโอโพลิเมอร์ถูกนำไปใช้งานในการเก็บกักโลหะเป็นพิษ (J.Davidovits,1994) นอกจากนั้น P.G. Malone (1986) ได้รายงานว่าวัสดุจีโอโพลิเมอร์ที่พัฒนาได้มีความแข็งแรงที่สูงกว่าปูนซีเมนต์ปอร์ตแลนด์และยังมีการหล่อตัวภายหลังจากการแข็งตัวน้อยกว่า (P.G. Malone,1986)

โครงสร้างของจีโอโพลิเมอร์ ประกอบด้วยโครงข่ายของซิลิกอน (Silicon) ออกซิเจน (Oxygen) และ อะลูมิเนียม (Aluminum) มีลักษณะคล้ายคลึงกับโครงสร้างของซีโอลายท์ (Zeolite) ที่อะตอมของซิลิกอนและอะลูมิเนียมเชื่อมต่อกัน โดยการใช้อะตอมของออกซิเจนร่วมกัน (J. Davidovits,1994) ความแข็งแรงของจีโอโพลิเมอร์เกิดจากการเชื่อมต่อระหว่างส่วนที่เป็นผลึก (Crystalline) กับส่วนอัมorphous (Amorphous) (P.G. Malone, 1986) ภายในโครงสร้างของจีโอโพลิเมอร์ ลักษณะโครงสร้างของจีโอโพลิเมอร์ถูกจำแนกตามสัดส่วนระหว่าง

ชิลิกอนต่ออะลูมิเนียม ได้แก่ ชิลิกอนต่ออะลูมิเนียมเท่ากับ 1, 2, 3 และมากกว่า 3 เรียกว่า โพลีไซอะเลต (Poly-sialate), โพลีไซอะเลตไชโลxo (Poly-sialate-siloxo), โพลีไซอะเลตไดไซโล xo (Poly-sialate-disiloxo) และไซอะเลตลิงค์ (Sialate link) ตามลำดับ (J. Davidovits, 1994)

วัสดุจีโอพอลิเมอร์สามารถสังเคราะห์ได้จากการผสมสารละลายที่ใช้ทำปฏิกิริยา (Reactive solution) และผงจีโอพอลิเมอร์ (Geopolymer powder) เข้าด้วยกัน โดยผงจีโอพอลิเมอร์เป็นวัสดุที่มีชิลิกอนไครอกไซด์และอะลูมิเนียมออกไซด์เป็นองค์ประกอบที่ผ่านมาวัตถุคิดที่นิยมนิยมนำมาใช้สังเคราะห์เป็นวัสดุจีโอพอลิเมอร์มี 3 ชนิด ได้แก่ ตะกรันเหล็ก (Arc furnace slag) ซึ่งเป็นวัตถุไม่มีพิษสามารถสังเคราะห์เป็นวัสดุจีโอพอลิเมอร์ที่สามารถใช้ในงานท่นไฟ (T.W. Cheng et.al.,2003) วัตถุคิดชนิดที่สองคือ แคลตไชน์เกาลิน (Calcined Kaolin) เป็นวัตถุคิดที่อยู่ในรูปอสัญญาณได้จาก การเผาเกาลินไนต์ (Kaolinite clay) เพื่อไล่น้ำในโครงสร้างของดินออกที่อุณหภูมิประมาณ 800 องศาเซลเซียส (K. Ganesan et.al.,2007) แคลตไชน์เกาลินมีผลในการช่วยลดเวลาในการแข็งตัวและช่วยเพิ่มความทนแรงอัด (Compressive strength) ให้กับจีโอพอลิเมอร์ (M.D. Safiuddin et.al.,2010), (S. Abhilash et.al.,2011) และวัสดุชนิดสุดท้ายคือ เถ้าโลย เป็นผลผลิตพลอยได้ (By-product) จากโรงไฟฟ้าถ่านหินมีชิลิกอนไครอกไซด์ อะลูมิเนียมออกไซด์ และเหล็กออกไซด์ ( $Fe_2O_3$ ) เป็นองค์ประกอบทางเคมีที่สำคัญ ตามมาตรฐาน ASTM C618 ได้จำแนกประเภทของถ้าโลยกออกเป็น 2 ชนิด ได้แก่ ถ้าโลยชั้นคุณภาพเอฟ (Class F) และชั้นคุณภาพซี (Class C) โดยชั้นคุณภาพเอฟเป็นถ้าโลยที่มีปริมาณของชิลิกอนไครอกไซด์ อะลูมิเนียมออกไซด์ และเหล็กออกไซด์รวมกันมากกว่าร้อยละ 70 โดยน้ำหนัก และชั้นคุณภาพซี มีปริมาณของ ชิลิกอนไครอกไซด์ อะลูมิเนียมออกไซด์ และเหล็กออกไซด์รวมกันอยู่ระหว่างร้อยละ 50-70 โดยน้ำหนัก ถ้าโลยเป็นวัสดุที่มีศักยภาพสูงในการนำไปพัฒนาเป็นวัสดุจีโอพอลิเมอร์

ปัจจุบันมีถ้าโลยเหลือทั้งจากโรงไฟฟ้าถ่านหินเป็นจำนวนมาก ดังนั้นเพื่อเป็นการแก้ปัญหาของเสียจากอุตสาหกรรมผลิตไฟฟ้าด้วยถ่านหินอย่างยั่งยืน งานวิจัยนี้จึงมีจุดประสงค์เพื่อมุ่งเน้นพัฒนาวัสดุจีโอพอลิเมอร์โดยใช้ถ้าโลยและแคลตไชน์เกาลินเป็นวัตถุคิดหลัก

## 1.2 วัตถุประสงค์การวิจัย

1.2.1 เพื่อสังเคราะห์วัสดุจีโอพอลิเมอร์ โดยใช้ถ้าโลยเป็นสารตั้งต้นและปรับปรุงสมบัติด้วยแคลตไชน์เกาลินร่วมกับปูนซีเมนต์ปอร์ตแลนด์

1.2.2 เพื่อหาความเข้มข้นของสารละลาย NaOH ที่เหมาะสมสำหรับใช้ในการทำปฏิกิริยา กับผงจีโอพอลิเมอร์

1.2.3 เพื่อหาอัตราส่วนของสารละลายน้ำ Na<sub>2</sub>SiO<sub>3</sub> : NaOH ที่เหมาะสมสำหรับใช้ในการทำปฏิกิริยากับผงจีโอลิเมอร์

1.2.4 เพื่อหาสภาวะที่เหมาะสมสำหรับการสังเคราะห์ผงจีโอลิเมอร์จากถ่านอยและแคลไชน์เกลิน

1.2.5 เพื่อหาปริมาณปูนซีเมนต์ปอร์ตแลนด์ที่เหมาะสมต่อการพัฒนาวัสดุจีโอลิเมอร์จากถ่านอย

### 1.3 ขอบเขตการวิจัย

1.3.1 ตรวจสอบสมบัติทางกายภาพ และองค์ประกอบทางเคมีของถ่านอย และแคลไชน์เกลินด้วยเอกซเรย์ฟลูออเรสเซนซ์ (X-Ray Fluorescence, XRF) เอกซเรย์ดิฟเฟρกัชัน (X-Ray Diffraction, XRD) และกล้องจุลทรรศน์อิเล็กตรอนแบบถ่ายกราด (Scanning Electron Microscope, SEM)

1.3.2 สังเคราะห์วัสดุจีโอลิเมอร์ โดยใช้ถ่านอย และแคลไชน์เกลิน เป็นสารตั้งต้น

1.3.3 ตรวจสอบลักษณะของสารละลายน้ำที่เหมาะสมสำหรับทำปฏิกิริยากับผงจีโอลิเมอร์ ได้แก่ ความเข้มข้นของสารละลายน้ำเดี่ยมไฮดรอกไซด์ และสัดส่วนในการผสมสารละลายน้ำเดี่ยมซิลิกेटต์สารละลายน้ำเดี่ยมไฮดรอกไซด์

1.3.4 ตรวจสอบส่วนผสมที่เหมาะสมสำหรับการสังเคราะห์วัสดุจีโอลิเมอร์จากถ่านอย และแคลไชน์เกลิน

1.3.5 ตรวจสอบผลของปูนซีเมนต์ปอร์ตแลนด์ ต่อความแข็งแรงของจีโอลิเมอร์ ได้แก่ การเติมปูนซีเมนต์ปอร์ตแลนด์ลงในจีโอลิเมอร์ที่สังเคราะห์จากถ่านอย และแคลไชน์เกลิน

### 1.4 ประโยชน์ที่คาดว่าจะได้รับ

1.4.1 ได้วัสดุทดแทนปูนซีเมนต์ที่มีราคาถูกและเป็นมิตรต่อสิ่งแวดล้อมซึ่งผลิตจากของเสียในอุตสาหกรรมผลิตกระเบ้าไฟฟ้าด้วยถ่านหิน

1.4.2 งานวิจัยนี้เป็นการสร้างฐานงานวิจัยใหม่ภายในประเทศ ผ่านกระบวนการศึกษาในระดับ บัณฑิตศึกษาของมหาวิทยาลัยเทคโนโลยีสุรนารี เพื่อเป็นองค์ความรู้ในด้านการใช้ทรัพยากรัตนธรรมชาติที่มีอย่างจำกัดให้คุ้มค่าและได้ประโยชน์มากที่สุด รวมถึงสามารถใช้งานวิจัยนี้เป็นต้นแบบในการนำไปประยุกต์ใช้ได้จริง

1.4.3 งานวิจัยนี้เป็นการส่งเสริมและให้ความรู้เกี่ยวกับวัสดุจีโอลิเมอร์ให้แก่ วิศวกรผู้รับเหมา ก่อสร้าง ตลอดจนบริษัทต่างๆ ผ่านรายงานการวิจัยหรือบทความของงานวิจัย

## บทที่ 2

### บริทัศน์วรรณกรรมและงานวิจัยที่เกี่ยวข้อง

#### 2.1 จีโอโพลิเมอร์

ปูนซีเมนต์ปอร์ตแลนด์ (Ordinary Portland Cement, OPC) เป็นวัสดุที่ถูกใช้งานกันอย่างแพร่หลายในอุตสาหกรรมการก่อสร้าง พลิตโดยการเผาเคลต์ไซน์ (Calcined) สารประกอบแคลเซียมออกไซด์ ( $\text{CaO}$ ) ซิลิกา ( $\text{SiO}_2$ ) และอะลูมินา ( $\text{Al}_2\text{O}_3$ ) ที่อุณหภูมิประมาณ 1450 องศาเซลเซียส (K. Svinning, 2006) ซึ่งกระบวนการดังกล่าวต้องใช้เชื้อเพลิงและพลังงานสูงมาก อีกทั้งยังก่อให้เกิดก๊าซคาร์บอนไดออกไซด์ ( $\text{CO}_2$ ) ในปริมาณมหาศาล ก๊าซดังกล่าวเป็นหนึ่งในสาเหตุหลักที่ก่อให้เกิดสภาพโลกร้อน จากผลกระทบดังกล่าวส่งผลให้นักวิจัยพยายามคุ้มพยาบาลพัฒนาวัสดุชนิดใหม่ที่เป็นมิตรต่อสิ่งแวดล้อมเพื่อใช้ทดแทนปูนซีเมนต์ปอร์ตแลนด์ วัสดุชนิดนี้ที่ได้รับความสนใจเป็นอย่างมากในปัจจุบันคือ “จีโอโพลิเมอร์ (Geopolymer)”

จีโอโพลิเมอร์ (Geopolymer) เป็นวัสดุซึ่อมผสานชนิดหนึ่งที่มีโครงสร้างสามมิติโดยจะอยู่ในรูปของอัมฟาร์ต (Amorphous) มีสารประกอบอะลูมิโนซิลิเกต (Aluminosilicate) เป็นองค์ประกอบหลัก (ซิลิกา และ อะลูมินา) โดยสารประกอบอะลูมิโนซิลิเกตจะถูกทำให้แตกตัวด้วยสารละลายอัลคาไลน์หรือสารละลายที่เป็นด่างสูง ได้แก่ สารละลายโซเดียมซิลิเกต ( $\text{Na}_2\text{SiO}_3$ ) หรือสารละลายโซเดียมไฮดรอกไซด์ ( $\text{NaOH}$ ) โดยให้ความร้อนเป็นตัวช่วยร่วงปฏิกิริยาทำให้เกิดการก่อตัวและแข็งตัวสามารถให้กำลังรับแรงอัดได้ หลังจากการเกิดปฏิกิริยาแล้วจะได้วัสดุซึ่อมประสานชนิดใหม่ที่มีคุณสมบัติคล้ายปูนซีเมนต์ปอร์ตแลนด์ สามารถใช้ทดแทนปูนซีเมนต์ปอร์ตแลนด์ได้ (J. L. Provis and J. S. J. van Deventer, 2009) เมื่อจากเป็นวัสดุที่มีศักยภาพและมีสมบัติเหมาะสมต่อการใช้งานจีโอโพลิเมอร์ถูกค้นพบโดย Dr. Glukhovsky ชาวสหภาพโซเวียต ในปี ก.ศ. 1950 จากนั้นในปี 1972 J.Davidovits นักวิทยาศาสตร์เคมีชาวฝรั่งเศส ได้ตั้งชื่อวัสดุชนิดนี้ว่า “จีโอโพลิเมอร์”

##### 2.1.1 สมบัติทั่วไปของจีโอโพลิเมอร์

วัสดุจีโอโพลิเมอร์สามารถสังเคราะห์ได้จากการทำปฏิกิริยาระหว่างสารละลายเข้มข้นของอัลคาไลน์ไฮดรอกไซด์ (Alkali hydroxide) และ/หรือ อัลคาไลน์ซิลิเกต (Alkaline silicate) กับสารประกอบอะลูมิโนซิลิเกต (Aluminosilicate) (P. Duxson et.al., 2007) จีโอโพลิเมอร์มีสมบัติคล้ายปูนซีเมนต์ปอร์ตแลนด์ แต่ใช้พลังงานในการผลิตน้อยกว่า และปลดปล่อยก๊าซคาร์บอนไดออกไซด์

น้อยมาก (J. L. Provis et.al.,2009) นอกจากนี้ วัสดุจิโอโพลิเมอร์ยังทนต่อความเป็นกรด (Acid resistance) ได้ดีกว่าปูนซีเมนต์ปอร์ตแลนด์ (J. Davidovits,1987) และมีสมบัติในการยับยั้งการเคลื่อนที่ของอิออนโลหะหนัก (J.S.G. van Jaarsveld et.al.,1995) ทำให้จิโอโพลิเมอร์ถูกนำไปใช้งานในการเก็บกักโลหะเป็นพิษ (J.Davidovits,1994) จิโอโพลิเมอร์ยังมีสมบัติที่โดดเด่น หลายประการหมายเหตุต่อการนำไปใช้งานทางวิศวกรรมได้หลากหลายเช่น มีความทนทานต่อสภาวะซัลเฟต (Sulfate resistance) มีความทนทานต่อสภาวะเยือกแข็ง (Freeze-thaw resistance) ทนทานต่อการกัดกร่อน (Corrosion resistance) มีความทนไฟ (Fire resistance) นอกจากนี้ P.G. Malone (1986) ได้รายงานว่าวัสดุจิโอโพลิเมอร์ที่พัฒนาได้มีความแข็งแรงที่สูงกว่าปูนซีเมนต์ปอร์ตแลนด์ และยังมีการทดสอบวิทยาหลังจากการแข็งตัวน้อยกว่า (P.G. Malone,1986)

จิโอโพลิเมอร์เป็นวัสดุที่เป็นมิตรกับสิ่งแวดล้อม สามารถสังเคราะห์ได้จากวัตถุดินที่เป็นของเสียเหลือทิ้งจากโรงงานอุตสาหกรรมและวัตถุดินตามธรรมชาติที่หาได้ง่ายซึ่งที่ผ่านมา วัตถุดินที่นิยมนำมาใช้สังเคราะห์เป็นวัสดุจิโอโพลิเมอร์มี 3 ชนิด ได้แก่ ตะกรันเหล็ก (Arc furnace slag) เป็นวัตถุไม่มีพิษสามารถสังเคราะห์เป็นวัสดุจิโอโพลิเมอร์ที่สามารถใช้ในงานทนไฟ (T.W. Cheng et.al.,2003) วัตถุดินชนิดที่สองคือแคลไซน์เกาลิน (Calcined Kaolin) เป็นวัตถุดินที่อยู่ในรูปอสัญฐาน ได้จากการเผาเกาลินในต์ (Kaolinite clay) เพื่อไล่น้ำในโครงสร้างของดินออกที่อุณหภูมิประมาณ 800 องศาเซลเซียส (K. Ganesan et.al., 2007) แคลไซน์เกาลินมีผลในการช่วยลดเวลาในการแข็งตัวและช่วยเพิ่มกำลังรับแรงอัด (Compressive strength) ให้กับจิโอโพลิเมอร์(M.D. Safiuddin et.al., 2010), (S. Abhilash et.al., 2011) และ วัสดุชนิดสุดท้ายคือ เถ้าโลหะ เป็นผลิตภัณฑ์ได้ (By-product) จากโรงไฟฟ้าถ่านหินมีซิลิ喀 อะลูมินา และเฟอร์ริกออกไซด์ ( $Fe_2O_3$ ) เป็นองค์ประกอบทางเคมีที่สำคัญ

### 2.1.2 การทำปฏิกิริยาของจิโอโพลิเมอร์

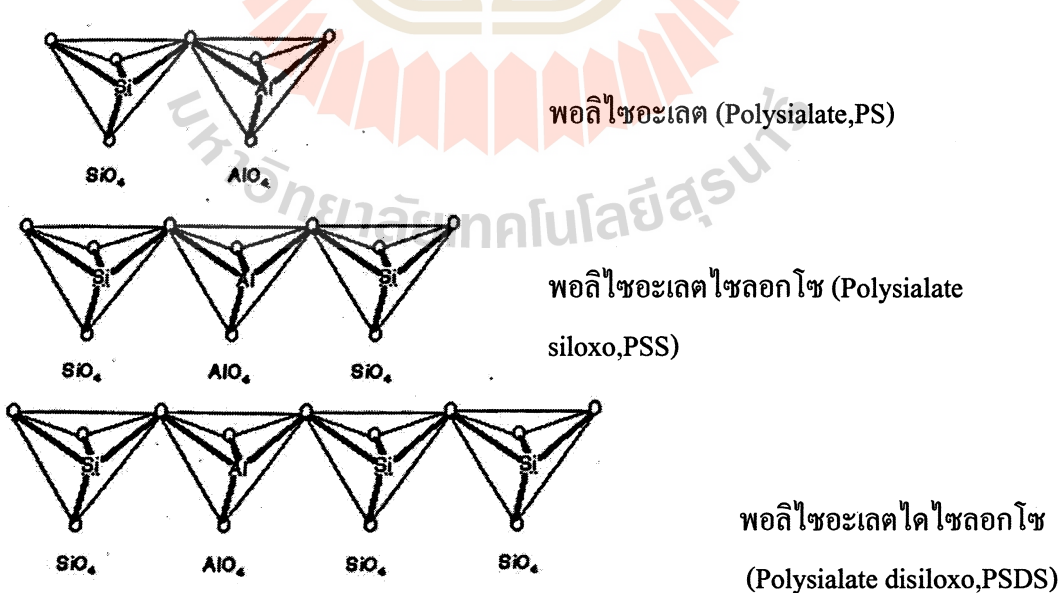
จิโอโพลิเมอร์เกิดจากการทำปฏิกิริยาสารละลายอัลคาไลที่มีความเข้มข้นสูงกับออกไซด์ของซิลิคอนและอะลูมิเนียม สามารถเกิดปฏิกิริยาได้ทั้งอุณหภูมิห้องและอุณหภูมิสูง สามารถให้กำลังรับแรงอัดได้ กระบวนการเกิดปฏิกิริยาของจิโอโพลิเมอร์สามารถแบ่งออกได้ดังนี้

#### 2.1.2.1 กระบวนการละลาย (Dissolution)

เมื่อวัตถุดินตั้งต้นที่เป็นสารประกอบอลูมิโนซิลิเกตถูกผสมเข้ากับสารละลายด่างความเข้มข้นสูง สารประกอบดังกล่าวจะถูกละลาย แตกตัวเป็นอลูมิเนียม (Al) และซิลิคอน (Si) ที่เป็นสารหลักของมาจากวัตถุดินตั้งต้นเมื่อเกิดการละลายวัตถุดินมากขึ้น พื้นผิวของวัตถุดินจะเกิดเป็นหลุมช่องว่างจำนวนมากทำให้สารละลายสามารถเข้าไปทำการละลายให้แตกตัวออกมายield อย่างง่ายขึ้น (A. Frenandez et.al., 2004)

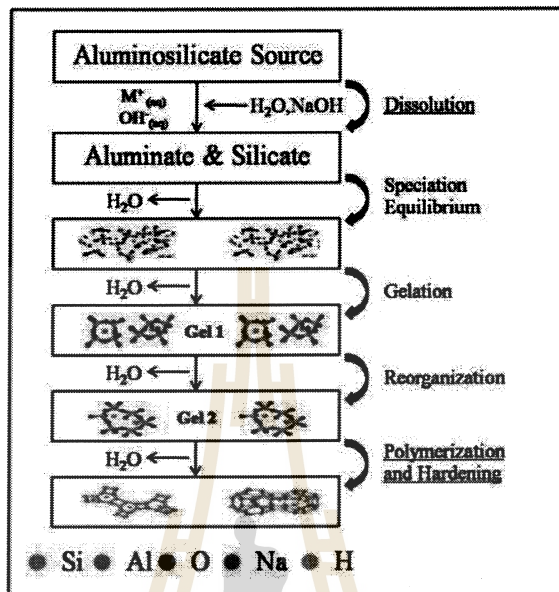
### 2.1.2.2 ปฏิกิริยาโพลิเมอไรเซชัน (Polymerization) และการแข็งตัว (Hardness)

จากปฏิกิริยาเบื้องต้นจะได้ผลิตเป็นหน่วยพีระมิดสามเหลี่ยมค้านเท่าสี่ค้านของ  $\text{Si}^{4+}$  และ  $\text{Al}^{3+}$  ที่เกิดการโคออร์ดิเนตกันแบบ 4 แขนกับออกซิเจน ( $\text{O}$ ) หน่วยเหล่านี้จะกระจัดกระจายอยู่ในรูปแบบ พอลิเมอร์ที่มีการเชื่อมต่อของกันจะได้หน่วยกึ่งเสถียร (meta-stable) ในช่วงเริ่มแรกจะมี Al ปริมาณมากและเมื่อเกิดปฏิกิริยาเพิ่มขึ้นหน่วยดังกล่าวจะเปลี่ยนไปเป็นหน่วยที่มี Si ปริมาณมาก โครงสร้างหลักๆ จึงประกอบไปด้วย พีระมิดสามเหลี่ยมค้านเท่าสี่ค้านสอง สาม และสี่หน่วยได้แก่ พอลิไซอะเลต (Polysialate), พอลิไซอะเลตไซโลกโซ (Polysialate siloxo), พอลิไซอะเลต ไดไซโลกโซ (Polysialate disiloxo) ดังแสดงในภาพที่ 2.1 กล. ในการเกิดปฏิกิริยาจิโอพอลิเมอไรเซชันแสดงในภาพที่ 2.2 (P. Duxson, et al., 2007) ผังจิโอพอลิเมอร์ถูกผสมเข้ากับสารละลายอัลคาไลอยาลคลาไล ไอออนและไฮดรอกซิล ไอออนจะเป็นตัวเข้าไปสลายพันธะของสารประกอบอะลูมิโนซิลิเกต อะลูมิเนตและซิลิเกตที่ถูกสลายพันธะจะเกิดการแตกตัวและเกิดสมดุลขึ้นใหม่ และจัดเรียงตัวก่อตัวเป็นเจลของโครงข่ายอะลูมิโนซิลิเกตจากนั้นจะขึ้นรูปเป็นโครงสร้างแบบสายโซ่ และแข็งตัว โดยมีขั้นตอนการเกิดปฏิกิริยาดังนี้ (1) อัลคลาไลจะเข้าสลายพันธะ โครงสร้างของสารประกอบอะลูมิโนซิลิเกตเกิดการแตกตัวในขั้นตอนนี้ (2) เริ่มเกิดการสร้างสมดุลและจัดเรียง โครงสร้างขึ้นใหม่ (3) เกิดการควบแน่นและจัดเรียงโครงสร้างตัวเป็นเจลของโครงข่ายอะลูมิโนซิลิเกต (4) เกิดการจัดเรียงตัวเป็นโครงสร้างขนาดใหญ่ (5) เกิดการควบแน่นแบบโพลีโคนเดนเซชันและแข็งตัว



ภาพที่ 2.1 โครงสร้างการเชื่อมพันธะของโพลิไซอะเลตที่มี  $\text{Si:Al}=1$  (PS),  $\text{Si:Al}=2$  (PSS) และ  $\text{Si:Al}=3$  (PSDS) ตามลำดับ (Davidovits, 1988b)

จากการทำปฏิกิริยาลูกโซ่ไม่เลกุลจะมีการเชื่อมขวางและต่อ กันมากขึ้น ในลักษณะของเส้น ไนโพรลิเมอร์(Polymer Chain) ส่งผลให้โครงสร้างเกิดความสามารถรับกำลังแรงอัด ได้

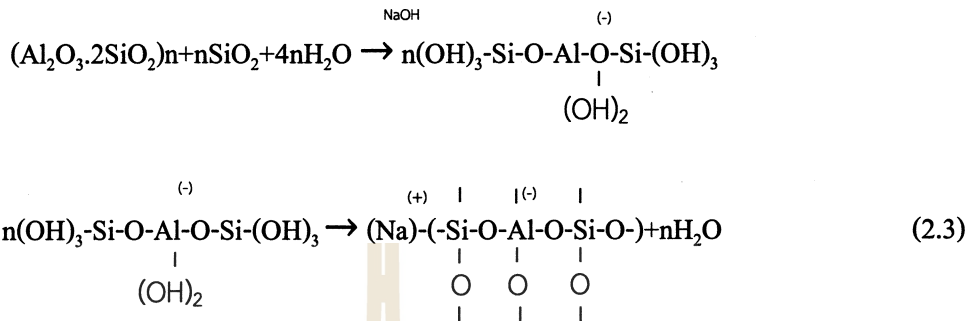
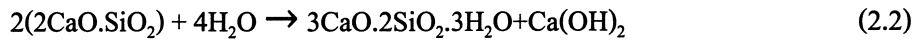
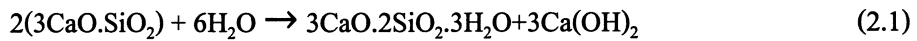


ภาพที่ 2.2 แบบจำลองกลไกการเกิดปฏิกิริยาจีโอพอลิเมอไรซ์ชั้น

(Jimenrz, el . al., 2004 และ Hench,1998)

### 2.1.3 ความแตกต่างระหว่างจีโอพอลิเมอร์และปูนซีเมนต์ปอร์ตแลนด์

ลักษณะโครงสร้างของจีโอพอลิเมอร์มีความแตกต่างจากลักษณะโครงสร้างของ ปูนซีเมนต์ปอร์ตแลนด์ ตรงที่องค์ประกอบหลักของวัสดุและการเกิดปฏิกิริยาที่ไม่เหมือนกัน การเกิดปฏิกิริยาของจีโอพอลิเมอร์นั้นจะไม่เกิดผลิตภัณฑ์ที่เป็นแคลเซียมซิลิกेट (Calcium silicate hydrate) เหมือนกับการเกิดปฏิกิริยาไฮเดรชันของปูนซีเมนต์ปอร์ตแลนด์ (Portland cement hydration) ดังสมการที่ 2.1 และ 2.2 เนื่องจากวัตถุคิดตั้งด้านแตกต่างกัน จีโอพอลิเมอร์มีโครงสร้าง หลักเป็นแบบสามมิติที่มีซิลิกอน (Si) อะลูมิเนียม (Al) และ ออกซิเจน (O) เป็นองค์ประกอบโดย การเกิดปฏิกิริยาของจีโอพอลิเมอร์ (Geopolymerization) จะเกิดจากการสลายตัวของสารประกอบ อะลูมิโนซิลิกะภายในตัวเรียงตัวกันใหม่ในลักษณะเป็นสายโซ่พอลิเมอร์ (Polymer Chain) ดังสมการที่ 2.3 โดยปกติแล้วการจะเกิดสายโซ่พอลิเมอร์ได้อย่างรวดเร็วนั้นจำเป็นต้องใช้ความร้อน เป็นตัวช่วยในการเร่งปฏิกิริยา



## 2.2 ปูนซีเมนต์

เป็นวัสดุเชื่อมประสานที่นิยมใช้กันอย่างแพร่หลายตั้งแต่อดีตจนถึงปัจจุบัน วัตถุดินสำคัญที่นำมาผลิตเป็นปูนซีเมนต์ปอร์ตแลนด์นั้น ได้แก่ วัตถุดินที่มีส่วนประกอบของปูนขาว (Lime) มีองค์ประกอบทางเคมีเป็นแคลเซียมคาร์บอนेट (Calcium Carbonate,  $\text{CaCO}_3$ ) วัตถุดินเหล่านี้สามารถพบได้ตามแหล่งธรรมชาติ เช่น หินปูน (Limestone) หินชอล์ค (Chalk) ดินขาว (Kaolinite) รวมถึงวัตถุดินที่มีส่วนประกอบทางเคมีของ ซิลิกา อะลูมิเนียม และเฟอร์ริโกอกไซด์ แหล่งวัตถุดินสามารถพบตามธรรมชาติ ได้แก่ ดินคำ (Clay) ดินคน (Shale) หินชานวน (Slate) และวัตถุดินใช้ปรับแต่งสมบัติ (Corrective Materials) เป็นต้น

กระบวนการผลิตปูนซีเมนต์ปอร์ตแลนด์ แบ่งออกเป็นสองระบบ ได้แก่ กระบวนการผลิตระบบเปียก (Wet process) และกระบวนการผลิตระบบแห้ง (Dry process) โดยนำวัตถุดินตามธรรมชาติมาทำการบดให้ละเอียดผสมตามสัดส่วนให้เข้ากันด้วย Wet process หรือ Dry process แล้วเผาด้วยเตาเผาแบบหมุน (Rotary Kiln) ความร้อนจากเตาเผาจะทำให้น้ำระเหยออกสู่อากาศ ภายนอกเหลือแต่เม็ดดินขนาดถึงอุณหภูมิ 1200 องศาเซลเซียส จะเริ่มเกิดปฏิกิริยาได้สารประกอบแคลเซียมอะลูมิเนียมและเฟอร์ไรต์ (Calcium aluminate and ferrite) และเกิดปฏิกิริยาสมบูรณ์ที่อุณหภูมิ 1350 องศาเซลเซียส จนถึงอุณหภูมิ 1400-1600 องศาเซลเซียส เกิดการหลอมตัวรวมกันเป็นเม็ดซีเมนต์ จากนั้นจะถูกลดอุณหภูมิอย่างรวดเร็วซึ่งส่งผลต่ออัตราการเกิดผลึก (Crystallization) ในเม็ดปูน เมื่อได้เม็ดปูนแล้วจะถูกนำมานบดและเติมแร่ยิปซัมเพื่อช่วยในการหน่วงเวลาการก่อตัวของซีเมนต์

### 2.2.1 องค์ประกอบทางเคมีของปูนซีเมนต์ปอร์ตแลนด์

องค์ประกอบทางเคมีของปูนซีเมนต์ปอร์ตแลนด์ (แสดงในตารางที่ 2.1) ซึ่งองค์ประกอบหลัก ได้แก่ แคลเซียมออกไซด์ ( $\text{CaO}$ ), ซิลิกา ( $\text{SiO}_2$ ), อะลูมิเนียม ( $\text{Al}_2\text{O}_3$ ) และเหล็ก

ออกไซด์ ( $Fe_2O_3$ ) ออกไซด์ทั้ง 4 นี้รวมกันแล้วได้มากกว่าร้อยละ 90 ของปูนซีเมนต์ปอร์ตแลนด์ ส่วนที่เหลือเป็นออกไซด์รองและอื่นๆ ผสมอยู่ด้วย ได้แก่ แมกนีเซียมออกไซด์ ( $MgO$ ), โซเดียมออกไซด์ ( $Na_2O$ ), โพแทสเซียมออกไซด์ ( $K_2O$ ), ซัลเฟอร์ไตรออกไซด์ ( $SO_3$ ), ไทเทเนียมออกไซด์ ( $TiO_2$ ) และ ฟอสฟอรัสเพนทอกไซด์ ( $P_2O_5$ ) เมื่อทำการเผาออกไซด์เหล่านี้แล้ว จะได้สารประกอบ 4 ชนิด ได้แก่ ไตรแคลเซียมซิลิกेट องค์ประกอบทางเคมีคือ  $3CaO \cdot SiO_2$  และ ย่อว่า  $C_3S$ , ไಡแคลเซียมซิลิกेट องค์ประกอบทางเคมีคือ  $2CaO \cdot SiO_2$  และย่อว่า  $C_2S$ , ไตรแคลเซียมอลูมิโนเฟอร์ไรด์ องค์ประกอบทางเคมี คือ  $3CaO \cdot Al_2O_3$  และย่อว่า  $C_3A$ , เตตราแคลเซียมอลูมิโนเฟอร์ไรด์ องค์ประกอบทางเคมี  $4CaO \cdot Al_2O_3 \cdot Fe_2O_3$  และ ย่อว่า  $C_4AF$

#### ตารางที่ 2.1 องค์ประกอบหลักและรองทางเคมีของปูนซีเมนต์ปอร์ตแลนด์

(ปริญญา จินดาประเสริฐ, 2549)

องค์ประกอบทางเคมี	องค์ประกอบทางเคมีของปูนซีเมนต์ปอร์ตแลนด์		
	สัญลักษณ์	ร้อยละ โดยน้ำหนัก	ค่าเฉลี่ย
$CaO$	C	60-67	64.4
$SiO_2$	S	17-25	20.0
$Al_2O_3$	A	3-8	5.8
$Fe_2O_3$	F	0.5-6.0	3.2
$MgO$	M	0.1-4.0	0.5
$Na_2O$	N	0.1-1.8	0.5
$K_2O$	K	0.1-1.8	0.5
$SO_3$	S	0.5-3.0	2.6
สารประกอบอื่นๆ	-	1.0-3.0	1.0
การสูญเสียน้ำหนักเนื่องจากการเผา (loss on ignition)	LOI	0.1-3.0	1.0
ากที่ไม่ละลายในกรดและด่าง (insoluble residue)	-	0.2-0.8	0.5

### 2.2.2 สมบัติของสารประกอบหลัก

ตัวกำหนดสมบัติของปูนซีเมนต์ปอร์ตแลนด์ ที่มีมากถึงร้อยละ 90 ได้แก่  $C_3S$ ,  $C_2S$ ,  $C_3A$  และ  $C_4AF$  ซึ่งสมบัติสามารถสรุปได้ดังนี้คือ  $C_3S$  ที่มีอยู่ในปูนซีเมนต์ปอร์ตแลนด์ ปริมาณมากสุดประมาณร้อยละ 45-55 จะให้สีเทาแก่สามารถถลายตัวได้ที่อุณหภูมิ  $1250^{\circ}\text{C}$  ซึ่งการถลายตัวจะเป็นไปอย่างค่อนข้างช้าและเมื่อถลอดอุณหภูมิลงอย่างรวดเร็วจนถึงประมาณ 700 องศาเซลเซียส จะเกิดความเสียหาย ไม่เปลี่ยนแปลงสภาพเมื่อผสมกับน้ำจะเกิดการก่อตัวให้กำลังรับแรงอัดค่อนข้างดีโดยเฉพาะในช่วง 7 วันแรก ในขณะเดียวกันการก่อตัวนั้นเป็นปฏิกิริยาระหว่าง  $C_3S$  กับน้ำเรียกว่า ไฮเดรชัน (Hydration) จากปฏิกิริยาดังกล่าวจะทำให้เกิดการขยายความร้อนขึ้นประมาณ 500 จูล/กรัม เรียกว่า ความร้อนจากปฏิกิริยาไฮเดรชัน (Heat of hydration)

ปูนซีเมนต์ปอร์ตแลนด์ มี  $C_2S$  อยู่โดยประมาณร้อยละ 15-35 โดยทั่วไป  $C_2S$  จะมีความบริสุทธิ์ 4 รูปแบบได้แก่  $\alpha\text{-}C_2S$  เกิดขึ้นที่อุณหภูมิ  $1,450^{\circ}\text{C}$  เมื่ออุณหภูมิลดลงจะเปลี่ยนสภาพเป็น  $\alpha'\text{-}C_2S$  และเมื่ออุณหภูมิลดลงจนถึงอุณหภูมิปกติจะเปลี่ยนสภาพเป็น  $\beta\text{-}C_2S$  ปกติแล้ว  $C_2S$  ที่ประปอนอยู่ในปูนซีเมนต์ปอร์ตแลนด์ จะไม่มีความบริสุทธิ์เนื่องจากมีสารอื่นๆผสมอยู่ด้วยส่วนใหญ่ไม่เกิดการเปลี่ยนสภาพจาก  $\beta\text{-}C_2S$  เป็น  $C_2S$  ด้วยเหตุนี้จึงส่งผลให้  $\beta\text{-}C_2S$  มีความเสียหายที่อุณหภูมิปกติ กำลังแรงรับอัดที่ให้จะเป็นไปค่อนข้างช้ามาก คือหลังจากทำปฏิกิริยากับน้ำจะเริ่มให้กำลังแรงรับอัดหลังจาก 4 สัปดาห์ขึ้นไปและความร้อนจากปฏิกิริยาเมื่อผสมกับน้ำจะไม่สูงเทียบเท่า  $C_3S$

ลักษณะร่างของ  $C_3A$  มีรูปร่างเป็นเหลี่ยมน้ำสีเทาอ่อนกว่า  $C_3S$  ในปูนซีเมนต์ปอร์ตแลนด์มีอยู่โดยประมาณร้อยละ 7-15 เมื่อผสมกับน้ำแล้วจะทำปฏิกิริยาอย่างรวดเร็ว เกิดการก่อตัวขึ้นทันทีสามารถให้กำลังรับแรงอัดได้ภายในหนึ่งวัน ความร้อนจากปฏิกิริยาเมื่อผสมกับน้ำจะสูงมากในขณะที่  $C_4AF$  ในปูนซีเมนต์ปอร์ตแลนด์ จะมีอยู่โดยประมาณร้อยละ 5-10 เมื่อผสมกับน้ำแล้วจะทำปฏิกิริยาอย่างรวดเร็วเหมือนกับ  $C_3A$  แต่ความร้อนจากปฏิกิริยาจะน้ำจะมีค่าปานกลางไม่สูงเทียบเท่า  $C_3A$  สามารถให้กำลังรับแรงอัดได้ภายในหนึ่งวันเช่นกัน

ปูนซีเมนต์ปอร์ตแลนด์ สามารถแบ่งออกเป็น 5 ประเภทใหญ่ๆ ให้เหมาะสมต่อการใช้งานประเภทต่างๆ กำหนดให้มีมาตรฐาน ASTM C-150 และมาตรฐานอุตสาหกรรมปูนซีเมนต์ปอร์ตแลนด์ มาก .15 เล่ม 1 ดังต่อไปนี้

#### 2.2.2.1 ปูนซีเมนต์ปอร์ตแลนด์ ประเภทที่หนึ่ง

เป็นปูนซีเมนต์ปอร์ตแลนด์ ธรรมด้า (Ordinary Portland Cement) คุณภาพของปูนซีเมนต์ปอร์ตแลนด์ มีสมบัติตามมาตรฐาน ASTM C-150 TYPE 1 และมาตรฐานอุตสาหกรรมปูนซีเมนต์ปอร์ตแลนด์ มาก .15 เล่ม 1-2555 ประเภทนี้ ให้ความร้อนและกำลังแรงอัดปานกลางใช้ในงานคอนกรีตทั่วไป เช่นงานคอนกรีตเสริมแรงด้วยเหล็ก งานก่อสร้างสะพานถนนหรือผลิตภัณฑ์ อุตสาหกรรมที่รับแรงอัดประเภทต่างๆ

### 2.2.2.2 ปูนซีเมนต์ปอร์ตแลนด์ ประเภทที่สอง

เป็นปูนซีเมนต์ปอร์ตแลนด์ ดัดแปลง (Modified Portland Cement) ให้ความร้อนต่ำกว่าแต่ให้กำลังแรงอัดไกลส์เคียงกับปูนซีเมนต์ปอร์ตแลนด์ ประเภทหนึ่งใช้สำหรับงานโครงสร้างที่ต้องการความทนทานต่อการแทรกซึมของซัลเฟตจากสภาพแวดล้อมระดับปานกลาง เช่น น้ำเสียจากบ้านเรือนและโรงงานอุตสาหกรรม น้ำในดินและน้ำใต้ดิน งานหล่อท่อคอนกรีตขนาดใหญ่ ตอม่อสะพาน เป็นต้น

### 2.2.2.3 ปูนซีเมนต์ปอร์ตแลนด์ ประเภทที่สาม

เป็นปูนซีเมนต์ปอร์ตแลนด์ก่อตัวเร็ว (High Early Strength Portland Cement) คุณภาพของปูนซีเมนต์ปอร์ตแลนด์ มีสมบัติตามมาตรฐาน ASTM C-150 TYPE 3 และในมาตรฐานอุตสาหกรรมปูนซีเมนต์ปอร์ตแลนด์ มอง. 15 เล่ม 1-2555 ให้กำลังอัดเร็วในระบบแรกลักษณะเป็นผงละเอียดขนาดเล็กและมีปริมาณ  $C_3S$  มากกว่าปูนซีเมนต์ปอร์ตแลนด์ธรรมชาติทำให้เกิดความว่องไวต่อการเกิดปฏิกิริยาและให้ความร้อนสูง เมน้ำกับการนำไปใช้กับงานคอนกรีตที่ต้องการรับน้ำหนักและถอดแบบเร่งด่วน เช่นเสาเข็มคอนกรีต แผ่นพื้น คาน และเสาไฟฟ้า เป็นต้น

### 2.2.2.4 ปูนซีเมนต์ปอร์ตแลนด์ ประเภทประเภทที่สี่

เป็นปูนซีเมนต์ปอร์ตแลนด์ประเภทเกิดความร้อนต่ำ (Low Heat Portland Cement) คุณภาพของปูนซีเมนต์ปอร์ตแลนด์ มีสมบัติตามมาตรฐาน ASTM C595 เมน้ำสำหรับงานคอนกรีตที่มีปริมาณเทครังลงมากๆ ขณะก่อตัวให้ความร้อนต่ำ เนื่องจากมี  $C_3S$  น้อยกว่าปูนซีเมนต์ปอร์ตแลนด์ ธรรมชาติ ใช้ในการก่อสร้างเขื่อนชั้งการขึ้น โครงสร้างจำเป็นต้องใช้คอนกรีตจำนวนมากในการก่อสร้างแต่ละครั้งและเกิดความร้อนสะสมภายในสูงทำให้คอนกรีตภายในเกิดการขยายตัวและเกิดการแตกร้าวตามมา การใช้ปูนซีเมนต์ปอร์ตแลนด์ประเภทสี่จะช่วยควบคุมความร้อนขณะเกิดการก่อตัวให้เป็นไปอย่างช้าๆ กำลังรับแรงอัดของคอนกรีตประเภทนี้จะค่อยๆเพิ่มขึ้น ปูนซีเมนต์ปอร์ตแลนด์ประเภทนี้ยังไม่มีการผลิตและจำหน่ายภายในประเทศ

### 2.2.2.5 ปูนซีเมนต์ปอร์ตแลนด์ ประเภทที่ห้า

เป็นปูนซีเมนต์ปอร์ตแลนด์ทนซัลเฟต ได้สูง (Sulfate-Resistant Portland Cement) คุณภาพของปูนซีเมนต์ปอร์ตแลนด์ มีสมบัติตามมาตรฐาน ASTM C-150 TYPE 5 และ มาตรฐานอุตสาหกรรมปูนซีเมนต์ปอร์ตแลนด์ มอง. 15 เล่ม 1-2555 ประเภทห้า มีระยะเวลาการก่อตัวและแข็งตัวช้ากว่าปูนซีเมนต์ปอร์ตแลนด์ประเภทหนึ่ง มี  $C_3A$  น้อยมาก ใช้สำหรับงานโครงสร้างที่อยู่บริเวณน้ำเค็ม หรือโครงสร้างที่อยู่ในบริเวณที่มีคินเค็ม เช่น งานโครงสร้างท่าเทียบเรือ สะพานปลา อาคาร และสิ่งปลูกสร้างต่างๆ ริมทะเล เป็นต้น

## 2.3 เถ้าโลย

เถ้าโลย หรือ เถ้าถ่านหิน (Fly ash หรือ Pulverized fuel ash) เริ่มถูกนำมาใช้ในราปี ค.ศ. 1930 เป็นเถ้าถ่านหินขนาดเล็กมีขนาดตั้งแต่ 1 ไมโครเมตร ไปจนถึงประมาณ 200 ไมโครเมตร สาเหตุที่เรียกว่าเถ้าโลยเนื่องจากเป็นชี้้นเถ้าที่หลงเหลือจากการเผาไหม้ของถ่านหินหรือ ก๊อกไนต์ โดยจะปลิวปะปนไปกับก๊าซร้อนและออกสู่ชั้นบรรยากาศก่อนออกจากทางด้านปลายของโรงงานผลิตไฟฟ้าด้วยถ่านหินจึงเรียกว่าเถ้าโลย ซึ่งหากมีปริมาณเถ้าปลิวปะปนในชั้นบรรยากาศเป็นจำนวนมากอาจส่งผลก่อให้เกิดปัญหามลภาวะทางอากาศได้ ดังนั้นโรงงานผลิตไฟฟ้าด้วยถ่านหินจึงมีการติดตั้งเครื่องคัดจับฝุ่นแบบไฟฟ้าสถิต โดยมีวัตถุประสงค์เพื่อคัดแยกก๊าซร้อนและเถ้าโลยให้ออกจากกันก่อนปล่อยก๊าซร้อนออกสู่บรรยากาศ เถ้าโลยโดยทั่วไปจะมีสีเทา เทาดำหรือน้ำตาล เถ้าโลยมีซิลิกาและอัลูมินาเป็นองค์ประกอบหลัก เมื่อเถ้าโลยกู้ยู่ในสภาพที่แห้งหรือเป็นผงฝุ่น จะไม่มีสมบัติในการเชื่อมเกาะหรือยึดเกาะกันระหว่างอนุภาค และเมื่อเถ้าโลยสัมผัสเข้ากับน้ำภายในอุณหภูมิปกติจะสามารถทำปฏิกิริยา กับแคลเซียมไฮดรอกไซด์ ( $\text{Ca(OH)}_2$ ) เกิดเป็นสารใหม่มีสมบัติในการเชื่อมประสาน (Cementitious) ความสามารถในการเชื่อมประสานและลักษณะต่างๆ ของเถ้าโลยนั้นจะขึ้นอยู่กับประเภทของถ่านหินและปัจจัยอื่นๆ เช่น อุณหภูมิที่ใช้ในการเผา ช่วงระยะเวลาในการเผา ดังนั้นคุณภาพและลักษณะรูปร่างต่างๆ รวมถึงความสม่ำเสมอของเถ้าโลยจะขึ้นอยู่กับแหล่งที่มาถ่านหินด้วยเช่นกัน

### 2.3.1 สมบัติพื้นฐานของเถ้าโลย

ตามมาตรฐาน ASTM C618 ได้จำแนกประเภทของเถ้าโลยออกเป็น 2 ชนิด ได้แก่

2.3.1.1 ประเภทชั้นคุณภาพเอฟ (Class F) คือเถ้าโลยที่ได้จากการเผาถ่านหิน ชนิดแอนทราไซด์และชนิดบิทูมนิส โดยมีปริมาณของ  $\text{SiO}_2$ ,  $\text{Al}_2\text{O}_3$  และ  $\text{Fe}_2\text{O}_3$  รวมกันมากกว่าร้อยละ 70 โดยทั่วไปแล้วเถ้าโลยในชั้นคุณภาพเอฟ จะมีปริมาณ  $\text{CaO}$  ในปริมาณที่ค่อนข้างต่ำ ดังนั้นจึงเรียกกันทั่วไปว่าเถ้าโลยแคลเซียมต่ำ ในขณะที่ซิลิกาปริมาณสูงนั้นได้มาจากดินเหนียวและควารตซ์ที่มีอยู่ในถ่านหินชนิดแอนทราไซด์ และชนิดบิทูมนิสจึงส่งผลให้เถ้าโลยชั้นคุณภาพเอฟ มีซิลิกาสูง (R. Siddique, 2003)

2.3.1.2 ประเภทชั้นคุณภาพซี คือเถ้าโลยที่ได้จากการเผาถ่านหิน ชนิดก๊อกไนต์ และชั้นบิทูมนิส เป็นส่วนใหญ่โดยมีปริมาณของแคลเซียมออกไซด์ ( $\text{CaO}$ ), ซิลิกา ( $\text{SiO}_2$ ), อัลูมินา ( $\text{Al}_2\text{O}_3$ ) และเหล็กออกไซด์ ( $\text{Fe}_2\text{O}_3$ ) โดยออกไชด์รวมกันมากกว่าร้อยละ 50 มีสมบัติอื่นตาม มาตรฐาน ASTM C618 เถ้าโลยประเภทนี้มีแคลเซียมออกไซด์ ( $\text{CaO}$ ) ในปริมาณสูงจึงเรียกเถ้าโลย ชนิดนี้ว่าเถ้าโลยคุณภาพสูง

ตารางที่ 2.2 ข้อกำหนดค้านเคมีของถ้วยอยตามมาตรฐาน ASTM C618

องค์ประกอบทางเคมี	ชั้นคุณภาพถ้วย	
	ชั้นคุณภาพเอฟ	ชั้นคุณภาพซี
พัฒนาของปริมาณซิลิกา อะลูมินา และเฟอร์ริก ออกไซด์ ( $\text{SiO}_3 + \text{Al}_2\text{O}_3 + \text{Fe}_2\text{O}_3$ ) Min%	70.0	50.0
ชั้นเฟอร์ไรต์ออกไซด์ ( $\text{SO}_3$ ) Max%	5.0	5.0
ปริมาณความชื้นไม่เกิน Max%	3.0	3.0
น้ำหนักที่สูญหายเนื่องจากการเผา (Loss on ignition; LOI) Max%	6.0	6.0
อัลคาไลน์ในรูปของโซเดียมไอกออกไซด์ ( $\text{Na}_2\text{O}$ ) Max%	1.5	1.5

### 2.3.2 สมบัติทางกายภาพของถ้วย

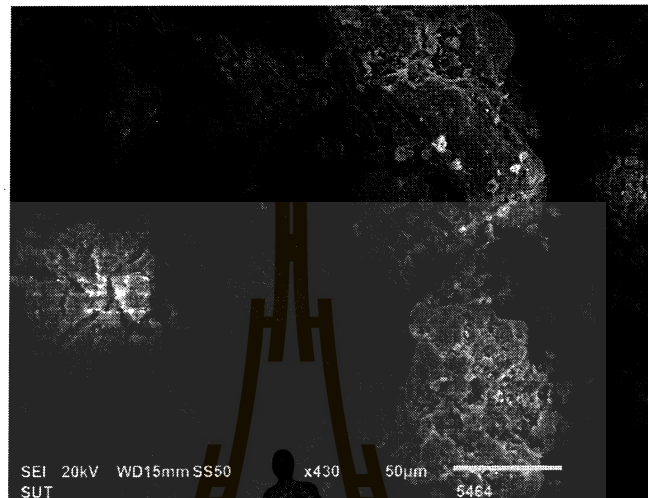
สมบัติทางกายภาพ โดยทั่วไปของถ้วยอาจมีการเปลี่ยนแปลงเนื่องจากปัจจัยต่างๆ เช่น กระบวนการเผาใหม่ หากมีการเผาล่ามหินร่วมกับน้ำมันเตาจะมีการเติมวัสดุบางอย่างเพื่อช่วยเพิ่มประสิทธิภาพในการเผาใหม่ และลดการกัดกร่อน ดังนั้นการทดสอบสมบัติต่างๆ ของถ้วยก่อนนำไปใช้งานจึงมีความจำเป็น โดยมาตรฐานที่ใช้ควบคุมสมบัติทางกายภาพของถ้วยได้แก่ มาตรฐาน ASTM C618

### 2.3.3 ลักษณะรูปร่างถ้วย

โดยทั่วไปแล้วถ้วยลักษณะส่วนใหญ่จะมีลักษณะรูปร่างค่อนข้างกลมหรือเกือบกลมในบางครั้งอาจพบเห็นถ้วยลักษณะมีรูพรุนหรือพับเป็นลักษณะรูปร่างที่ไม่แน่นอนผิวขรุขระเนื่องจากการเผาในระบบฟลูอิด ไดซ์เบดทำให้อุณหภูมิที่ใช้ในการเผาไม่สูงมากพอที่จะทำให้เกิดการหลอมตัวของซิลิกาส่งผลให้มีเพียงบางส่วนเท่านั้นที่เกิดการหลอมละลาย ดังนั้นจึงทำให้มีลักษณะรูปร่างที่ไม่แน่นอนดังแสดงในภาพที่ 2.3 ซึ่งลักษณะรูปร่างของถ้วยจะมีความแตกต่างจากปูนซีเมนต์ปอร์ตแลนด์อย่างสิ้นเชิง โดยลักษณะของปูนซีเมนต์ปอร์ตแลนด์นั้นเป็นแท่งเรียบหรือเป็นเหลี่ยมสถานตัวกันเกิดความแข็งแรงภายใต้ความสามารถรับกำลังแรงอัดได้

เมื่อทำการถ่ายภาพอนุภาคถ้วยอย่างลึกในตัวที่ทำการเผาโดยบริษัทคีบเบลล์ เอ (1991) จำกัด (มหาชน) จังหวัดปราจีนบุรี ด้วยกล้องจุลทรรศน์อิเล็กตรอนแบบส่องราก (Scanning Electron Microscope, SEM) พบรูปร่างถ้วยทั้งที่เป็นทรงกลมและรูปร่างที่ไม่แน่นอนขนาดคละกัน ดังภาพที่ 2.3 ภายใต้แสงที่กำลังเผาใหม่ (CS. Poon et al., 2003., PK. Kolay et al., 2001) อิฐทั้งบล็อกมีถ้วยที่มีความคงทนดีในขณะเผาใหม่ (CS. Poon et al., 2003., PK. Kolay et al., 2001) อิฐทั้งบล็อกมีถ้วยที่มีความคงทนดีในขณะเผาใหม่ (CS. Poon et al., 2003., PK. Kolay et al., 2001)

พลีโรสเพีย (Plerosphere) (SV.Vassilev et al., 2003.) การเผาถ่านอยที่อุณหภูมิสูงจึงทำให้ถ่านอยนั้นมีองค์ประกอบหลักเป็นแก้ว (Aluminosilicate glass) และเนื่องจากการเผาที่อุณหภูมิสูงส่งผลให้ถ่านอยมีสมบัติทนความร้อนได้ดีและมีน้ำหนักเบา



ภาพที่ 2.3 รูป่างของถ่านอยซึ่งถูกถ่ายด้วยกล้องจุลทรรศน์อิเล็กตรอนแบบส่องการดู

#### 2.3.4 ขนาดและความถ่วงจำเพาะของถ่านอย

อนุภาคของถ่านอยมีขนาดตั้งแต่เล็กกว่า 1 ไมครอนไปจนถึง 200 ไมครอน โดยคิดเฉลี่ยแล้วถ่านอยจะมีขนาดอยู่ที่ประมาณ 15-30 ไมครอน ความถ่วงจำเพาะ (ด.พ.) ใช้วิธีทดสอบ เช่นเดียวกับการทดสอบปูนซีเมนต์ปอร์ตแลนด์ ตามมาตรฐาน ASTM C118 (L. Jiang, et al., 2001) มีความถ่วงจำเพาะประมาณ 1.9-2.9 (Siddique, 2003, N. Bouzoubaa et.al., 2003, P. Chindaprasirt et.al., 2004) ซึ่งจะพบว่าต่ำกว่า ปูนซีเมนต์ปอร์ตแลนด์ ความถ่วงจำเพาะของถ่านอยที่สูงนั้นส่วนใหญ่เป็นผลมาจากการปริมาณร้อยละของ แคลเซียมออกไซด์ ( $\text{CaO}$ ) หรือ เหล็กออกไซด์ ( $\text{Fe}_2\text{O}_3$ ) ที่ผสมอยู่ในปริมาณมากนักหนึ่งจากนั้นยังพบว่าความถ่วงจำเพาะจากการเผาถ่านอยในรอบเดียวกันหากอนุภาคของถ่านอยมีความละเอียดจะส่งผลให้มีความถ่วงจำเพาะที่สูงกว่าอนุภาคถ่านอยที่มีความหยาบ

#### 2.3.5 ดัชนีการพัฒนากำลังของถ่านอย

ดัชนีการพัฒนากำลัง (Strength Activity Index) เป็นการวัดความเป็นปอชโซล่าของถ่านอยสามารถทำการวัดได้หลายวิธี การหาค่าดัชนีการพัฒนากำลังใช้การวัดตามมาตรฐาน ASTM C618 เป็นการทดสอบกำลังรับแรงอัดที่อายุ 7 หรือ 28 วันใช้วิธีทดสอบตามมาตรฐาน C311 โดยใช้มอร์ตาร์ตามมาตรฐาน ASTM C109 มอร์ตาร์ที่ทำการทดสอบใช้ปูนซีเมนต์ปอร์ตแลนด์

ปริมาณ 400 กรัม เถ้าloy 100 กรัม ทรายมาตรฐาน (Graded standard sand) 1,375 กรัม และพสมน้ำที่ให้ค่าการไหลผ่าน  $\pm 5$  ของการไหลแผ่ของมอร์ตาร์ควบคุมตามมาตรฐาน ASTM C618 ทำการควบคุมส่วนพสมอย่างต่ออย่าง 75 ของมอร์ต้ามมาตรฐาน ที่อายุ 7 หรือ 28 วัน

### 2.3.6 ความต้องการน้ำของถ้าloy

ในเรื่องความต้องการน้ำของถ้าloyถูกระบุตามมาตรฐาน ASTM C618 โดยมาตรฐาน ASTM C311 ระบุให้ใช้ส่วนพสมเดียวกันกับการทดสอบหาดัชนีการพัฒนาがらถ้าloy ที่มีอนุภาคเป็นทรงกลมจะช่วยให้ส่วนพสมมีความลื่นไหลได้ดีจึงส่งผลทำส่วนพสมนี้มีความต้องการน้ำต่ำ การที่ส่วนพสมมีความต้องการน้ำเพิ่มขึ้นนั้นหมายถึงถ้าloyมีรูปร่างที่ไม่เป็นทรงกลม หรือ มีผิวที่ขรุขระและมีรูพรุนมากจึงไม่เหมาะสมต่อการนำมาใช้งาน

### 2.3.7 ความสม่ำเสมอของถ้าloy

ความสม่ำเสมอของถ้าloy ได้มีการกำหนดให้ตรวจสอบส่วนได้แก่ปริมาณร้อยละที่ค้างตะแกรงเบอร์ 325 ตามมาตรฐาน ASTM C311 และความหนาแน่น (Density) ตามมาตรฐาน ASTM C118 โดยกำหนดให้ใช้ถ้าloy 50 กรัม แทนปูนซีเมนต์ปอร์ตแลนด์ 64 กรัม ระบุค่าเฉลี่ยของความหนาแน่นไม่เกินร้อยละ 5 และความหนาแน่นของตัวอย่างแต่ละตัวอย่างจะต้องไม่แตกต่างจากค่าเฉลี่ยสิบตัวอย่างที่ทำการทดสอบก่อนหน้า หรือค่าเฉลี่ยของตัวอย่างก่อนหน้าทั้งหมดหากทำการทดสอบจำนวนไม่ถึงสิบตัวอย่าง

การทดสอบปริมาณร้อยละของถ้าloyที่ค้างตะแกรงเบอร์ 325 ตามมาตรฐาน ASTM C430 โดยระบุให้ปริมาณร้อยละของถ้าloyที่ค้างตะแกรงเบอร์ 325 ต่างจากค่าเฉลี่ยไม่เกินร้อยละ 5 ตามมาตรฐาน ASTM C618 ความหนาแน่นของตัวอย่างแต่ละตัวอย่างจะต้องไม่แตกต่างจากค่าเฉลี่ยสิบตัวอย่างที่ทำการทดสอบก่อนหน้า หรือค่าเฉลี่ยของตัวอย่างก่อนหน้าทั้งหมดหากทำการทดสอบจำนวนไม่ถึงสิบตัวอย่าง

### 2.3.8 แฟคเตอร์ผลคูณ (Multiple factor)

แฟคเตอร์ผลคูณคือค่าแสดงความระเอียดของถ้าloyค่าหนึ่ง ซึ่งหาได้จากผลคูณระหว่างปริมาณกากค้างตะแกรงเบอร์ 325 กับค่าน้ำหนักที่หายไปหลังการเผา ซึ่งตามมาตรฐาน ASTM C618 กำหนดให้แฟคเตอร์ผลคูณต้องไม่เกิน 255 ทั้งนี้ค่าดังกล่าวใช้ได้กับถ้าloyชั้นคุณภาพເອົ້າຫຼັນ

## 2.4 ดินขาว

ดินขาว (Kaolinite) เป็นดินชนิดปฐมภูมิ (Primary Clay) ได้จากการกระบวนการทำเหมืองแบบเปิด (Open-cast Pits) โดยใช้น้ำแรงดันสูงในการฉีดชำระล้างดิน จากนั้นนำจะพัดพาอาดินและสิ่งเจือปนไปยังด้านล่างของเหมือง จากจุดนี้นำดินจะถูกผสมกับสารเวนโดยถูกบีบไปยังถังตกรตะกอนขนาดใหญ่ซึ่งสิ่งเจือปนที่มีอนุภาคขนาดใหญ่จะถูกตะกอนแยกออกไป ทำให้สารเวนโดยดังกล่าวจะเหลือเพียงอนุภาคของดินและสิ่งเจือปนที่มีขนาดละเอียดกว่าเท่านั้น

ในขั้นตอนต่อมาสิ่งเจือปนในน้ำดินจะถูกแยกออกโดยการใช้ไฮโดรไซโคลน (Hydrocyclones) สารเวนโดยจะเกิดการหมุนเหวี่ยงอยู่ภายในทำให้สิ่งเจือปนที่มีอนุภาคขนาดใหญ่ถูกแรงเหวี่ยงหมุนออกมาก่อนที่บริเวณด้านข้างของไฮโดรไซโคลนจากนั้นจะตกลงสู่ด้านล่าง และถูกกำจัดออกสู่ด้านนอกต่อไป อนุภาคที่มีขนาดละเอียดกว่าซึ่งจะอยู่บริเวณตรงกลางของแรงเหวี่ยงหมุนจะถูกเหวี่ยงไปทางด้านบนรวมเป็นองค์ประกอบของดินต่อไป หากทำการหมุนเหวี่ยงน้ำดินด้วยกระบวนการไฮโดรไซโคลนต่อไป สิ่งเจือปนที่มีอนุภาคขนาด 30 ไมครอนจะถูกแยกออกเหลือไว้เพียงส่วนของวัตถุดินที่มีความละเอียดมากๆ และมีองค์ประกอบที่เป็นส่วนของดินรวมอยู่มากกว่า 95%

การใช้ไฮโดรไซโคลนเพื่อกำจัดสิ่งเจือปนดังกล่าวให้ออกไปจากเนื้อดิน จะทำการกำจัดที่ขนาดอนุภาคละเอียดขึ้นที่ประมาณ 15 ไมครอน ทำให้ดินที่ได้มีความขาวและมีความบริสุทธิ์ค่อนข้างสูง ดินที่ได้จะถูกนำมาผ่านกระบวนการแยกน้ำออกจากเนื้อดินโดยการตกรตะกอนหรือการอัดกรอง (Filter Pressing) และผ่านกระบวนการอบแห้งด้วยเตาชนิดพิเศษในขั้นตอนสุดท้าย

ปริมาณสิ่งเจือปนที่ปะปนอยู่ในเนื้อดินมีปริมาณที่น้อยทำให้ดินขาว (China Clays) มีสมบัติหลังเพาท์คิ้ว ให้สีหลังเพาท์ขาวมากซึ่งจะตรงกับข้ามกับดินประเภททุติยภูมิ (Secondary Clays) ที่พบโดยส่วนใหญ่เนื่องจากดินประเภทนี้มีสิ่งเจือปนอยู่ในปริมาณมากทำให้ดินมีสีที่ขาวนวลหลังเพาและดินจากบางแหล่งอาจจะให้สีหลังเพาเป็นสีงาช้าง (Ivory) สีฟางข้าว (Straw) สีน้ำตาล (Brown) หรือสีแดง (Red) ซึ่งแล้วแต่แหล่งที่มาของดินนั้นๆ

ดินขาวโดยทั่วไปจะมีขนาดอนุภาคที่ค่อนข้างใหญ่ทำให้ความเหนียว (Plasticity) และความแข็งแรงก่อนเผา (Unfired Strength) น้อยกว่าดินที่จัดอยู่ในประเภทดินทุติยภูมิ (Secondary Clays) ดังนั้นในเนื้อดินประเภท Bone China ซึ่งจำเป็นจะต้องให้ได้สีของเนื้อดินหลังเพาที่มีความขาวผู้ผลิตจะใช้ดินประเภททุติยภูมิ (Secondary Clays) เป็นส่วนประกอบໄ้ในปริมาณเพียงเล็กน้อยเท่านั้นซึ่งจะทำให้เนื้อดินมีความเหนียว (Plasticity) และความแข็งแรงก่อนเผา (Unfired Strength) ที่เพิ่มขึ้นและอย่างที่ทราบดีอยู่แล้วว่าในทางทฤษฎีนั้นดินเคลือบไนต์ (Kaolinite) บริสุทธิ์จะมีองค์ประกอบทางเคมีตามสูตร  $\text{Al}_2\text{O}_3 \cdot 2\text{SiO}_2 \cdot 2\text{H}_2\text{O}$

## 2.5 งานวิจัยที่เกี่ยวข้อง

ณัศกิจ ชาเร็ตต์ และ ปริญญา จินดาประเสริฐ (2005) ได้ศึกษาจีโอพอลิเมอร์จากถ้าโดย พนว่าเมื่อความเข้มข้นของสารละลายโซเดียมไฮดรอกไซด์เพิ่มขึ้น ส่งผลค่ากำลังรับแรงอัดของ จีโอพอลิเมอร์ที่เพิ่มขึ้น

T.W. Cheng และ J.P. Chiu (2003) ค้นพบว่าความเข้มข้นของสารละลายอัลคาไลน์ที่ใช้ใน การสังเคราะห์จีโอพอลิเมอร์สังเคราะห์จากตะกรันเหล็กมีความสัมพันธ์กับระยะเวลาในการก่อตัว สมบัติทางกายภาพ และสมบัติทางกลของจีโอพอลิเมอร์

D. Hardjito and B.V. Rangan (2005) ได้ศึกษาจีโอพอลิเมอร์จากถ้าโดยพนว่าความเข้มข้น ของโซเดียมไฮดรอกไซด์ที่สูงขึ้นส่งผลให้จีโอพอลิเมอร์ที่สังเคราะห์มีกำลังรับแรงอัดสูงขึ้นตามไป ด้วย

ปริญญา จินดาประเสริฐ และคณะ (2005) ได้ศึกษาการแข็งถ้าโดยโรงไฟฟ้าแม่مهะใน สารละลายโซเดียมไฮดรอกไซด์ พนว่าการละลายของ Si และ Al ในถ้าโดยขึ้นอยู่กับความเข้มข้น ของโซเดียมไฮดรอกไซด์ และเวลาที่แข็งอยู่ในสารละลายซึ่งระยะเวลาในการแข็งสารละลายมีผลต่อ การละลายของ Al มากกว่าการละลายของ Si

P. Chindaprasirt et.al. (2012) ศึกษาผลของปริมาณชิลิกอน ไดออกไซด์และอะลูминิเนียม ออกไซด์ต่อระยะเวลาในการแข็งตัวของจีโอพอลิเมอร์ที่เตรียมจากถ้าโดยที่มีปริมาณแคลเซียมสูง พนว่าเมื่อเพิ่มปริมาณชิลิกอน ไดออกไซด์ หรืออะลูминิเนียมออกไซด์ มีผลทำให้เวลาในการแข็งตัว ของจีโอพอลิเมอร์ลดลง ซึ่งแตกต่างจากลักษณะของจีโอพอลิเมอร์โดยทั่วไปที่เมื่อปริมาณของ อะลูминิเนียมออกไซด์เพิ่มขึ้นจะมีผลทำให้เวลาในการแข็งตัวของจีโอพอลิเมอร์เพิ่มขึ้น แต่การเพิ่ม ชิลิกอน ไดออกไซด์จะมีผลในการหน่วงเวลาการแข็งตัวของจีโอพอลิเมอร์

E. Nimwinya และคณะ (2016) ได้ศึกษาจีโอพอลิเมอร์จากคินตะกอนประปาพบว่า อัตราส่วนชิลิกาต่ออะลูมินาที่สูงขึ้นส่งผลให้เวลาในการก่อตัวของจีโอพอลิเมอร์มีแนวโน้มที่ เพิ่มขึ้น เนื่องจากอัตราการควบแน่นของพันธะระหว่างชิลิกेटกับอะลูมิเนตใช้ระยะเวลาการ ควบแน่นเร็วกว่าพันธะระหว่างชิลิกेटกับชิลิกेट และยังพบว่าเมื่อเพิ่มอัตราส่วนชิลิกาต่ออะลูมินา รวมถึงเพิ่มอุณหภูมิในการบ่มจีโอพอลิเมอร์ให้ถึงจุดที่เหมาะสมจะส่งผลให้จีโอพอลิเมอร์มีกำลังรับ แรงอัดสูงขึ้น

Polomo et.al. (1999) ได้ทำการศึกษาการสังเคราะห์สุดจีโอพอลิเมอร์จากถ้าโดยพนว่า มี ตัวแปรหลายตัวที่มีผลกระทบต่อค่ากำลังรับแรงอัดของจีโอพอลิเมอร์ซึ่ง ได้แก่ อุณหภูมิของการบ่ม เวลาในการก่อตัว และชนิดของสารละลายที่ใช้ทำปฏิกิริยา นอกจากนี้คณะวิจัยยังพบว่าอุณหภูมิการ บ่มที่ทำให้จีโอพอลิเมอร์มีความแข็งแรงสูงอยู่ในช่วง 60-90 องศาเซลเซียส

Hardjito et.al. (2004) ทำการสังเคราะห์จีโอพอลิเมอร์โดยใช้ถ่านอยที่มีองค์ประกอบของชิลิกาและอะลูมินาพบว่า จีโอพอลิเมอร์ที่สามารถรับแรงอัดได้สูงที่ได้จากการผสมถ่านอยกับสารเร่งปฏิกิริยาและใช้ความร้อนอยู่ในช่วง 60 – 90 องศาเซลเซียสในการเร่งปฏิกิริยา สารเร่งที่ใช้เป็นสารพอกอัลคาไลน์ชิลิกेट และอัลคาไลน์ไฮดรอกไซด์อย่างไรก็ตามกำลังรับแรงอัดที่ได้จะขึ้นอยู่กับหลายตัวแปร เช่น ความเข้มข้นสารละลายโซเดียมไฮดรอกไซด์หรืออัตราส่วนระหว่างสารละลายโซเดียมชิลิกेटต่อสารละลายโซเดียมไฮดรอกไซด์ที่สูงขึ้น

Wang และ Cheng (2003) ได้ทำการศึกษาจีโอพอลิเมอร์ที่สังเคราะห์จากถ่านอยร่วมกับสารละลายโซเดียมชิลิกेटและสารละลายโซเดียมไฮดรอกไซด์ จากนั้นทำการศึกษาสมบัติด้านความหนืดไฟในการทดลองพบว่า จีโอพอลิเมอร์จากถ่านอยสามารถแข็งตัวได้ที่อุณหภูมิห้องในช่วงระยะเวลา 9.5 ชั่วโมง หลังจากทำการบ่มตัวอย่างที่อุณหภูมิ 60-70 องศาเซลเซียส เป็นเวลา 2 วัน และทำการวัดค่ากำลังรับแรงอัดและสมบัติความหนืดไฟพบว่า จีโอพอลิเมอร์ที่สังเคราะห์ขึ้นให้ค่ากำลังรับแรงอัดเฉลี่ยเท่ากับ 64 MPa โดยค่ากำลังรับแรงอัดมีการพัฒนาเพิ่มสูงขึ้นไปจนถึงการบ่ม 7 วัน หลังจากนั้นปฏิกิริยาที่ส่งผลให้เกิดความแข็งแรงจะเกิดน้อยมาก สำหรับการหนึบไฟที่อุณหภูมิ 1100 องศาเซลเซียส ที่ด้านหน้าตัวอย่างความหนา 10 มิลลิเมตร ใช้เวลาเท่ากับ 30 นาที ทำการวัดอุณหภูมิที่ด้านหลังตัวอย่างได้เท่ากับ 440-470 องศาเซลเซียส พบว่าวัสดุจีโอพอลิเมอร์มีความแข็งแรงและสามารถหนึบไฟได้

สำเริง รักช้อน และคณะ (2011) ศึกษาผลของปริมาณสารละลายโซเดียมชิลิกेटและความเข้มข้นของสารละลายโซเดียมไฮดรอกไซด์ที่มีผลต่อค่ากำลังรับแรงอัดของจีโอพอลิเมอร์จากถ่านอยพบว่า อัตราส่วนระหว่างสารละลายโซเดียมชิลิกेटต่อสารละลายโซเดียมไฮดรอกไซด์มีค่าเท่ากับ 1.5:1 และความเข้มข้นของสารละลายโซเดียมไฮดรอกไซด์ที่ 12.5 โนลาร์ ให้กำลังรับแรงอัดที่สูงเมื่อเทียบกับสารละลายโซเดียมไฮดรอกไซด์ที่มีความเข้มข้นเท่ากับ 5, 7.5 และ 10 โนลาร์ ส่วนปริมาณของสารละลายโซเดียมไฮดรอกไซด์ที่ 15 โนลาร์ กำลังรับแรงอัดมีแนวโน้มที่ต่ำลง

Charin Sanawong (2010) และคณะ ทำการศึกษาความเข้มข้นของสารละลายโซเดียมไฮดรอกไซด์ต่อความหนืดไฟ ความหนืดไฟของจีโอพอลิเมอร์จากถ่านอย และกำลังยึดเหนี่ยวระหว่างเหล็กข้ออ้อยกับจีโอพอลิเมอร์โดยใช้ความเข้มข้นของสารละลายโซเดียมไฮดรอกไซด์ เท่ากับ 8, 10, 12 และ 14 โนลาร์ กำหนดอัตราส่วนของชิลิกอนต่ออะลูมิเนียมคงที่เท่ากับ 1.98 และบ่มตัวอย่างที่อุณหภูมิห้องผลการศึกษาพบว่าความหนืดไฟแรงอัดของจีโอพอลิเมอร์มีค่าเพิ่มขึ้นตามความเข้มข้นของสารละลายโซเดียมไฮดรอกไซด์ ส่วนกำลังยึดเหนี่ยวระหว่างจีโอพอลิเมอร์กับเหล็กมีค่าเพิ่มขึ้นตามความเข้มข้นของสารละลายโซเดียมไฮดรอกไซด์ที่เพิ่มขึ้นและจะมีค่าลดลงเล็กน้อยที่ความเข้มข้น 14 โนลาร์

Charin Sanawong (2011) และคณะ ศึกษาผลของการเข้มข้นของสารละลายน้ำเดี่ยมไฮดรอกไซด์ต่อความสามารถในการกัดกร่อนโลหะของจีโอพอลิเมอร์จากถ่านอยโดยใช้สารละลายน้ำเดี่ยมซิลิกเกตและสารละลายน้ำเดี่ยมไฮดรอกไซด์เป็นสารละลายทำปฏิกิริยาผลการวิจัยพบว่าจีโอพอลิเมอร์มีความสามารถในการกัดกร่อนโลหะได้สูงขึ้นเมื่อความเข้มข้นของสารละลายน้ำเดี่ยมไฮดรอกไซด์มีค่าเพิ่มขึ้น

สกุลวรรณ ห่านจิตสุวรรณ และคณะ (2015) ทำการศึกษาผลกระทบของการแทนที่ปูนซีเมนต์ปอร์ตแลนด์ ต่อมนบัตของจีโอพอลิเมอร์จากถ่านอยแคลเซียมต่ำและถ่านอยแคลเซียมสูง โดยการแทนที่ปูนซีเมนต์ปอร์ตแลนด์ในถ่านอยร้อยละ 5, 10 และ 15 โดยน้ำหนักของวัสดุประสาน การศึกษานี้ใช้สารละลายน้ำเดี่ยมซิลิกเกตและสารละลายน้ำเดี่ยมไฮดรอกไซด์ที่ความเข้มข้น 10 โนมาร์ เป็นสารละลายทำปฏิกิริยาโดยใช้ปริมาณสารละลายน้ำเดี่ยมซิลิกเกตร้อยละ 40 โดยน้ำหนักของสารละลายน้ำเดี่ยมไฮดรอกไซด์ปริมาณของเหลวร้อยละ 33 และปริมาณวัสดุประสานเท่ากับร้อยละ 57 โดยน้ำหนัก ทำการบ่มที่อุณหภูมิห้องทดลองทดสอบพบว่าปริมาณการแทนที่ปูนซีเมนต์ปอร์ตแลนด์ที่เพิ่มขึ้นส่งผลให้ความทนแรงอัดของจีโอพอลิเมอร์เพิ่มขึ้น

Palomo (2001) และคณะ ได้เสนอแนะว่าการกระตุ้นถ่านอยกับวัสดุผสมจะมีความแตกต่างกัน 2 รูปแบบคือ วัสดุที่ประกอบด้วยซิลิกอนไดออกไซด์และแคลเซียมจะถูกกระตุ้นด้วยสารละลายน้ำเดี่ยมที่ซิลิกอน และอะลูมิเนียมจะถูกกระตุ้นด้วยสารละลายที่ใช้ทำปฏิกิริยาประเภทค่างความเข้มข้นสูงจะได้ปฏิกิริยาพอลิเมอร์ไรซเซ่น (Polymerization) และเนื่องจากตัวเร่งปฏิกิริยาการก่อตัวของจีโอพอลิเมอร์คือความร้อนดังนั้น จึงต้องมีการเพิ่มอุณหภูมิซึ่งอาจจะทำให้สูญเสียน้ำบางส่วนเล็กน้อย อย่างไรก็ตามการก่อตัวที่อุณหภูมิห้องก็สามารถทำได้โดยใช้แหล่งวัสดุที่ผ่านการแคลไชน์ที่ได้จากการดินบริสุทธิ์ เช่น แคลไชน์เกลิน

Swanepoel และคณะ (2002) ได้ทำการศึกษาเกี่ยวกับการสังเคราะห์จีโอพอลิเมอร์โดยใช้ถ่านอยเป็นสารตั้งต้นร่วมกับแคลไชน์เกลิน และใช้สารละลายน้ำเดี่ยมซิลิกเกต สารละลายน้ำเดี่ยมไฮดรอกไซด์เป็นสารละลายทำปฏิกิริยา จากนั้นทำการบ่มเพื่อเร่งปฏิกิริยา ที่อุณหภูมิ 40, 50, 60 และ 70 องศาเซลเซียส จากการทดลองพบว่าอุณหภูมิที่เหมาะสมที่สุดคือ 60 องศาเซลเซียส ซึ่งให้ค่ากำลังแรงอัดสูงสุด คือ 8 MPa

อนุชาติ ลือนันต์ศักดิ์ศิริ และ ปริญญา จินดาประเสริฐ (2005) ได้ทำการเตรียมจีโอพอลิเมอร์จากแคลไชน์เกลินผสมกับถ่านอยพบว่าอุณหภูมิที่เหมาะสมที่สุดสำหรับการเตรียมแคลไชน์เกลินเพื่อใช้ผสมกับถ่านอยคือ 600 องศาเซลเซียส และปริมาณของแคลไชน์เกลินที่สามารถใช้ผสมกับถ่านอยได้มากสุดคือร้อยละ 30 โดยน้ำหนัก หากใช้แคลไชน์เกลินมากกว่าปริมาณดังกล่าวจะส่งผลให้ความทนแรงอัดของจีโอพอลิเมอร์ลดลง

Abideng Hawa (2013) ได้ทำการศึกษาจีโอพอลิเมอร์ที่เตรียมจากแคลไชน์เกอลิน สารละลายโซเดียมซิลิกาตและสารละลายโซเดียมไฮดรอกไซด์เป็นละลายที่ใช้ทำปฏิกิริยาเพื่อใช้เป็นวัสดุเชื่อมประสานในงานซ่อมแซมผิวทางคอนกรีต ที่ต้องการการแข็งตัวที่รวดเร็วในการทดลองใช้ปริมาณน้ำร้อยละ 31, 35 และ 39 โดยน้ำหนักของแคลไชน์เกอลินและบ่มร้อนเป็นเวลา 0.5, 1, 2 และ 4 ชั่วโมงที่อุณหภูมิ 80 องศาเซลเซียส ตัวอย่างทดสอบกำลังรับแรงอัดบ่มที่อุณหภูมิห้องเป็นเวลา 2, 6, 24 ชั่วโมง, 7 และ 28 วัน จากการทดสอบพบว่า จีโอพอลิเมอร์ที่ใช้ปริมาณน้ำร้อยละ 31 โดยน้ำหนักของแคลไชน์เกอลินบ่มที่อุณหภูมิห้องเป็นเวลา 2 ชั่วโมง จะให้ค่ากำลังรับแรงอัดสูงสุดที่ 37 MPa

J. Xie และคณะ (2009) ได้ทำการเตรียมจีโอพอลิเมอร์จากแคลไชน์เกอลิน เถ้าโลย โรงไฟฟ้าประเทศไทย และตะกรันเหล็ก พบร่วมกับจีโอพอลิเมอร์ที่เตรียมจากส่วนผสมระหว่างแคลไชน์เกอลิน เถ้าโลย และตะกรันเหล็กในอัตราส่วน ร้อยละ 14, 43 และ 43 โดยน้ำหนักตามลำดับให้ความแข็งแรงสูงถึง 31.6 MPa จีโอพอลิเมอร์ที่เตรียมได้ยังสามารถเก็บกักโลหะหนัก เช่น Pb Cu Cr และ Ni ไว้ในตัวได้

P. Chindaprasirt และคณะ (2012) ศึกษาผลของปริมาณ  $\text{SiO}_2$  และ  $\text{Al}_2\text{O}_3$  ที่มีผลต่อเวลาในการก่อตัวของจีโอพอลิเมอร์ที่เตรียมจากเถ้าโลยชั้นคุณภาพชี พบร่วมเมื่อเพิ่มปริมาณ  $\text{SiO}_2$  หรือ  $\text{Al}_2\text{O}_3$  มีผลทำให้เวลาในการก่อตัวของจีโอพอลิเมอร์ลดลง แต่ต่างจากลักษณะของจีโอพอลิเมอร์ที่เตรียมจากเถ้าโลยชั้นคุณภาพเช่นเมื่อเพิ่มปริมาณของ  $\text{Al}_2\text{O}_3$  จะมีผลให้เวลาในการก่อตัวของจีโอพอลิเมอร์เพิ่มขึ้นแต่หากปริมาณ  $\text{SiO}_2$  เพิ่มขึ้นจะมีผลทำให้เวลาในการก่อตัวของจีโอพอลิเมอร์ลดลง

ในปัจจุบันมีการค้นคว้าและวิจัยกันอย่างแพร่หลายเกี่ยวกับวัสดุจีโอพอลิเมอร์ แต่ยังไม่มีงานวิจัยใดที่นำ แคลไชน์เกอลิน ร่วมกับปูนซีเมนต์ปอร์ตแลนด์ มาใช้ในการปรับปรุงสมบัติของวัสดุจีโอพอลิเมอร์ที่ใช้เถ้าโลย เป็นสารตั้งต้น งานวิจัยชิ้นนี้มีจุดประสงค์เพื่อปรับปรุงสมบัติเชิงกลของวัสดุจีโอพอลิเมอร์ที่สังเคราะห์จากเถ้าโลยด้วยการเติม แคลไชน์เกอลิน และปูนซีเมนต์ปอร์ตแลนด์ เพื่อให้ได้จีโอพอลิเมอร์ที่มีสมบัติเหมาะสมกับการใช้งานในอุตสาหกรรมการก่อสร้างด้านต่างๆ องค์ความรู้จากการวิจัยชิ้นนี้ยังเป็นการปูพื้นฐานในการสร้างองค์ความรู้ใหม่ด้านเทคโนโลยีสะอาดและเป็นมิตรต่อสิ่งแวดล้อมให้กับประเทศ เพื่อเตรียมพร้อมสู่การเป็นเศรษฐกิจและสังคมคาร์บอนต่ำและเป็นมิตรกับสิ่งแวดล้อม

### บทที่ 3

#### วิธีดำเนินงานวิจัย

##### 3.1 อุปกรณ์ในการดำเนินการวิจัย

อุปกรณ์และเครื่องมือที่ใช้ในการดำเนินการวิจัย การวิเคราะห์ และการทดสอบแสดงดังตารางที่ 3.1 วัตถุดิบและสารเคมีที่ใช้ในการทดลองแสดงในตารางที่ 3.2

ตารางที่ 3.1 แสดงเครื่องมือที่ใช้ในการดำเนินการวิจัย

อุปกรณ์	ผู้ผลิต	รุ่น
กล้องจุลทรรศน์อิเล็กตรอนแบบส่องกราด (Scanning electron microscope; SEM)	-	QUANTA 450
ไอออนสปั๊ตเตอร์ริง (Ion sputtering device)	Joel	JFC-1110E
เอกซ์เรย์ดิฟเฟρกชัน (X-ray Diffraction; XRD)	Bruker	D2
เอกซ์เรย์ฟลูออเรสเซนซ์ (X-ray fluorescence; XRF)	Horiba	XGT-5200
เครื่องอัดขี้นรูปแบบทิศทางเดียว (Uniaxial pressing)	Carver	2702
ตู้อบความร้อน (Drying oven)	Binder	ED240
กิลล์มอร์นีดเดิลส์ (Gilmore needle ASTM C266)	Humboldt	H-3150
เตา (Furnace)	Omega	OTG-6SP
เครื่องตัดชิ้นงานละเอียด (Precision wafering diamond saw)	Buehler	ISOMET 1000
ตะแกรงคัดขนาด (Laboratory test sieve)	Retsch	#120 MESH

### ตารางที่ 3.2 แสดงสารเคมีที่ใช้ในงานวิจัย

สารเคมี	ชนิด/เกรด	ผู้ผลิต
ถ่านหิน (Fly ash)	ชั้นคุณภาพชี	บมจ.คัปเปิล เอ (1991)
ดินขาวะนอง (Ranong Clay)	-	-
สารละลายโซเดียมซิลิกาต์ (Sodium silicate solution)	Commercial Grade (Na <sub>2</sub> O= 16.3%, SiO <sub>2</sub> =34.2%, H <sub>2</sub> O=49.5%)	Kanto Chemical Co.,Ltd.
โซเดียมไฮดรอกไซด์ (Sodium hydroxide)	Industry Grade 98%	Union Science Co.,Ltd.
ปูนซีเมนต์ปอร์ตแลนด์ (Portland Cement)	type 1	Siam City Cement Co.,Ltd.

#### 3.1.1 โซเดียมไฮดรอกไซด์ชนิดเม็ด (Sodium hydroxide pellets)

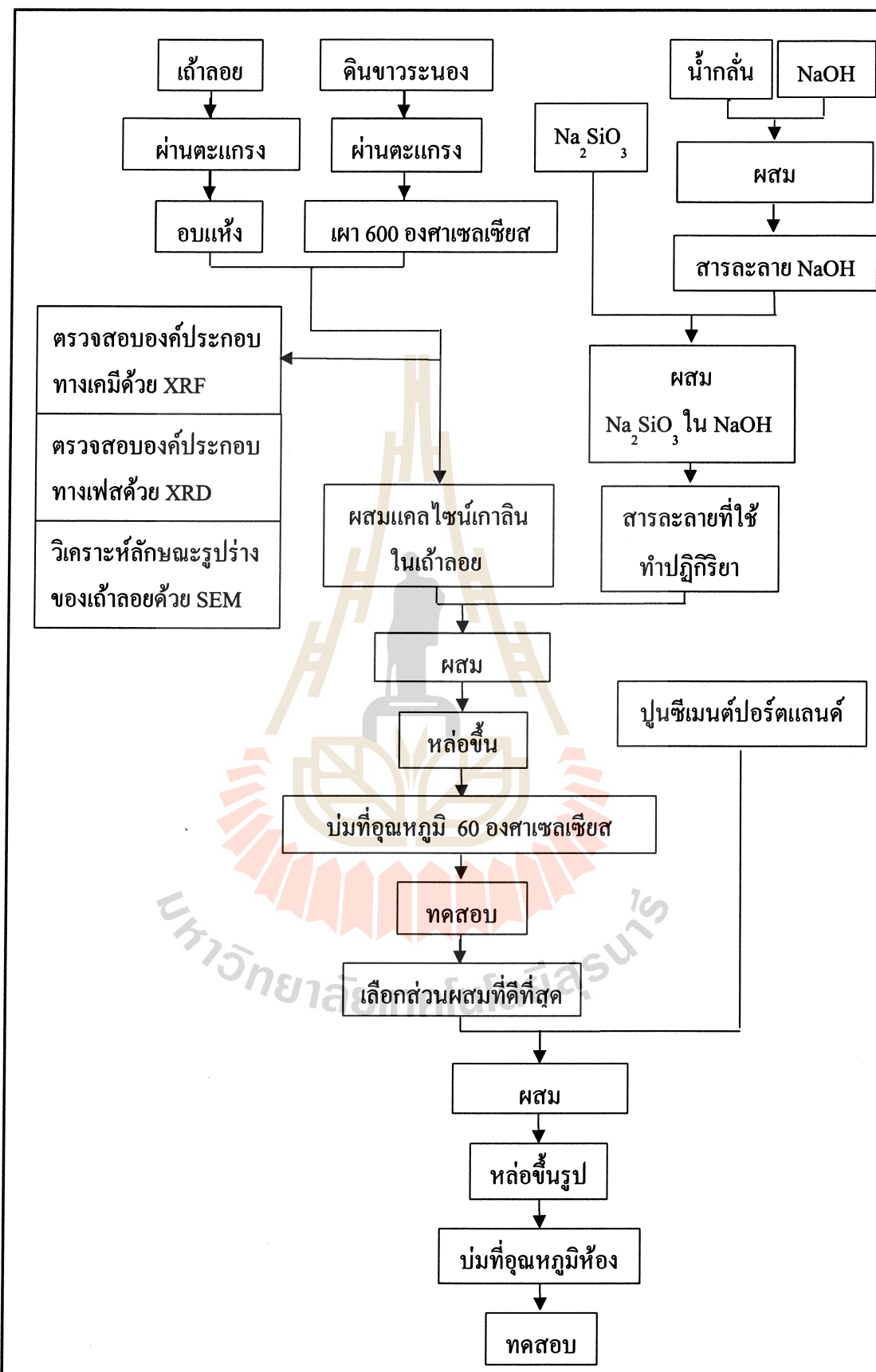
ในการทดลองใช้โซเดียมไฮดรอกไซด์ชนิดเม็ด สูตรเคมี NaOH เกรดอุตสาหกรรมมีความบริสุทธิ์น้อยกว่าหรือเทียบเท่าร้อยละ 98 โดยน้ำหนัก สิ่งเสื่อมอื่นๆร้อยละ 2 โดยน้ำหนัก (ข้อมูลจากบริษัท ยูเนี่ยน ซายน์ จำกัด)

#### 3.1.2 โซเดียมซิลิกาต์ชนิดสารละลาย (Sodium silicate solution)

โซเดียมซิลิกาต์ชนิดสารละลาย สูตรเคมี Na<sub>2</sub>SiO<sub>3</sub> องค์ประกอบหลักโซเดียมออกไซด์ (Na<sub>2</sub>O) ร้อยละ 16.3 โดยน้ำหนัก ซิลิกา (SiO<sub>2</sub>) ร้อยละ 34.2 โดยน้ำหนัก และน้ำ (H<sub>2</sub>O) ร้อยละ 49.5 โดยน้ำหนัก

### 3.2 การดำเนินการทดลอง

ขั้นตอนการดำเนินการทดลองแสดงในภาพที่ 3.1 โดยมีรายละเอียดดังต่อไปนี้



ภาพที่ 3.1 แสดงขั้นตอนและวิธีการทดลองของงานวิจัย

### 3.2.1 การเตรียมเจ้าloy และแคลไชน์เกลิน

3.2.1.1 เจ้าloy จาก บริษัท ดับบลิว โอ (1991) จำกัด (มหาชน) จังหวัดปทุมธานี ถูกนำไปผ่านตะแกรงเบอร์ 120 Mesh เพื่อแยกสิ่งสกปรกออกก่อน

3.2.1.2 นำเจ้าloy ที่ผ่านการคัดขนาดและแยกสิ่งสกปรกออกแล้วอบแห้งที่ อุณหภูมิ 100 องศาเซลเซียส จนแห้งสนิท

3.2.1.3 นำดินขาวะนองผ่านตะแกรงเบอร์ 120 Mesh เพื่อคัดขนาดพังคินและแยก สิ่งสกปรก

3.2.1.4 นำพังคินขาวเข้าเผาที่อุณหภูมิ 600 องศาเซลเซียส โดยใช้เวลาในการเผา แข็ง 3 ชั่วโมง อัตราการให้ความร้อนที่ 3 องศาเซลเซียสต่อนาที

### 3.2.2 การทดสอบองค์ประกอบทางเคมีของเจ้าloy และแคลไชน์เกลิน

การวิเคราะห์องค์ประกอบทางเคมีด้วยเครื่อง เอกซเรย์ฟลูออเรสเซนซ์ (X-ray fluorescence, XRF) อาศัยหลักการยิงรังสีเอกซ์ไปกระทบชั้นงานตัวอย่างส่งผลให้ชั้นงาน ตัวอย่างเกิดการปล่อยโฟตอนที่ความยาวคลื่นเฉพาะตัวของธาตุแต่ละชนิดออกมา แล้วระบบทำการวัดค่ารังสีที่กระเจิงออกมาแล้วทำการประมวลผล

เครื่องมือ : X-ray fluorescence (XRF) ดังแสดงในภาพที่ 3.2

ผู้ผลิต : HORIBA

รุ่น : XGT-5200



ภาพที่ 3.2 แสดงเครื่อง X-ray fluorescence (XRF)

### วิธีการทดสอบ

3.2.2.1 เติมถ้วยแล้วแคลไชน์เกอลินลงในอุปกรณ์เตรียมตัวอย่าง (Sample holder)

3.2.2.2 นำอุปกรณ์เตรียมถ้วยแล้วแคลไชน์เกอลินใส่เข้าที่วงในเครื่อง XRF

3.2.2.3 ควบคุมการทดสอบด้วยระบบคอมพิวเตอร์

3.2.2.4 บันทึกผลการทดลองแล้วนำไปวิเคราะห์ต่อไป

### 3.2.3 การวิเคราะห์องค์ประกอบทางเคมีของถ้วยแล้วแคลไชน์เกอลิน

การวิเคราะห์องค์ประกอบทางเคมีของถ้วยแล้วแคลไชน์เกอลิน ใช้เครื่องวิเคราะห์องค์ประกอบทางเคมีโดยใช้หลักการการเลี้ยวเบนของรังสีเอ็กซ์ (X-ray diffraction, XRD) โดยเมื่อปล่อยรังสีเอ็กซ์ให้กระทบกับผลึกของชิ้นงานตัวอย่างจะเกิดการเลี้ยวเบนของรังสี การเลี้ยวเบนในช่วงมุนตผลกระทบจะเป็นรูปแบบเฉพาะตัวของสารแต่ละชนิด

เครื่องมือ : X-ray diffractometer (XRD) ดังแสดงในภาพที่ 3.3

ผู้ผลิต : BRUKER

รุ่น : D2



ภาพที่ 3.3 แสดงเครื่อง X-ray diffractometer (XRD)

### วิธีการทดสอบ

3.2.3.1 เติมถ้วยแล้วแคลไชน์เกอลินลงในช่องว่างของอุปกรณ์เตรียมผงตัวอย่างให้เต็มช่อง

3.2.3.2 ใช้แผ่นกระจักรคลึงถ้วยแล้วแคลไชน์เกอลินในอุปกรณ์เตรียมผงตัวอย่างให้แน่นและเรียบ

3.2.3.3 นำอุปกรณ์ใส่ตัวอย่างประกอบเข้าชุดแล้วนำเข้าเครื่องตรวจวิเคราะห์

3.2.3.4 บันทึกผลการทดลองแล้วนำไปวิเคราะห์ผลต่อไป

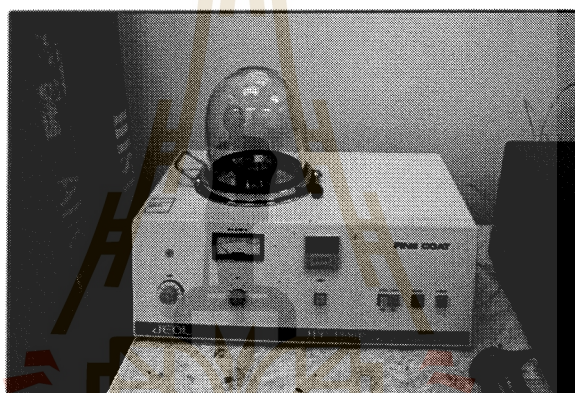
### 3.2.4 การวิเคราะห์ลักษณะและรูปร่างของถ้าloy

การวิเคราะห์ลักษณะรูปร่างของชิ้นงานมีความจำเป็นต้องอาศัยการสะท้อนกลับของอิเล็กตรอนที่ตกรอบกับพื้นผิวของชิ้นงาน การสะท้อนกลับของอิเล็กตรอนนี้จะเกิดอิเล็กตรอนทุติกูนที่ซึ่งจะถูกนำมาระเบิดเป็นสัญญาณและแสดงผลทางภาพ สามารถบันทึกและนำไปวิเคราะห์พื้นผิวของวัสดุได้โดยอิเล็กตรอนที่จะสามารถสะท้อนได้ก็ต่อเมื่อชิ้นงานมีพื้นผิวเป็นโลหะ ดังนั้นจึงมีความจำเป็นที่จะต้องทำการเคลือบผิวชิ้นงานด้วยโลหะทองคำ

เครื่องมือ : Ion sputtering device ดังแสดงในภาพที่ 3.4

ผู้ผลิต : Joel

รุ่น : JFC-1110E



ภาพที่ 3.4 แสดงเครื่อง Ion sputtering device

#### วิธีการทำงาน

3.2.4.1 ติดเทปควร์บอนบนแท่นติดชิ้นงาน (Stub)

3.2.4.2 โรยผงถ้าloyบนริเวณแทปควร์บอน

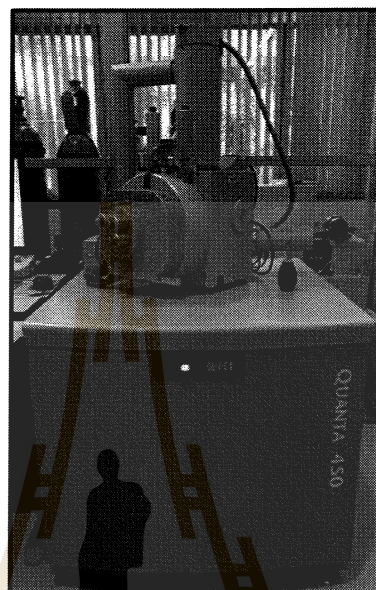
3.2.4.3 ใช้ถูกยางเป่าฝุ่นหรืออนุภาคส่วนเกิน

3.2.4.4 นำแท่นติดชิ้นงานเข้าเครื่อง Ion sputtering device ฉายทองคำ

เครื่องมือ :Scanning electron microscope (SEM) ดังแสดงในภาพที่ 3.5

ผู้ผลิต : Joel

รุ่น : JSM-6010LV



ภาพที่ 3.5 แสดงเครื่อง Scanning electron microscope (SEM)

#### วิธีการทดสอบ

3.2.4.5 เตรียมตัวอย่างจิออกออลิเมอร์ให้ได้ขนาด กว้างขวางสูง เป็น  $5 \times 5 \times 5$  มิลลิเมตร ตามลำดับ

3.2.4.6 นำตัวอย่างชิ้นงานตัวอย่างติดกับแท่นติดชิ้นงาน

3.2.4.7 เคลือบพิวของชิ้นงานตัวอย่างด้วยเครื่อง Ion sputtering device

3.2.4.8 นำตัวอย่างชิ้นงานที่เคลือบด้วยทองเหลืองเข้าเครื่อง SEM

3.2.4.9 ควบคุมการทดสอบโดยใช้คอมพิวเตอร์

3.2.4.10 บันทึกผลการทดลองที่ได้แล้วนำผลไปวิเคราะห์ต่อไป

#### 3.2.5 การเตรียมตัวสำหรับใช้ทำปฏิกิริยา

3.2.5.1 คำนวนปริมาณโซเดียมไฮดรอกไซด์และน้ำให้ได้สารละลายน้ำมีความเข้มข้น 5,10 และ 15 มิลลิกรัม ตามสมการที่ 3.1

$$n = gMW \quad (3.1)$$

$$g = \frac{n}{MW}$$

เมื่อ n คือ ความเข้มข้นของสารละลายโซเดียมไฮดรอกไซด์  
 g คือ ปริมาณของโซเดียมไฮดรอกไซด์ (กรัม)  
 MW คือ น้ำหนักโมเลกุลของโซเดียมไฮดรอกไซด์

3.2.5.2 ผสมโซเดียมไฮดรอกไซด์จากการคำนวณในข้อ 3.2.5.1 กับน้ำกัน

3.2.5.3 ชั่งน้ำหนักสารละลายโซเดียมไฮดรอกไซด์ที่เตรียมไว้

3.2.5.4 ชั่งน้ำหนักสารละลายโซเดียมซิลิกเกตเป็น 0,0.5,1.0,1.5 และ 2.0 โดยน้ำหนักของสารละลายโซเดียมไฮดรอกไซด์ ทำการผสมให้เข้ากัน บ่มสารละลายทิ้งไว้ 24 ชั่วโมงก่อนนำไปใช้งาน

### 3.2.6 การขึ้นรูปชิ้นงาน

3.2.6.1 ผสมถ้าโลยและแคลไชน์เกลินให้ได้สัดส่วนถ้าโลยต่อแคลไชน์เกลินเป็น 100:0, 50:50, 40:60, 30:70 และ 0:100 โดยน้ำหนัก

3.2.6.2 ผสมสารละลายที่เตรียมได้จากข้อที่ 3.2.5.4 กับผงที่เตรียมได้จากข้อที่ 3.2.6.1

3.2.6.3 ขึ้นรูปชิ้นงานโดยการเติมส่วนผสมลงในแบบหล่อสูญบากที่มีขนาดความกว้างยาวสูง เป็น 5x5x5 มิลลิเมตร ตามลำดับ และทำการไล่ฟองอากาศออก ตามมาตรฐาน ASTM C109

3.2.6.4 จีโอพอลิเมอร์ที่ขึ้นรูปแล้วจะถูกนำไปบ่มที่อุณหภูมิ 60 องศาเซลเซียสเป็นระยะเวลา 7 วัน

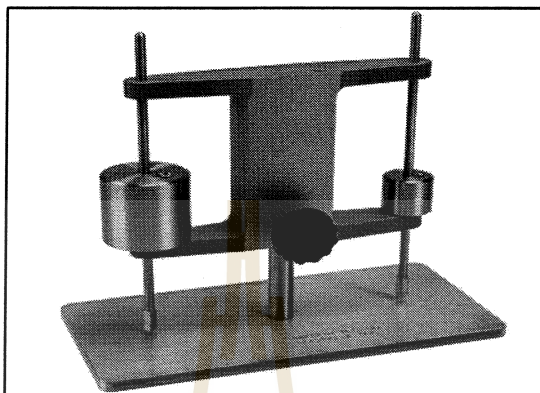
### 3.2.7 การวัดเวลาในการก่อตัว

เวลาในการก่อตัวของจีโอพอลิเมอร์ ทดสอบโดยกิลล์มอร์นีดเดลส์ ตามมาตรฐาน ASTM C266 เป็นที่ใช้สำหรับวัดเวลาในการก่อตัวมีน้ำหนัก 113.4 กรัม เส้นผ่าศูนย์กลางของเข็มมีขนาด 2.12 มิลลิเมตร และเข็มวัดเวลาสีน้ำเงินสุดการก่อตัวของจีโอพอลิเมอร์มีน้ำหนัก 453.6 กรัม เส้นผ่าศูนย์กลางของเข็มมีขนาด 1.06 มิลลิเมตร เวลาในการก่อตัวถูกบันทึกเมื่อปลายเข็มทั้งสองไม่สามารถตกดินได้เป็นรอยเด่นงอก

เครื่องมือ : Gilmore needle ดังแสดงในภาพที่ 3.6

ผู้ผลิต : Humboldt

รุ่น : H-3150



ภาพที่ 3.6 แสดงเครื่อง Gilmore needle

#### วิธีการทดสอบ

3.2.7.1 วัดค่าเวลาในการเริ่มก่อตัวของจีโอพอลิเมอร์โดยการยกเข็มฟิ่งเริ่มก่อตัวขึ้นแล้วนำชิ้นงานวางลงที่แท่นวาง

3.2.7.2 ปล่อยเข็มให้ปลายเข็มสัมผัสกับชิ้นงานจีโอพอลิเมอร์เบาๆและปล่อยมือ

3.2.7.3 ทำการจดบันทึกเวลาเมื่อปลายเข็มไม่สามารถกดผิวชิ้นงาน ให้เป็นรอย

เต็มวงกลมได้

3.2.7.4 วัดค่าเวลาสิ้นสุดการก่อตัวของจีโอพอลิเมอร์โดยทำการยกเข็มฟิ่งสิ้นสุด การก่อตัวขึ้น ทำข้อที่ 3.2.7.2 – 3.2.7.3

3.2.7.5 บันทึกผลการทดลองที่ได้แล้วนำผลไปวิเคราะห์ต่อไป

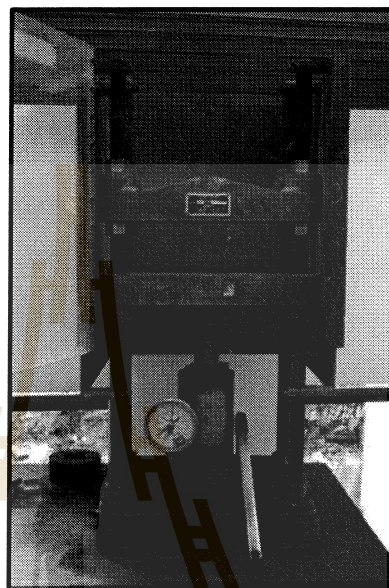
#### 3.2.8 การทดสอบกำลังรับแรงอัด

การทดสอบความแข็งแรงของจีโอพอลิเมอร์ โดยทดสอบกำลังรับแรงอัดของ ชิ้นงาน ตามมาตรฐาน ASTM C109/C109M โดยเครื่อง Uniaxial press ดังภาพที่ 3.7 เครื่องดังกล่าว เป็นเครื่องอัดไฮดรอลิกชนิดควบคุมด้วยมือ เมื่อชิ้นงานได้รับแรงอัดจนเกินกำลังรับแรงอัด ชิ้นงาน จะแตกออกจะบันทึกค่าแรงกดที่ทำให้ชิ้นงานแตก และนำค่ากำลังรับแรงอัดที่ได้ไปทำการวิเคราะห์ ผลต่อไป

เครื่องมือ : Uniaxial press

ผู้ผลิต : Carver

รุ่น : 2702



ภาพที่ 3.7 เครื่องมือ Uniaxial press

#### วิธีการทดสอบ

3.2.8.1 นำชิ้นงานตัวอย่างจีโอพอลิเมอร์ที่ต้องการทดสอบหาค่ากำลังรับแรงอัดจำนวนชิ้นงานสูตรละ 3 ชิ้นตัวอย่าง วางบริเวณจุดกึ่งกลางแผ่นพื้นด้านล่างแล้วทำการปิดฝาด้านหน้าเครื่องเพื่อป้องกันอันตรายจากการกระเด็นของเศษชิ้นงาน โดยทำการทดสอบครั้งละ 1 ชิ้นงาน

3.2.8.2 ยกคันโยกให้แผ่นพื้นด้านล่างเลื่อนขึ้นไปอัดชิ้นงานอย่างช้าๆ และสม่ำเสมอ

3.2.8.3 เมื่อชิ้นงานตัวอย่างเริ่มแตกและค่านบานเกจวัดคงที่ให้ทำการบันทึกค่ากำลังรับแรงอัดสูงสุดที่อัดได้

3.2.8.4 บันทึกผลการทดลองแล้วนำผลไปวิเคราะห์ต่อไป

วิธีการคำนวณค่ากำลังรับแรงอัดในหน่วยแมกปานาล (MPa) แสดงในสมการที่ (3.2)

$$fm = \frac{P}{A} \quad (3.2)$$

กำหนดให้

$fm$  คือ ค่ากำลังรับแรงอัดในหน่วย [MPa]

$P$  คือ ค่าแรงอัดสูงสุดในหน่วย [N]

$A$  คือ พื้นที่รับแรงของชิ้นงานตัวอย่างในหน่วย [ $\text{mm}^2$ ]

### 3.2.9 การวัดความหนาแน่น

ชิ้นงานตัวอย่างถูกวัดความหนาแน่นตามมาตรฐาน ASTM C373-88 วิธีการวัดความหนาแน่นมีดังต่อไปนี้

3.2.9.1 นำชิ้นงานตัวอย่างจิโอลอเลอร์ผ่านการบ่ำไป๋อบในตู้อบที่ตั้งอุณหภูมิไว้ 60 องศาเซลเซียส นาน 24 ชั่วโมง แล้วจึงนำไปชั่งน้ำหนักแห้ง ( $W_D$ )

3.2.9.2 นำชิ้นงานแช่ลงในน้ำกลั่นแล้วนำไปชั่งน้ำหนักเพื่อไล่ออกจากชิ้นงานเป็นเวลา 6-12 ชั่วโมงและเพื่อให้น้ำแทรกซึมเข้าไปภายในชิ้นงานโดยควบคุมให้น้ำท่วมชิ้นงานตลอดเวลา

3.2.9.3 นำชิ้นตัวอย่างในข้อที่ 3.2.9.2 มาทำการซั่งน้ำหนักขณะลอยในน้ำ ( $W_{ss}$ ) และซั่งน้ำหนักอ้อมตัวด้วยน้ำ ( $W_s$ ) โดยใช้ผ้าซับน้ำบริเวณพิવากยนอกของชิ้นงานออกแล้วจึงทำการซั่งน้ำหนัก

3.2.9.4 นำผลที่ได้ไปคำนวณค่าความหนาแน่น ดังสมการที่ (3.3)

เมื่อ  $V$  คือปริมาตรของตัวอย่าง

$$V = W_s - W_{ss}$$

สมการคำนวณความหนาแน่นของตัวอย่าง

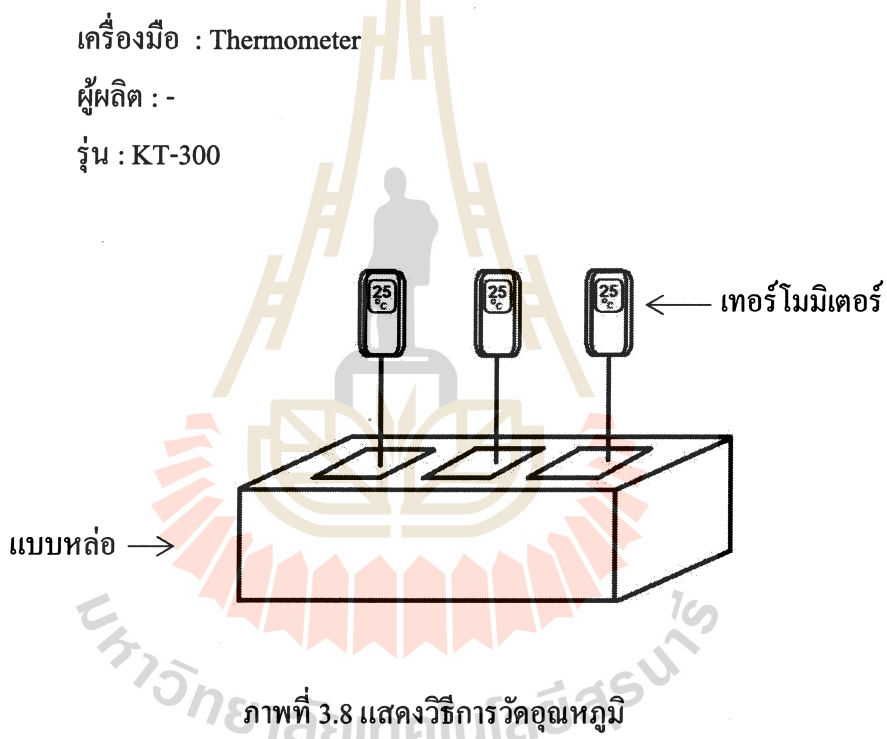
$$\text{Bulk density} = \frac{W_D}{(W_s - W_{ss})} \quad (3.3)$$

### 3.2.10 การศึกษาผลของการเติมปูนซีเมนต์ปอร์ตแลนด์ต่อสมบัติของจีโอพอลิเมอร์

ส่วนผสมของจีโอพอลิเมอร์ที่มีค่ากำลังรับแรงอัดสูงสุดจะถูกเลือกเพื่อนำมาเติมปูนซีเมนต์ปอร์ตแลนด์ในปริมาณร้อยละ 5,10 และ 15 โดยน้ำหนัก จากนั้นวัสดุจีโอพอลิเมอร์ดังกล่าวจะถูกนำไปทดสอบการก่อตัวดังอธิบายในหัวข้อ 3.2.7 รวมถึงทดสอบสมบัติค่ากำลังรับแรงอัดและความหนาแน่น ดังอธิบายในหัวข้อ 3.2.8 และ 3.2.9 ตามลำดับ

### 3.2.11 การทดสอบอุณหภูมิที่เกิดขึ้นระหว่างการก่อตัวของจีโอพอลิเมอร์

การวัดอุณหภูมิในการก่อตัวของจีโอพอลิเมอร์สำหรับชิ้นงานตัวอย่างที่เติมปูนซีเมนต์ปอร์ตแลนด์ปริมาณร้อยละ 5,10 และ 15 โดยน้ำหนัก ด้วยเทอร์โมมิเตอร์(Thermometer) วิธีวัดอุณหภูมิดังแสดงในภาพที่ 3.8



#### วิธีการวัดอุณหภูมิ

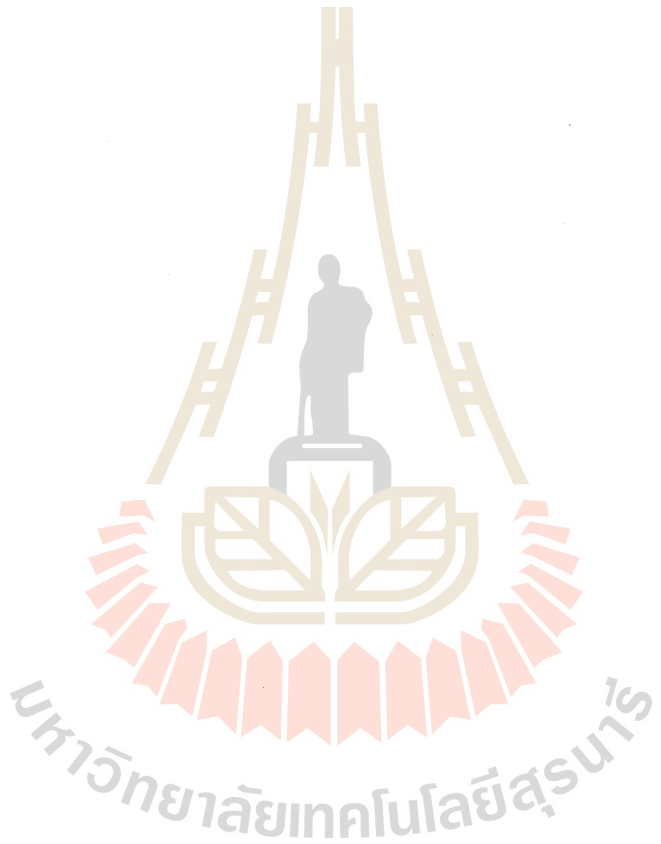
3.2.11.1 วัดอุณหภูมิของจีโอพอลิเมอร์โดยการวางเข็มของเทอร์โมมิเตอร์ให้สัมผัสกับชิ้นงาน

3.2.11.2 ดันปลายเข็มเทอร์โมมิเตอร์ให้เข้าไปอยู่ภายในกึ่งกลางของชิ้นงานโดยทำการวัดอุณหภูมิ ตัวอย่างสูตรละ 3 ชิ้นงาน

3.2.11.3 ทำการบันทึกอุณหภูมิที่เวลาต่างๆแล้วนำผลไปวิเคราะห์ต่อไป

### 3.2.12 การตรวจสอบโครงสร้างจุลภาคของจีโอพอลิเมอร์

วัสดุจีโอพอลิเมอร์จะถูกทำการตรวจสอบพื้นผิวรอยแตก (Fracture face) โดยการหักชิ้นงานแล้วนำไปตรวจสอบโครงสร้างจุลภาคด้วยกล้องจุลทรรศน์อิเล็กตรอนแบบส่องกราดโดยมีวิธีการดังข้อบัญญัติในข้อที่ (3.2.4)



## บทที่ 4

### ผลการทดสอบและอภิปรายผล

#### 4.1 ผลการวิเคราะห์ห้องค์ประกอบทางเคมีของถ้าลอยและแคลไชน์เกาลิน

ผลการศึกษาของค์ประกอบทางเคมีของถ้าลอยและแคลไชน์เกาลินด้วยเอ็กซ์เรย์ฟลูออเรสเซนต์ (X-ray fluorescence, XRF) แสดงในตารางที่ 4.1 จากผลการทดสอบพบว่าถ้าลอยมีซิลิกาและอะลูมินาเป็นองค์ประกอบหลัก โดยมีปริมาณซิลิกาและอะลูมินาเป็นองค์ประกอบร้อยละ 33.19 และ 19.68 ตามลำดับถ้าลอยซึ่งมีอะลูมินาและซิลิกาเป็นองค์ประกอบในสัดส่วนดังกล่าวจัดอยู่ในชั้นคุณภาพซี (Class C) ตามมาตรฐาน ASTM C618

แคลไชน์เกาลินหลังผ่านการเผาที่อุณหภูมิ 600 องศาเซลเซียสเป็นเวลา 3 ชั่วโมง มีซิลิกาและอะลูมินาเป็นองค์ประกอบร้อยละ 49.40 และ 48.48 ตามลำดับ ด้วยการผสมแคลไชน์เกาลินกับถ้าลอยจะส่งผลให้สามารถควบคุมปริมาณอัตราส่วนระหว่างซิลิกอน (Si) ต่ออะลูมิเนียม (Al) ให้อยู่ในช่วงที่เหมาะสมต่อการใช้งาน เนื่องจากอัตราส่วนดังกล่าวส่งผลโดยตรงต่อสมบัติของจีโอพอลิเมอร์ เช่น ความแข็งแรง ระยะเวลาในการก่อตัว และปริมาณรูพรุน เป็นต้น

ตารางที่ 4.1 แสดงผลการวิเคราะห์ห้องค์ประกอบทางเคมีของวัตถุคิดด้วยเอ็กซ์เรย์ฟลูออเรสเซนต์

วัตถุคิด	องค์ประกอบทางเคมี (ร้อยละ โดยน้ำหนัก)										
	Al <sub>2</sub> O <sub>3</sub>	SiO <sub>2</sub>	K <sub>2</sub> O	Na <sub>2</sub> O	CaO	MgO	Fe <sub>2</sub> O <sub>3</sub>	TiO <sub>2</sub>	SO <sub>3</sub>	CdO	Etc.
แคลไชน์ เกาลิน	48.48	49.40	0.99	0.08	0.01	0.12	0.68	0.03	0.04	-	0.17
ถ้าลอย*	19.68	33.19	2.29	2.40	11.93	4.43	10.65	0.76	3.86	9.76	1.05

ถ้าลอย จาก บริษัท ดีบบีล ออ (1991) จำกัด (มหาชน)

#### 4.2 ผลการวิเคราะห์ลักษณะรูปร่างของถ้าโลย

อนุภาคของถ้าโลยซึ่งถูกถ่ายด้วยกล้องจุลทรรศน์อิเล็กตรอนแบบส่องกราด (Scanning electron microscopy, SEM) แสดงในภาพที่ 4.1 ลักษณะอนุภาคของถ้าโลยโดยส่วนใหญ่มีรูปร่างไม่สม่ำเสมอ (Irregular) และอนุภาคบางส่วนมีลักษณะเป็นทรงกลม (Sphere) โดยทั่วไปแล้วถ้าโลยที่สามารถทำปฏิกิริยากับสารละลายค่างเพื่อเปลี่ยนเป็นวัสดุจิวอพอลิติเมอร์ได้ต้นน้ำก็มีลักษณะอนุภาคเป็นทรงกลม (A. Fernandez-Jimenez, A. Palomo ,M. Criado, Fuel.,2003,2005)

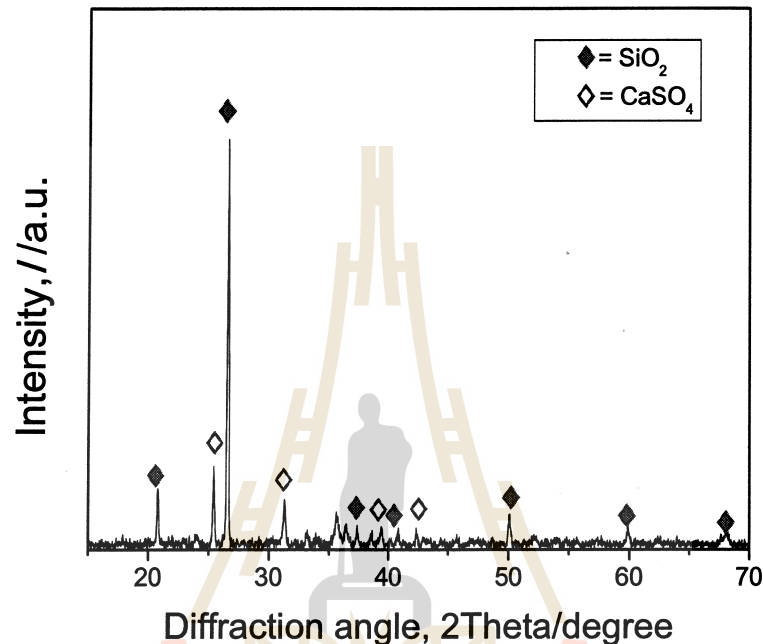


ภาพที่ 4.1 รูปร่างของถ้าโลยซึ่งถูกถ่ายด้วยกล้องจุลทรรศน์อิเล็กตรอนแบบส่องกราดกำลังขยาย 1000 เท่า

#### 4.3 ผลการวิเคราะห์องค์ประกอบทางเคมีของถ้าโลย และแคลไชน์เกอเลิน

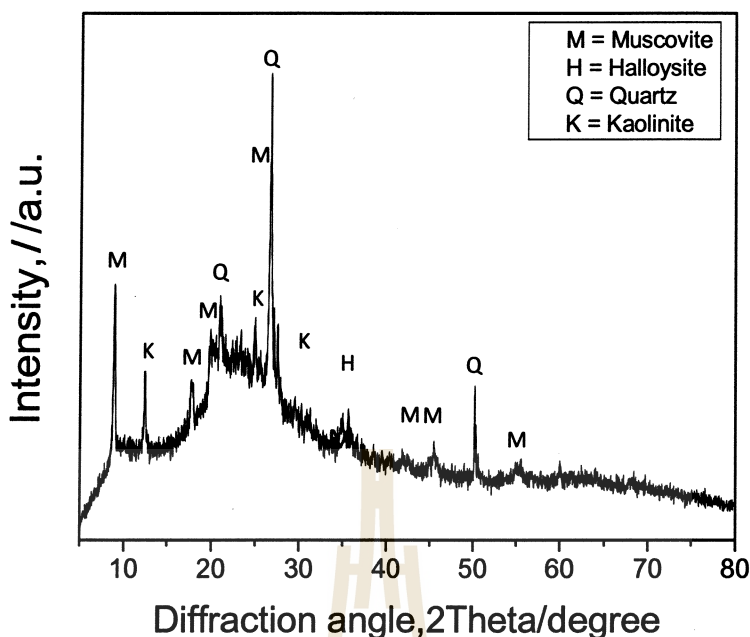
ภาพที่ 4.2 และ ภาพที่ 4.3 แสดงผลการวิเคราะห์องค์ประกอบทางเคมีของถ้าโลยและแคลไชน์เกอเลินด้วยเครื่องเอ็กซเรย์ดิฟแฟรค โตมิเตอร์ (X-ray diffractomiter,XRD) ตามลำดับจากภาพพบว่าถ้าโลยมีผลึกของควอตซ์และแคลเซียมชัลไฟต์ เป็นองค์ประกอบหลัก จากรูปร่างของถ้าโลย (ดังแสดงในภาพที่ 4.1) และผลของการวิเคราะห์ด้วยเครื่องเอ็กซเรย์ดิฟแฟรค โตมิเตอร์ แสดงให้เห็นว่า ถ้าโลยที่ใช้ในการทดลองนี้จัดอยู่ในกลุ่มถ้าโลยที่เกิดปฏิกิริยากับสารละลาย อัลคาไลด์ได้ยาก โดยทั่วไปแล้วถ้าโลยที่เกิดปฏิกิริยาได้ดีมักอยู่ในรูปอสัมฐาน (Amorphous) และอยู่ในรูปทรงกลม (บริษัทฯ จินดาประเสริฐ,2549) ในขณะที่ถ้าโลยที่เกิดปฏิกิริยาได้ยากมักมีรูปร่างไม่สม่ำเสมอและอยู่ในรูปผลึกเนื่องจากเตาที่ใช้ในการเผาต่านหินมีอุณหภูมิต่ำ ส่งผลให้อุณหภูมิไม่สูงพอที่จะทำให้ถ้าโลยถูกหลอมให้อยู่ในรูปอสัมฐาน

ในขณะที่รูปแบบพีกของแคลไซน์เกอลิน(ภาพที่ 4.3)แสดงลักษณะของสัมภาน(Amorphous) ประกอบไปด้วยมัสโคไวท์(Muscovite), แฟลโลไซต์(Halloysite), ควอตซ์(Quartz), และเกอลินไนท์(Kaolinite) ซึ่งเป็นรูปแบบที่แสดงถึงความพร้อมของแคลไซน์เกอลินในการทำปฏิกิริยากับสารละลายอัลคาไลน์(Alkaline solution) (กนกวรรณ และคณะ, 2533)



ภาพที่ 4.2 ผลวิเคราะห์ทางเพสของเกลอลอย

มหาวิทยาลัยเทคโนโลยีสุรนารี



ภาพที่ 4.3 ผลวิเคราะห์ทางเฟสของแคลไชน์เกาลิน

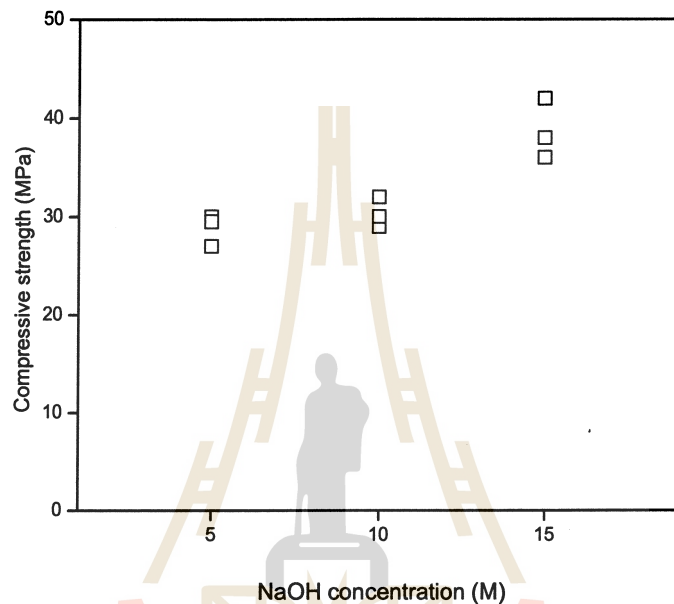
#### 4.4 ผลของความเข้มข้นของโซเดียมไฮดรอกไซด์ต่อค่ากำลังรับแรงอัดของจีโอพอลิเมอร์

การศึกษาผลความเข้มข้นของโซเดียมไฮดรอกไซด์ต่อสมบัติของจีโอพอลิเมอร์ ทุกตัวอย่าง จะถูกเตรียมด้วยสภาพควบคุมเดียวกัน ได้แก่ อัตราส่วนแคลไชน์เกาลินต่อถ้าโลยกี่ 50:50 โดยนำหนัก อัตราส่วนระหว่างสารละลายโซเดียมซิลิกेटต่อสารละลายโซเดียมไฮดรอกไซด์ที่ 1.5 อัตราส่วนของสารละลายที่ 1:1 เนื่องจากเป็นสัดส่วนที่เหมาะสมสมต่อการผสมและการขึ้นรูป ชิ้นงาน อุณหภูมิในการบ่มชิ้นงานที่ 60 องศาเซลเซียส เป็นระยะเวลา 7 วัน ตัวแปรดังกล่าวที่นำมาใช้ในการทดลองถูกอ้างอิงมาจากงานวิจัยที่ผ่านมาที่ส่งผลต่อสมบัติที่ดีของจีโอพอลิเมอร์ (ณัฐร์ นาฏ และคณะ, 2556, อาพากร พรนเพชร, 2556, ชринทร์ เสนาวงษ์, 2554, Abideng Hawa, 2556, Hai Yan Zhang, 2014) โดยการทดลองใช้ชิ้นงานตัวอย่างจำนวนสูตรละ 3 ชิ้น ในการทดสอบค่าต่างๆ

##### 4.4.1 ผลของความเข้มข้นของโซเดียมไฮดรอกไซด์ต่อค่ากำลังรับแรงอัดของจีโอพอลิเมอร์

ภาพที่ 4.4 แสดงความสัมพันธ์ระหว่างความเข้มข้นของสารละลายโซเดียมไฮดรอกไซด์ต่อค่ากำลังรับแรงอัดของจีโอพอลิเมอร์ กำลังรับแรงอัดของจีโอพอลิเมอร์มีแนวโน้มเพิ่มขึ้นเมื่อความเข้มข้นของสารละลายโซเดียมไฮดรอกไซด์มีค่าสูงขึ้น โดยความเข้มข้นของสารละลายโซเดียมไฮดรอกไซด์ 15 มอลาร์ให้ค่ากำลังรับแรงอัดเฉลี่ยสูงถึง 42 MPa เนื่องจาก

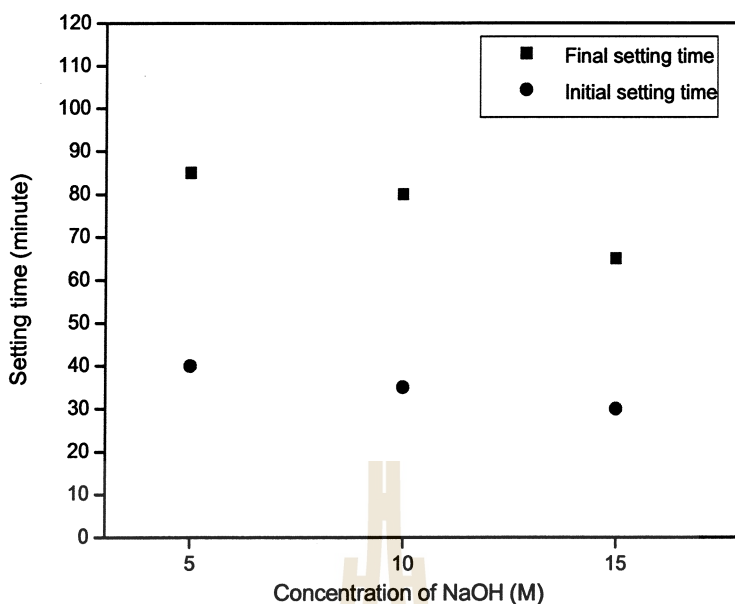
ความเข้มข้นของสารละลายโซเดียมไฮดรอกไซด์ที่สูงขึ้นส่งผลให้ความสามารถในการระล้างพันธะของซิลิกาและอะลูมินาจากสารตั้งต้น (ถ้าโดยผสมแคลไนน์เกาลิน) ให้แตกตัวเป็นไอออนของซิลิกอนและอะลูมิเนียมได้มากขึ้น (Ekkasit, N., 2016) ทำให้ปฏิกริยาจีโอโพลิเมอร์ไรเซชันเกิดได้ขึ้น จากนั้นโซเดียมซิลิกेटจะทำหน้าที่ในการจัดเรียงพันธะใหม่ทำให้เกิดการก่อตัวเป็นจีโอโพลิเมอร์ขึ้น



ภาพที่ 4.4 แสดงผลของความเข้มข้นของโซเดียมไฮดรอกไซด์ต่อค่ากำลังรับแรงอัดของจีโอโพลิเมอร์

#### 4.4.2 ผลความเข้มข้นของโซเดียมไฮดรอกไซด์ต่อเวลาการก่อตัวของจีโอโพลิเมอร์

ความสัมพันธ์ระหว่างความเข้มข้นของสารละลายโซเดียมไฮดรอกไซด์ต่อเวลาการก่อตัวของจีโอโพลิเมอร์แสดงในภาพที่ 4.5 เมื่อความเข้มข้นของสารละลายโซเดียมไฮดรอกไซด์เพิ่มมากขึ้น ระยะเวลาในการก่อตัวมีแนวโน้มที่ลดลง เนื่องจากสารละลายโซเดียมไฮดรอกไซด์ที่มีความเข้มข้นสูง ส่งผลให้กระบวนการแตกตัว หรือ ความสามารถในการระลายน้ำ ไอออนของซิลิกอนและอะลูมิเนียมได้ดีขึ้น (ปริญญา จินดาประเสริฐ และคณะ, 2005) ส่งผลให้อะลูมิเนียมไอออนและซิลิกอนไอออนมีปริมาณมากขึ้น ทำให้กระบวนการจัดเรียงตัวเพื่อสร้างพันธะใหม่เป็นไปได้อย่างรวดเร็ว (บุรณัตร ฉัตรวีระ และคณะ, 2555) เวลาในการก่อตัวของจีโอโพลิเมอร์จึงลดลง



ภาพที่ 4.5 แสดงผลของการเปลี่ยนแปลงของเวลาในการก่อตัวของจีโอพอลิเมอร์

#### 4.5 ผลของการเปลี่ยนแปลงสารละลายโซเดียมซิลิกเกตต่อสารละลายโซเดียมไฮดรอกไซด์ ต่อบนบดของจีโอพอลิเมอร์

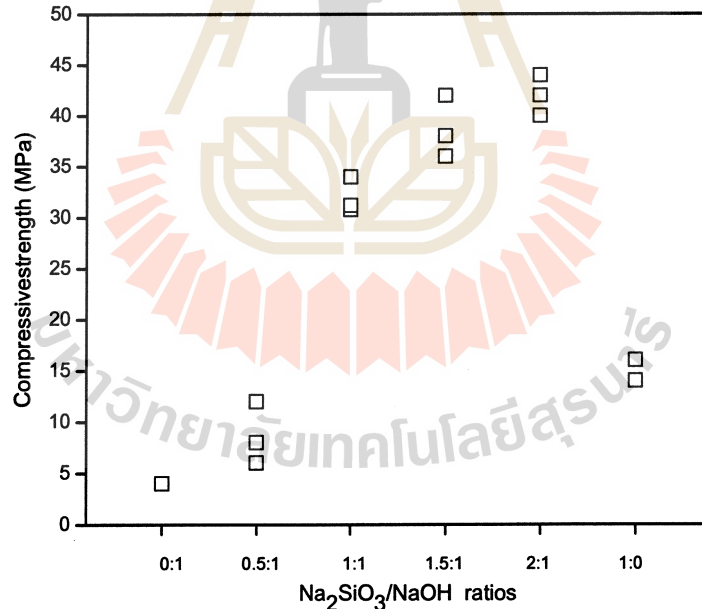
การศึกษาบนบดของจีโอพอลิเมอร์จากถ้วยโดยการปรับเปลี่ยนอัตราส่วนของสารละลายโซเดียมซิลิกเกตต่อสารละลายโซเดียมไฮดรอกไซด์ และทำการควบคุมตัวแปรอื่นๆ ที่จะส่งผลต่อสมบัติทางกลของ จีโอพอลิเมอร์ ใน การศึกษาสภาพวัสดุต่างๆ ได้ทำการควบคุมตัวแปรอื่นที่มีผลต่อสมบัติของจีโอพอลิเมอร์ให้คงที่ โดยทำการควบคุมอัตราส่วนแคลไนน์เกลินต่อถ้วยอยู่ที่ 50:50 โดยน้ำหนัก (อ้างอิงจากการวิจัยที่ผ่านมา) ควบคุมความเข้มข้นของสารละลายโซเดียมไฮดรอกไซด์ที่ 15 มิลลิตร (อ้างอิงจากการทดลองในข้อ 4.4) อัตราส่วนผงต่อสารละลายที่ 1:1 (อ้างอิงจากงานวิจัยที่ผ่านมา) และอุณหภูมิในการบ่มชี๊งงานที่ 60 องศาเซลเซียส เป็นระยะเวลา 7 วัน ทุกชี๊งงาน (อ้างอิงจากการวิจัยที่ผ่านมา) โดยการทดลองใช้ชี๊งงานตัวอย่างจำนวนสูตรละ 3 ชี๊ง ใน การทดสอบค่าต่างๆ

##### 4.5.1 ผลของการเปลี่ยนแปลงสารละลายโซเดียมซิลิกเกตต่อสารละลายโซเดียมไฮดรอกไซด์ต่อกำลังรับแรงอัดของจีโอพอลิเมอร์

เมื่ออัตราส่วนระหว่างโซเดียมซิลิกเกตต่อโซเดียมไฮดรอกไซด์สูงขึ้น (โซเดียมซิลิกเกตเพิ่มขึ้น) ส่งผลให้กำลังรับแรงอัดของจีโอพอลิเมอร์สูงขึ้น ดังแสดงในภาพที่ 4.6 บทบาทของโซเดียมซิลิกเกตในกระบวนการจีโอพอลิเมอร์ไรซ์เซ็นทริฟิวชันคือ ที่ทำหน้าที่เป็นตัวเชื่อมประสาน (Binder)

เพื่อสร้างสายโซ่จิโอโพลิเมอร์ (Geopolymer chain) (S.E. Wallah and B.V. Rangan, 2006) การเพิ่มปริมาณสารละลายน้ำเดี่ยมซิลิกาต์ให้ตัวเขื่อนปราสาทพันธะเพิ่มมากขึ้นจึงสามารถเขื่อนปราสาทพันใหม่ได้ดีและสร้างความแข็งแรงให้กับพันธะรวมถึงทำให้กระบวนการจิโอโพลิเมอร์ไร้เชื้อโรคได้ดีขึ้น ส่งผลให้กำลังรับแรงอัดของจิโอโพลิเมอร์สูงขึ้น

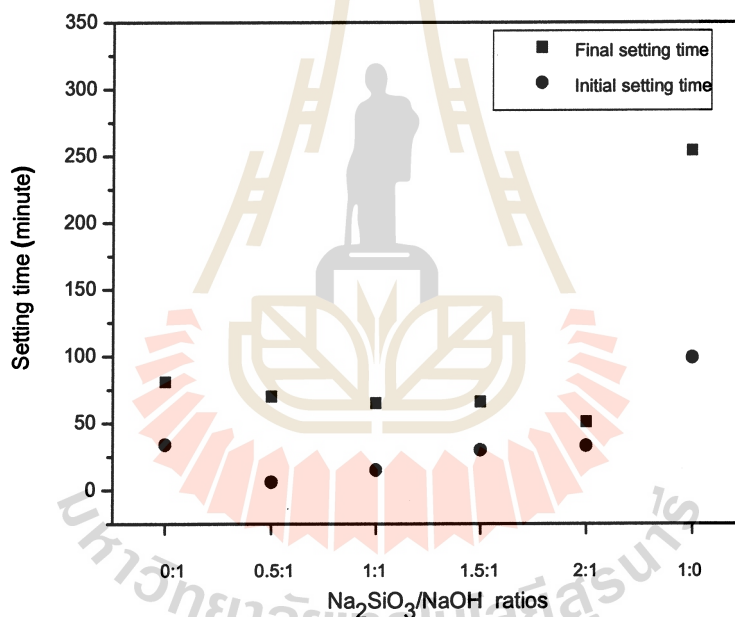
อย่างไรก็ตาม จิโอโพลิเมอร์มีค่ากำลังรับแรงอัดลดลงอย่างเห็นได้ชัดเมื่อใช้โซเดียมซิลิกาต์หรือสารละลายน้ำเดี่ยมไฮดรอกไซด์เพียงลำพัง (อัตราส่วนระหว่างโซเดียมซิลิกาต์ต่อโซเดียมไฮดรอกไซด์เท่ากับ 1:0 และ 0:1 ตามลำดับ) เนื่องจากเมื่อขาดโซเดียมไฮดรอกไซด์จะส่งผลให้กระบวนการจิโอโพลิเมอร์ไร้เชื้อนขาดสารที่ทำหน้าที่ในการแยกไออกอนของซิลิกอนและอะลูมิเนียม ในทำงเดียวกัน เมื่อใช้สารละลายน้ำเดี่ยมไฮดรอกไซด์เพียงอย่างเดียว กระบวนการจิโอโพลิเมอร์ไร้เชื้อนก็จะขาดสารที่ทำหน้าที่ในการเขื่อนปราสาทไออกอนของซิลิกอนและอะลูมิเนียมเพื่อให้เกิดพันธะใหม่ ดังนั้นการที่จะได้วัสดุจิโอโพลิเมอร์ที่ให้ค่ากำลังรับแรงอัดสูงจึงต้องใช้สารละลายน้ำเดี่ยมไฮดรอกไซด์ร่วมกับโซเดียมซิลิกาต์ ไม่สามารถใช้สารละลายนินิคได้นิคหนึ่งตามลำพัง



ภาพที่ 4.6 แสดงความสัมพันธ์ระหว่างอัตราส่วนสารละลายน้ำเดี่ยมซิลิกาต์ต่อสารละลายน้ำเดี่ยมไฮดรอกไซด์กับกำลังรับแรงอัด

#### 4.5.2 ผลของอัตราส่วนระหว่างสารละลายโซเดียมซิลิกเกตต่อสารละลายโซเดียมไฮดรอกไซด์ต่อเวลาการก่อตัวของจีโอพอลิเมอร์

ความสัมพันธ์ระหว่างอัตราส่วนสารละลายโซเดียมซิลิกเกตต่อสารละลายโซเดียมไฮดรอกไซด์กับเวลาในการก่อตัวของจีโอพอลิเมอร์แสดงในภาพที่ 4.7 เวลาในการก่อตัวของจีโอพอลิเมอร์สัมพันธ์กับการเกิดกระบวนการจีโอพอลิเมอร์ไรเรชัน ซึ่งอาศัยโซเดียมไฮดรอกไซด์ทำหน้าที่เป็นตัวชัคலายอะลูมิเนียมและซิลิกอนจากสารตั้งต้น (ถ้าลองผสมกับดินขาวเผา) และใช้โซเดียมซิลิกเกตทำหน้าที่เป็นตัวเชื่อมประสานก่อให้เกิดพันธะใหม่ จากผลการทดลองพบว่าหากขาดสารข้างต้นตัวใดตัวหนึ่งจะส่งผลให้จีโอพอลิเมอร์ใช้เวลาในการก่อตัวนานในทางกลับกัน เมื่อใช้สารละลายทั้งสองร่วมกันเวลาที่ใช้ในการก่อตัวมีแนวโน้มที่ลดลง ซึ่งสอดคล้องกับงานวิจัยที่ผ่านมา (Eslam Gomaa,et al., 2017,P.Duxson et al., 2007, Ekkasit N., 2016)



ภาพที่ 4.7 แสดงความสัมพันธ์ระหว่างอัตราส่วนสารละลายโซเดียมซิลิกเกตต่อสารละลายโซเดียมไฮดรอกไซด์กับเวลาในการก่อตัวของจีโอพอลิเมอร์

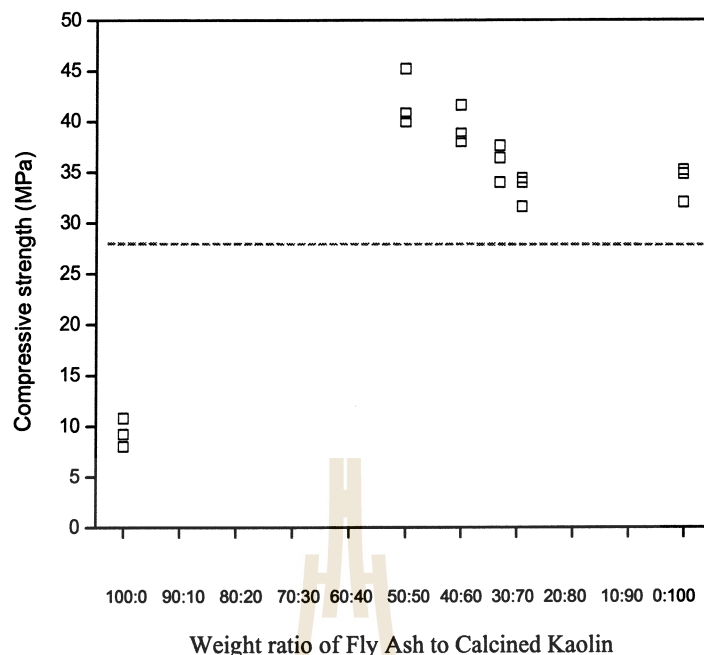
#### 4.6 ผลการแทนที่ถ้าลองด้วยแกลไชน์กาวินต์สนับดึงของจีโอพอลิเมอร์

ตัวอย่างทุกตัวอย่างถูกเตรียมด้วยสภาวะควบคุมเดียวกันอันได้แก่ ความเข้มข้นของสารละลายโซเดียมไฮดรอกไซด์มีค่าเท่ากับ 15 มิลลาร์ (อ้างอิงค์จากผลการทดลองข้อ 4.4) อัตราส่วนระหว่างสารละลายโซเดียมซิลิกเกตต่อสารละลายโซเดียมไฮดรอกไซด์มีค่าเท่ากับ 2:1 (อ้างอิงค์จากผลการทดลองข้อ 4.5) อัตราส่วนผงวัตถุดับต่อสารละลายมีค่าเท่ากับ 1:1 (อ้างอิงค์จาก

งานวิจัยที่ผ่านมา) ทุกตัวอย่างถูกบ่มที่อุณหภูมิ 60 องศาเซลเซียส เป็นระยะเวลา 7 วัน โดยการทดลองใช้ชิ้นงานตัวอย่างจำนวนสูตรละ 3 ชิ้น ในการทดสอบค่าต่างๆ

#### 4.6.1 ผลของการแทนที่ถ้าloyด้วยแคลไชน์เกอลินต่อค่ากำลังรับแรงอัดของจีโอพอลิเมอร์

ค่ากำลังรับแรงอัดของจีโอพอลิเมอร์ แสดงในภาพที่ 4.8 เมื่อใช้ถ้าloy 100 % เป็นวัตถุดินในการขึ้นรูปจีโอพอลิเมอร์พบว่าค่าความแข็งแรงของชิ้นงานมีค่าเท่ากับ 9 MPa ซึ่งค่าดังกล่าวต่ำกว่าค่าความแข็งแรงขั้นต่ำของปูนซีเมนต์ปอร์ตแลนด์ประเภทที่หนึ่ง ซึ่งมีค่ากำลังรับแรงอัดหลังบ่ม 7 วันเท่ากับ 28 MPa หากใช้แคลไชน์เกอลินเพียงอย่างเดียว 100 % หลังการทดสอบหาค่ากำลังแรงรับอัดวัดค่าได้ 34 MPa กำลังรับแรงอัดของจีโอพอลิเมอร์มีแนวโน้มเพิ่มขึ้น เมื่อแทนที่ถ้าloyด้วยแคลไชน์เกอลินในบริಮารั้อยละ 50 โดยน้ำหนัก (ค่ากำลังรับแรงอัดมีค่าเฉลี่ยที่ 42 MPa) เนื่องจาก แคลไชน์เกอลินสามารถเกิดปฏิกิริยากับสารละลายค่างวดได้ดี ส่งผลให้การเกิดปฏิกิริยาจีโอพอลิเมอร์เร็วขึ้น (Zuhua et al., 2014) อีกทั้งการแทนที่ถ้าloyด้วยแคลไชน์เกอลินยังมีผลในการปรับสัดส่วนระหว่างซิลิกอนต่ออะลูมิเนียม ( $\text{Si} : \text{Al}$ ) ให้มีค่าเข้าใกล้อัตราส่วน 2:1 ถึง 3:1 (ดังแสดงในตารางที่ 4.2) ซึ่งเป็นสัดส่วนที่ส่งผลให้จีโอพอลิเมอร์มีค่ากำลังรับแรงอัดที่สูง (สมิตร และคณะ, 2551, Davidovits., 1988) อย่างไรก็ตาม เมื่อแทนที่ถ้าloyด้วยแคลไชน์เกอลินเกินกว่าร้อยละ 50 โดยน้ำหนัก ค่ากำลังรับแรงอัดของจีโอพอลิเมอร์มีแนวโน้มลดลง เนื่องจากสัดส่วนระหว่างซิลิกอนต่ออะลูมิเนียมมีแนวโน้มลดลง อาจเกิดสัดส่วนที่ไม่เหมาะสม (สัดส่วนที่เหมาะสมคือ 2:1) จึงทำให้ค่ากำลังรับแรงอัดที่ได้มีค่าลดลง การเติมแคลไชน์เกอลินในถ้าloyเท่ากับร้อยละ 70 โดยน้ำหนักพบว่าค่ากำลังรับแรงอัดมีค่าใกล้เคียงกับการใช้แคลไชน์เกอลินเพียงอย่างเดียว 100 % อาจเนื่องมาจากสัดส่วนซิลิกอนต่ออะลูมิเนียมของถ้าloyที่เติมแคลไชน์เกอลินร้อยละ 70 โดยน้ำหนักมีค่าใกล้เคียงกันจึงทำให้ค่ากำลังรับแรงอัดมีค่าต่างกันไม่มาก



ภาพที่ 4.8 ค่ากำลังรับแรงอัดของจีโอพอลิเมอร์ที่มีการแทนที่ถ้าloyด้วยแคลไชน์เกาลินในปริมาณต่างๆ และ -----คือค่ากำลังรับแรงอัดปูนซีเมนต์ปอร์ตแลนด์ที่อุณหภูมิห้อง

\*ตารางที่ 4.2 แสดงผลการคำนวณอัตราส่วน Si/Al

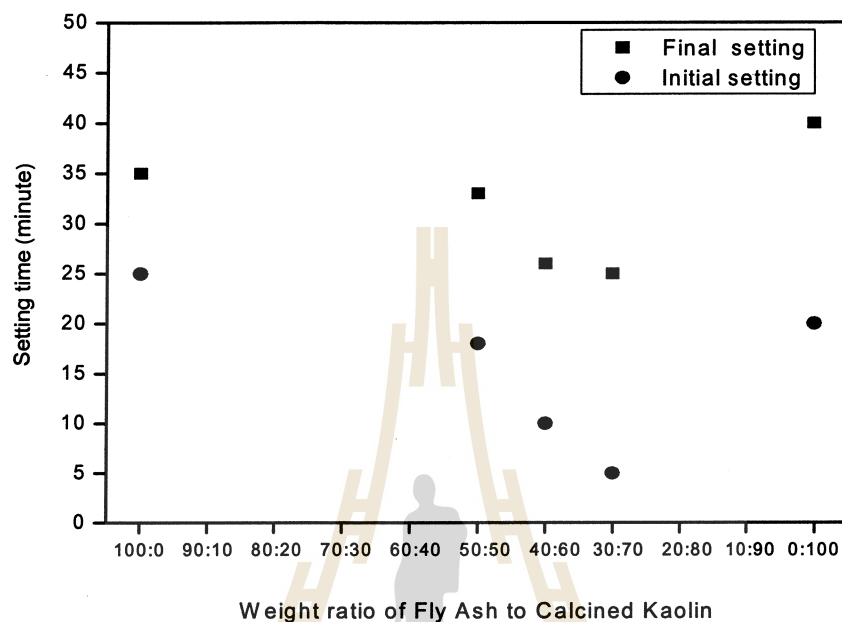
Composition (Weight%)		Si/Al ratio
Fly Ash	Calcine kaolin	
100	0	2.4
50	50	1.6
40	60	1.5
30	70	1.4
0	100	1.3

\* รายละเอียดคำนวณแสดงในภาคผนวก ข

#### 4.6.2 ผลการแทนที่ถ้าloyด้วยแคลไชน์เกาลินต่อเวลาการก่อตัวของจีโอพอลิเมอร์

ภาพที่ 4.9 แสดงเวลาในการก่อตัวของจีโอพอลิเมอร์จากภาพพบว่าเมื่อปริมาณแคลไชน์เกาลินเพิ่มขึ้น เวลาในการก่อตัวมีแนวโน้มลดลง เนื่องจากสัดส่วนระหว่างซิลิกอนต่ออะลูมิเนียมส่งผลโดยตรงต่อเวลา การก่อตัวของจีโอพอลิเมอร์ (E. Nimwinya et al., 2016) จากตารางที่ 4.2 พบว่าเมื่อปริมาณการแทนที่แคลไชน์เกาลินเพิ่มมากขึ้นส่งผลให้สัดส่วนระหว่าง

ซิลิกอนต่ออะลูมิเนียมมีแนวโน้มลดลง แนวโน้มดังกล่าวส่งผลให้ระยะเวลาการก่อตัวของจีโอโพลิเมอร์ลดลง เนื่องจากการควบแน่นของพันธะระหว่างซิลิกเกตกับอะลูมิเนตใช้เวลาในการควบแน่นเร็วกว่าพันธะระหว่างซิลิกเกตกับซิลิกเกต (P. Chindaprasirt, et al., 2012)



ภาพที่ 4.9 แสดงเวลาในการก่อตัวของจีโอโพลิเมอร์ที่มีการแทนที่ด้วยเคลไนน์เกลินในปริมาณต่างๆ

#### 4.7 ผลการแทนที่ผงจีโอโพลิเมอร์ด้วยปูนซีเมนต์ปอร์ตแลนด์ต่อสมบัติของจีโอโพลิเมอร์

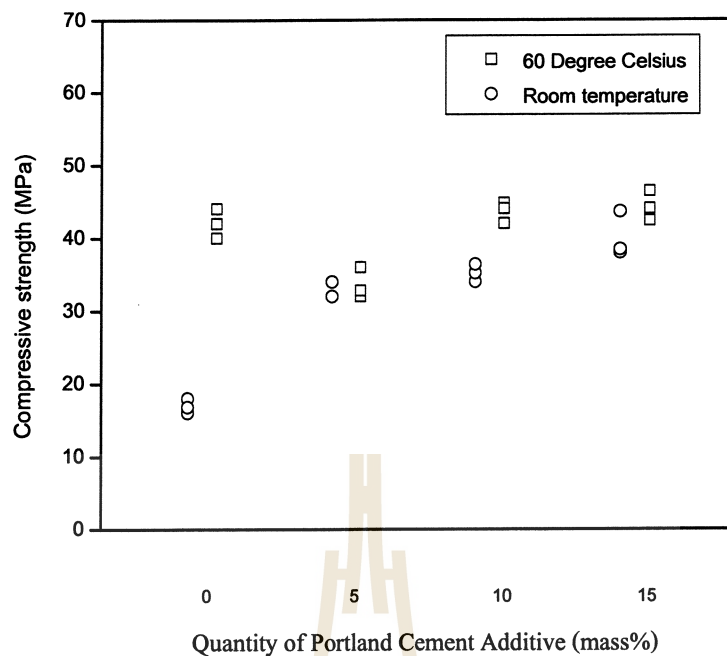
ผลของการแทนที่ด้วยปูนซีเมนต์ปอร์ตแลนด์ต่อค่ากำลังรับแรงอัดของจีโอโพลิเมอร์ถูกแสดงในภาพที่ 4.10 โดยทำการเติมปูนซีเมนต์ปอร์ตแลนด์ในตัวอย่างบ่มที่อุณหภูมิ 60 องศาเซลเซียสและตัวอย่างบ่มที่อุณหภูมิห้อง ตัวอย่างทุกตัวอย่างถูกเตรียมด้วยสภาพควบคุมเดียวกันอันได้แก่ อัตราส่วนระหว่างเคลไนน์เกลินต่อถ้าโลยเท่ากับ 50:50 ความเข้มข้นของสารละลายโซเดียมไฮดรอกไซด์มีค่าเท่ากับ 15 มอลาร์ อัตราส่วนระหว่างสารละลายโซเดียมซิลิกเกตต่อสารละลายโซเดียมไฮดรอกไซด์มีค่าเท่ากับ 2:1 อัตราส่วนผงวัตถุคิดต่อสารละลายมีค่าเท่ากับ 1:1 ก่อนการทดสอบค่ากำลังรับแรงอัดตัวอย่างจะผ่านการบ่มที่อุณหภูมิ 60 องศาเซลเซียส และอุณหภูมิห้อง (ตัวอย่างถูกทำทึ้งสองอุณหภูมิ) เป็นระยะเวลา 7 วัน

#### 4.7.1 ผลของการเติมปูนซีเมนต์ปอร์ทแลนด์ต่อค่ากำลังรับแรงอัดและเวลาการก่อตัวของจีโอพอลิเมอร์

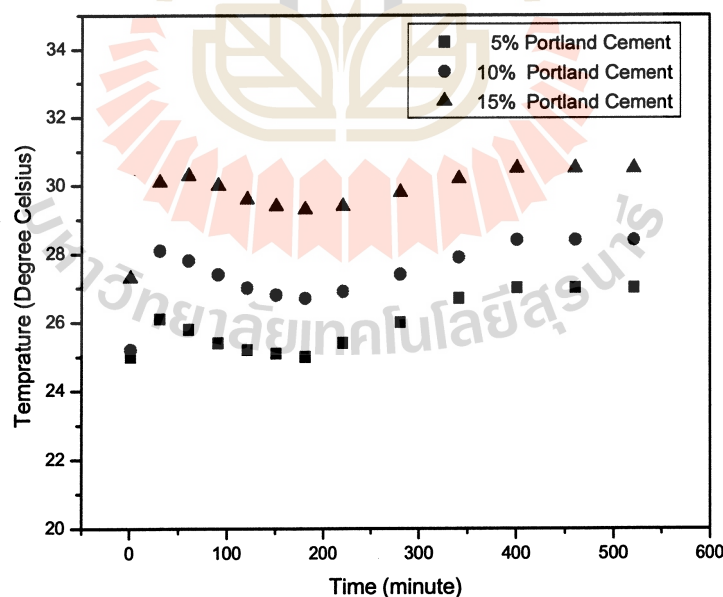
ภาพที่ 4.10 แสดงผลการเติมปูนซีเมนต์ปอร์ทแลนด์ต่อกำลังแรงอัดของจีโอพอลิเมอร์หลังการบ่มที่อุณหภูมิ 60 องศาเซลเซียส และบ่มที่อุณหภูมิห้อง เป็นเวลา 7 วัน ค่า กำลังรับแรงอัดของจีโอพอลิเมอร์มีแนวโน้มเพิ่มขึ้น เมื่อปริมาณการเติมปูนซีเมนต์ปอร์ทแลนด์เพิ่มขึ้น การเติมปูนซีเมนต์ปอร์ทแลนด์ส่งผลให้แคลเซียมจากปูนซีเมนต์ปอร์ทแลนด์เกิดปฏิกิริยา กับซิลิกาและอะลูมินา (จากแคลไซน์เกาลินและເສົາລອຍ) ก่อให้เกิดสารประกอบแคลเซียมซิลิกेट ไฮเดรต (Calcium silicate hydrate) และแคลเซียมอะลูมิโนซิลิกेट ไฮเดรต (Calcium aluminosilicate hydrate) คล้ายคลึงกับปฏิกิริยาไฮเดรชันของปูนซีเมนต์ ซึ่งสารประกอบแคลเซียมซิลิกेट ไฮเดรตและแคลเซียมอะลูมิโนซิลิกेट ไฮเดรต จะช่วยส่งเสริมให้จีโอพอลิเมอร์มี กำลังรับแรงอัดสูงขึ้น อย่างไรก็ตามในการทดลองพบว่าการเติมปูนซีเมนต์ปอร์ทแลนด์เพียงร้อยละ 5 โดยน้ำหนัก จะส่งผลต่อ กำลังรับแรงอัดของจีโอพอลิเมอร์ที่บ่มอุณหภูมิ 60 องศาเซลเซียส มีค่า ใกล้เคียงกับการบ่มที่อุณหภูมิห้องอาจเป็นผลมาจากการอุณหภูมิจากปฏิกิริยาของปูนซีเมนต์ช่วยบ่ม จีโอพอลิเมอร์จากภายในจึงเร่งการเกิดปฏิกิริยาจีโอพอลิเมอร์ที่บ่มที่อุณหภูมิห้อง ในขณะที่ จีโอพอลิเมอร์ที่อุณหภูมิ 60 องศาเซลเซียสมีความต้องการอุณหภูมิในการบ่มเพียงพอแล้ว ดังนั้น อุณหภูมิจากปฏิกิริยาของปูนซีเมนต์จึงมีผลกับการเกิดปฏิกิริยาค่อนข้างน้อย

นอกจากนี้ปฏิกิริยาไฮเดรชันของปูนซีเมนต์เป็นปฏิกิริยาความร้อน (Exothermic) ส่งผลให้อุณหภูมิของจีโอพอลิเมอร์ที่บ่ม ณ อุณหภูมิห้องมีแนวโน้มสูงขึ้นตามปริมาณปูนซีเมนต์ที่เพิ่มขึ้น ดังแสดงในภาพที่ 4.11 จากภาพแสดงให้เห็นว่าอุณหภูมิจะก่อตัวของจีโอพอลิเมอร์นั้น มีลักษณะคล้ายคลึงกับการความร้อนจากปฏิกิริยาไฮเดรชันของปูนซีเมนต์ อุณหภูมิที่สูงขึ้นดังกล่าวช่วยให้การเกิดปฏิกิริยาจีโอพอลิเมอร์เร็วขึ้นกิดได้ดีขึ้น ส่งผลให้ค่า กำลังรับแรงอัดของ จีโอพอลิเมอร์สูงขึ้น ยิ่งไปกว่านี้อุณหภูมิที่เพิ่มขึ้นอันเนื่องมาจากการปฏิกิริยาไฮเดรชันของปูนซีเมนต์ยังส่งผลให้เวลาการก่อตัวของจีโอพอลิเมอร์ลดลงดังแสดงในภาพที่ 4.12

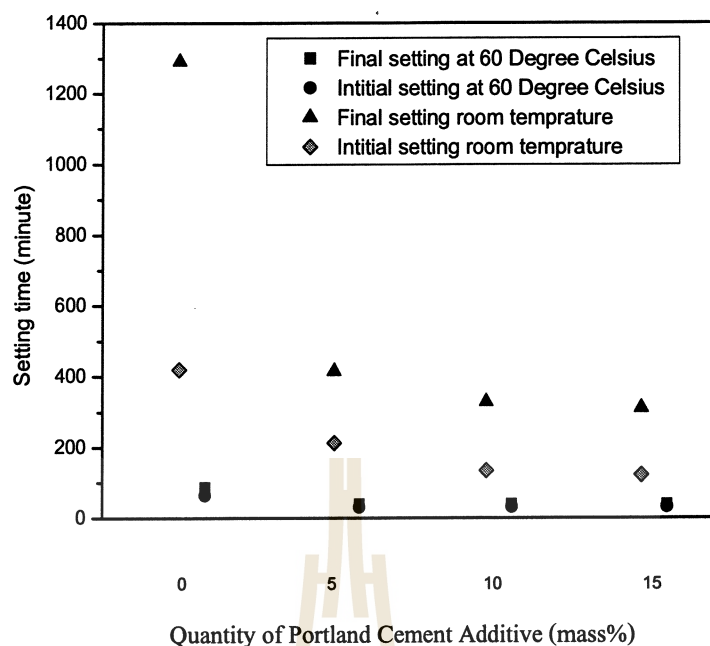
การวัดอุณหภูมิภายในชิ้นงานดังแสดงในภาพที่ 4.11 จะช่วยอธิบายเหตุผลที่ทำให้จีโอพอลิเมอร์สามารถบ่มที่อุณหภูมิห้องได้โดยการเติมปูนซีเมนต์ปอร์ทแลนด์ในปริมาณต่างๆ พบว่ามีอุณหภูมิจากภายในที่ได้จากปฏิกิริยาของปูนซีเมนต์ช่วยบ่มจีโอพอลิเมอร์ให้สามารถก่อตัวได้ชั่งอุณหภูมิภายในชิ้นงานตัวอย่างที่ได้จะแปรผันตรงกับปริมาณปูนซีเมนต์ปอร์ทแลนด์ที่เติมเข้าไป



ภาพที่ 4.10 แสดงผลของความสัมพันธ์ระหว่างปริมาณการแทนที่แคลไชน์เกลินเด้ออยจีโอพอลิเมอร์ด้วยปูนซีเมนต์ปอร์ตแลนด์ต่อกำลังรับแรงอัดของจีโอพอลิเมอร์



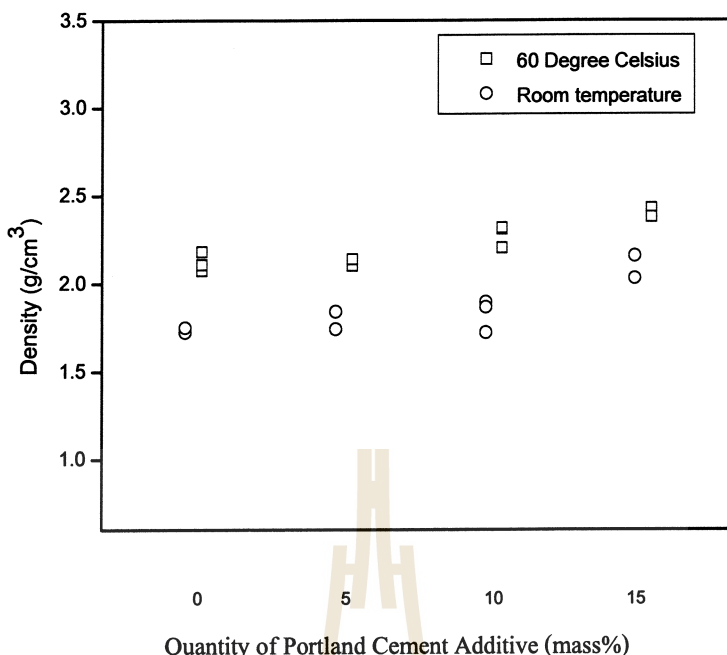
ภาพที่ 4.11 แสดงความสัมพันธ์ระหว่างอุณหภูมิต่อเวลาในการก่อตัวตามปริมาณปูนซีเมนต์ปอร์ตแลนด์กับแคลไชน์เกลินเด้ออยจีโอพอลิเมอร์



ภาพที่ 4.12 แสดงผลของความสัมพันธ์ระหว่างปริมาณปูนซีเมนต์ปอร์ตแลนด์ต่อแคลไนท์เกอลิน เถ้าอยกับเวลาในการก่อตัวจีโอโพลิเมอร์, ---- Intital setting ปูนซีเมนต์ปอร์ตแลนด์ที่อุณหภูมิห้อง, --- Final setting ปูนซีเมนต์ปอร์ตแลนด์ที่อุณหภูมิห้อง

#### 4.7.2 ผลของการเติมปูนซีเมนต์ปอร์ตแลนด์ต่อความหนาแน่นของจีโอโพลิเมอร์

ผลของการเติมปูนซีเมนต์ปอร์ตแลนด์ต่อความหนาแน่นของจีโอโพลิเมอร์แสดงดังในภาพที่ 4.13 พบว่า การเพิ่มขึ้นของปูนซีเมนต์ปอร์ตแลนด์ส่งผลให้ความหนาแน่นของจีโอโพลิเมอร์มีแนวโน้มที่เพิ่มขึ้น ทั้งตัวอย่างที่บ่มที่อุณหภูมิ 60 องศาเซลเซียส และบ่มที่อุณหภูมิห้อง เนื่องจากการเติมปูนซีเมนต์ปอร์ตแลนด์ส่งผลให้เกิดปฏิกิริยาพอตโซลาโนิก (Pozolanic reaction) ปฏิกิริยาดังกล่าวทำให้รูพรุนในชิ้นงานลดลง (Anamika Singh. et al., 2015) อย่างไรก็ตาม ความหนาแน่นของจีโอโพลิเมอร์ที่พัฒนาได้ยังมีค่าต่ำกว่าความหนาแน่นของปูนปอร์ตแลนด์ถึงเกือบ 2 เท่า (ความหนาแน่นของปูนซีเมนต์ปอร์ตแลนด์มีค่าเท่ากับ  $3.15 \text{ g/cm}^3$ ) ซึ่งความหนาแน่นที่ต่ำนี้นับเป็นข้อได้เปรียบของวัสดุจีโอโพลิเมอร์ที่พัฒนาได้ที่เหนือกว่า ปูนซีเมนต์ปอร์ตแลนด์

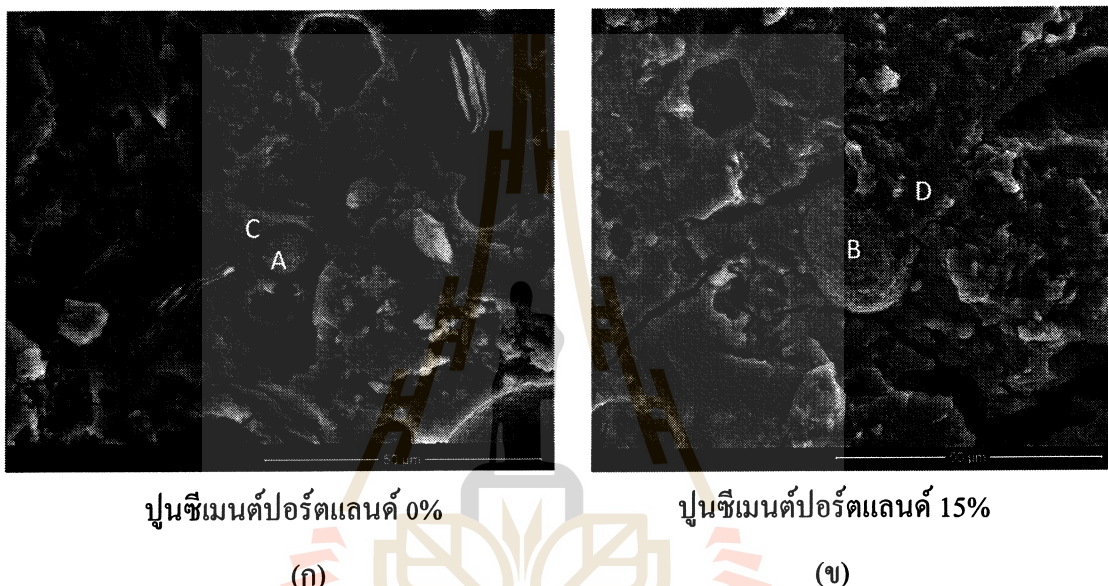


ภาพที่ 4.13 แสดงความสัมพันธ์ระหว่างปูนซีเมนต์ปอร์ตแลนด์กับความหนาแน่นของแคลไชน์ เกอلينถ้าลองจิโจโพลิเมอร์

#### 4.7.3 ผลของการเติมปูนซีเมนต์ปอร์ตแลนด์ต่อโครงสร้างจุลภาค (Microstructure) ของจิโจโพลิเมอร์

ภาพที่ 4.14 แสดงโครงสร้างจุลภาคของวัสดุจิโจโพลิเมอร์ที่พัฒนาได้ซึ่งถ่ายด้วยกล้องจุลทรรศน์อิเล็กตรอนแบบล่องกราด (Scanning electron microscopy, SEM) ภาพที่ 4.14 (ก) และ 4.14 (ข) แสดงให้เห็นถึงโครงสร้างจุลภาคของจิโจโพลิเมอร์ที่ไม่เติม และเติมปูนซีเมนต์ปอร์ตแลนด์ตามลำดับ พนบ่วงเมื่อเติมปูนซีเมนต์ปอร์ตแลนเข้าไปในจิโจโพลิเมอร์ (ภาพที่ 4.14 ข) ส่งผลให้ลักษณะโครงสร้างของ จิโจโพลิเมอร์มีความเป็นเนื้อดียวกันเพิ่มมากขึ้น และมีเนื้อที่แน่นกว่าชิ้นงานที่ไม่ได้ทำการเติมปูนซีเมนต์ปอร์ตแลนด์ เนื่องจากการเติมปูนซีเมนต์ปอร์ตแลนด์จะเป็นการเพิ่มปริมาณแคลเซียมที่ช่วยเพิ่มผลผลิตของแคลเซียมซิลิเกตไชเดรต (Calcium silicate hydrate) แคลเซียมอะลูมิโนซิลิเกตไชเดรต (Calcium aluminosilicate hydrate) อยู่ปะปนกับจิโจโพลิเมอร์ทำให้แคลเซียมบางส่วนเกิดปฏิกิริยากับซิลิกาและอะลูมินจากแคลไชน์ เกอلينและถ้าลองเกิดเป็นเนื้อดียวกันเกิดการแทรกซึมระหว่างรอยต่อของเกรนและรูพรุน ซึ่งส่งผลต่อความหนาแน่นและส่งผลต่อการพัฒนาที่ดีขึ้นของจิโจโพลิเมอร์ (Guo et al., 2010) เมื่อพิจารณาจิโจโพลิเมอร์ที่ไม่ได้เติมปูนซีเมนต์ปอร์ตแลนด์ (ภาพ 4.14 ก.) ที่กำลังขยาย 3000 เท่าพบว่าโครงสร้างจุลภาคมีลักษณะเนื้อไม่เรียบเนียนและไม่แน่น ยังคงมีถ้าลองที่ไม่ได้ทำปฏิกิริยาหลังเหลืออยู่ภายในโครงสร้าง สามารถสังเกตุได้จากผิวที่เรียบเนียนของถ้าลอง (A) และรอยต่อระหว่าง

ถ้าลอย (C) กับ จีโอพอลิเมอร์ ขณะเดียวกันจีโอพอลิเมอร์ที่ทำการเติมปูนซีเมนต์ปอร์ตแลนด์ร้อยละ 15 โดยน้ำหนัก (ภาพ 4.14 ข.) พื้นผิวโครงสร้างจะมีลักษณะเชื่อมประสานและเป็นเนื้อเดียวกันมากกว่า สังเกตุได้จากบริเวณถ้าลอย (B) และรอยต่อระหว่างถ้าลอยกับ จีโอพอลิเมอร์ที่มีความแนบชิดกันหรือบางส่วนเป็นเนื้อเดียวกัน (D) ถึงแม้ถ้าลอย (B) จะทำปฏิกิริยาไม่หมดแต่พื้นผิวถูกชัลลายไปบางส่วนแล้วบ่งบอกถึงการเกิดปฏิกิริยาได้ดีกว่าเมื่อทำการเติมปูนซีเมนต์ปอร์ตแลนด์



ภาพที่ 4.14 แสดงโครงสร้างทางจุลภาคของวัสดุจีโอพอลิเมอร์ที่สังเคราะห์จากถ้าลอยผสมกับแคลไซน์เคลินบ่มที่อุณหภูมิห้องเป็นเวลา 7 วัน กำลังขยาย 3000 เท่า

## บทที่ 5

### สรุปการวิจัยและข้อเสนอแนะ

#### 5.1 สรุปผลงานวิจัย

งานวิจัยนี้มีวัตถุประสงค์เพื่อพัฒนาวัสดุจีโอพอลิเมอร์จากถ้าloy โดยใช้แคลไชน์เกาลิน และปูนซีเมนต์ปอร์ตแลนด์ในการรับปรุงความแข็งแรงของวัสดุจีโอพอลิเมอร์

จากการทดลองพบว่าเพื่อให้ได้ความแข็งแรงที่เหมาะสมต่อการใช้งานวัสดุจีโอพอลิเมอร์ ต้องทำการบ่มที่อุณหภูมิ 60 องศาเซลเซียส ความเข้มข้นของสารละลายโซเดียมไฮดรอกไซด์ที่เหมาะสมต่อการทำปฏิกิริยาคือ 15 มอลาร์ และอัตราส่วนสารละลายโซเดียมซิลิกेटต่อสารละลายโซเดียมไฮดรอกไซด์ 2:1 โดยความแข็งแรงของ จีโอพอลิเมอร์จะเพิ่มขึ้นเมื่อปริมาณแคลไชน์เกาลินเพิ่มขึ้น ค่ากำลังรับแรงอัดสูงสุดที่พัฒนาได้มีค่าเฉลี่ย 42 MPa เมื่อเทนที่ถ้าloyด้วยแคลไชน์เกาลินในสัดส่วนร้อยละ 1:1 โดยน้ำหนัก

เพื่อให้ได้วัสดุจีโอพอลิเมอร์ที่มีความแข็งแรงที่เหมาะสมต่อการใช้งานและสามารถบ่มได้ที่อุณหภูมิห้อง จำเป็นต้องผสมถ้าloyกับแคลไชน์ในสัดส่วนร้อยละ 1:1 โดยน้ำหนัก ร่วมกับเติมปูนซีเมนต์ปอร์ตแลนด์ในปริมาณร้อยละ 15 โดยน้ำหนัก ความเข้มข้นของสารละลายโซเดียมไฮดรอกไซด์ที่ 15 มอลาร์ และอัตราส่วนสารละลายโซเดียมซิลิกेटต่อสารละลายโซเดียมไฮดรอกไซด์ 2:1 วัสดุจีโอพอลิเมอร์ที่พัฒนาได้ให้ค่ากำลังรับแรงอัดเฉลี่ยเท่ากับ 39 MPa หลังบ่มที่อุณหภูมิห้องเป็นเวลา 7 วัน ซึ่งค่าดังกล่าวมีค่าที่สูงกว่าค่ากำลังรับแรงอัดของปูนซีเมนต์ปอร์ตแลนด์ถึงเกือบ 2 เท่า

นอกจากนี้จากการศึกษาหาลักษณะของสารละลายที่เหมาะสมต่อการเกิดปฏิกิริยาพบว่า ใน การสังเคราะห์จีโอพอลิเมอร์นั้น ความเข้มข้นของสารละลายโซเดียมไฮดรอกไซด์ที่เพิ่มขึ้นส่งผลให้ค่ากำลังรับแรงอัดของจีโอพอลิเมอร์มีแนวโน้มเพิ่มขึ้น นอกจากนี้อัตราส่วนระหว่างสารละลายโซเดียมซิลิกेटต่อสารละลายโซเดียมไฮดรอกไซด์เป็นอีกหนึ่งปัจจัยที่ส่งผลกระทบต่อค่ากำลังรับแรงอัดของจีโอพอลิเมอร์ โดยเมื่อสัดส่วนของสารละลายโซเดียมซิลิกेटต่อสารละลายโซเดียมไฮดรอกไซด์เพิ่มขึ้นจะส่งผลให้กำลังรับแรงอัดของจีโอพอลิเมอร์ที่สังเคราะห์ได้นั้นมีแนวโน้มที่เพิ่มขึ้น จากการทดลองพบว่าการพัฒนาวัสดุจีโอพอลิเมอร์จำเป็นต้องใช้สารละลายโซเดียมซิลิกे�ตร่วมกับสารละลายโซเดียมไฮดรอกไซด์ จะขาดสารละลายชนิดใดชนิดหนึ่งไม่ได้

การใช้สารละลายชนิดเดียวในการทำปฏิกริยาส่งผลให้ค่ากำลังรับแรงอัดของจีโอพอลิเมอร์ลดลงอย่างมีนัยยะ

เวลาในการก่อตัวเป็นปัจจัยที่ส่งผลต่อเวลาในการทำงาน งานบางลักษณะต้องการเวลาในการก่อตัวที่รวดเร็ว เช่นงานซ่อมแซมรอยร้าว หรือรอยร้าวต่างๆ แต่งานบางลักษณะต้องการเวลาในการก่อตัวที่ช้าเพื่อให้มีเวลาเพียงพอต่อการทำงาน มีหลายปัจจัยที่ส่งผลต่อเวลาในการก่อตัวของวัสดุจีโอพอลิเมอร์ ได้แก่ ความเข้มข้นของสารละลายโซเดียมไฮดรอกไซด์ที่สูงขึ้นและปริมาณการแทนที่ของแคลเซ็นไนเกอเลินที่เพิ่มขึ้นส่งผลให้เวลาในการก่อตัวมีแนวโน้มที่ลดลง นอกจากนี้ อัตราส่วนระหว่างสารละลายโซเดียมซิลิกेटต่อสารละลายโซเดียมไฮดรอกไซด์ที่เพิ่มขึ้นยังส่งผลให้เวลาในการก่อตัวของจีโอพอลิเมอร์มีแนวโน้มที่เพิ่มขึ้น อย่างไรก็ตามจากผลการทดลองพบว่า หากขาดสารละลายโซเดียมซิลิกेटหรือสารละลายโซเดียมไฮดรอกไซด์ตัวใดตัวหนึ่งจะส่งผลให้จีโอพอลิเมอร์ใช้เวลาในการก่อตัวนาน ในทางกลับกัน เมื่อใช้สารละลายทั้งสองร่วมกันโดยสารละลายโซเดียมซิลิกेटต่อสารละลายโซเดียมไฮดรอกไซด์สัดส่วน 2:1 ส่งผลให้เวลาที่ใช้ในการก่อตัวโดยรวมลดลงเหลือเพียง 52 นาทีเท่านั้น

## 5.2 ข้อเสนอแนะ

งานวิจัยนี้เป็นการศึกษาการปรับปรุงจีโอพอลิเมอร์ที่ได้จากถ้าลอง ให้สามารถนำมาสังเคราะห์เพื่อใช้ทดแทนปูนซีเมนต์ปอร์ตแลนด์ที่ใช้กันอย่างแพร่หลายในปัจจุบันได้จริง งานวิจัยในอนาคตหากมีความต้องการเพิ่มประสิทธิภาพของจีโอพอลิเมอร์ให้สูงยิ่งขึ้นควรใช้วัตถุคุณที่มีความละเอียดมากยิ่งขึ้น และเพื่อความสะดวกต่อการใช้งานจริงควรทำการศึกษาและพัฒนาส่วนผสมให้อยู่ในรูปแบบผงพร้อมใช้งาน

## รายการอ้างอิง

- A. Frenandez-Jimenez, A. Palomo and M. Criado, Microstructure development of alkali-activated fly ash cement: a descriptive model, *Cement and Concrete Research*, In Press, Corrected Proof, Available online 21 December 2004.
- A.A. Ikpong, and D.C. Okpala (1992). Strength characteristics of medium workability ordinary Portland cement-rice husk ash concrete. *Building and Environment*. 7(1):105–111
- Abideng Hawa. M.Eng. (2013).“Properties of metakaolin based geopolymers binder used in repair of concrete pavement”, Princess of Naradhiwas University.
- American Society for Testing and Materials,ASTM C150-00: Standard Specification for Portland Cement,Annual Book of Standards, Philadelphia, 2001, Vol.04.01, 149-155.
- American Society for Testing and Materials, 2011. Standard Specification for Coal Fly Ash and Raw or Calcined Natural Pozzolan for Use in Concrete. ASTM C618, Philadelphia, United States of America.
- American Society for Testing and Materials, 2012. Standard Test Method for Compressive Strength of Hydraulic Cement Mortars (Using 2-in. or [50-mm] Cube Specimens). ASTM C109 C109M, Philadelphia, United States of America.
- American Society for Testing and Materials, 2013a. Standard Test Method for Density (Unit Weight), Yield, and Air Content (Gravimetric) of Concrete. ASTM C138 C138M, Philadelphia, United States of America.
- American Society for Testing and Materials, 2013. Standard Test Method for Time of Setting of Hydraulic-Cement Paste by Gillmore Needles. ASTM C266, Philadelphia, United States of America.
- American Society for Testing and Materials,ASTM C311-00, Standard Test Methods for Sampling and Testing Fly ash or Natural Pozzolans for Use as a Mineral Admixture in portland Cement Concrete,Annual Book of ASTM,Vol. 04.02,p.191-199.

American Society for Testing and Materials, ASTM C618-00, Standard Specification for Coal Fly Ash and Raw or Calcined Natural Pozzolan for Use as a Mineral Admixture in Concrete, Annual Book of ASTM Standards, Vol. 4.02, p. 310-313.

American Concrete Institute, ACI 232.2R-96, 2000, Use of fly ash in concrete, In 2000 ACI Manual of Concrete Practice, Part 2, Michigan, ACI.

American Society for Testing and Materials, 2013. Standard Test Method for Time of Setting of Hydraulic-Cement Paste by Gillmore Needles. ASTM C266, Philadelphia, United States of America.

American Society for Testing and Materials, 2012. Standard Test Method for Compressive Strength of Hydraulic Cement Mortars (Using 2-in. or [50-mm] Cube Specimens). ASTM C109 C109M, Philadelphia, United States of America.

American Society for Testing and Materials, 2014. Standard Test Methods for Specific Gravity of Soil Solids by Water Pycnometer. ASTM D854, Philadelphia, United States of America.

A.M. Rashad (2013). Alkali-activated metakaolin: a short guide for civil engineer – a overview. Construction and Building Materials. 41: 751-765.

A. Palomo, A. Marcias, M.T. Blanco, and F. Puertas (1992). Physical, chemical and mechanical characterisation of geopolymers. Proceedings of the 9th International Congress on the Chemistry of Cement. 9: 505-511.

A. Poowancum, E. Nimwinya, and S. Horpibulsuk (2015). Development of Room Temperature Curing Geopolymer from Calcined Water-Treatment-Sludge and Rice Husk Ash. Calcined Clay for Sustainable Concrete 1; 291-297.

Charin Sanawong, Kaitsuda Somna and Wichian Chalee.) 2010. (“Compressive and Bond Strengths of Fly Ash-Based Geopolymer Concrete” Department of Civil Engineering, Faculty Engineering, Burapha University

Charin Seanawong and Wichian Chalee. (2011). Chloride Penetration of Fly Ash-based Geopolymer, The Journal of KMUTNB., Vol. 21, No. 2  
CS. Poon, XC. Qiao ZS. Lin, 2003, Pozzolanic properties of reject fly ash in blended cement pastes, Cement and Concrete Research, Vol.33 Issue 11, p. 1857-1865.

- Davidovits (1994). "Properties of geopolymers Cements." Kiev State Technical University, Ukraine, 131-149.
- Davidovits J. 1999 . "Chemistry of geopolymeric systems, Terminology". Proceedingd: 2<sup>nd</sup> International Conference on Geopolymer. France,Paris:9-40.
- E. Nimwinya et al. , "A sustainable calcined water treatment sludge and rice husk ash Geopolymer", Journal of Cleaner Production 119 (2016) 131.
- Hardjito, D., S. Wallah, D. M. J. Sumajouw, and B. V. Rangan. "On the Development of Fly Ash-Based Geopolymer Concrete." ACI Materials Journal, vol. 101, no. 6 (2004) 467–472.
- J.C.,Swanepoel, and C.A., Strydom. (2002). "Utilisation of fly ash in geopolymeric material.Appleied Geochemistry", 17: 1143-1148.
- J. Davidovits, M. Davidovics, Geopolymer room temperature ceramic matrix for composites,Ceramic Engineering and Science Proceedings 9 (1988), 835-842.
- J. Davidovits, M. Davidovics, Geopolymer: Ultra-high temperature tooling material for the manufacture of advanced composites, 36th International SAMPE Symposium 36 (1991), 1939-1949.
- J. Davidovits, Properties of geopolymers cements, first International Conference on Alkaline Cements and Concretes 1 (1994), 131-149.
- J. G.S. van Jaarsveld, and J.S.J. van Deventer (1996). The potential use of geopolymeric materials to immobilize toxic metal. Minerals Engineering. 10 659-669.
- J. L. Provis, J. S. J. van Deventer, Geopolymers structure processing properties and industrial applications, P.6. Woodhead Publishing Limited, United Kingdom (2009).
- J.L. Provis, Geopolymers and other alkali activated materials why how and what, Materials and Structures 47 (2014), 11–25.
- J.S.G. van Jaarsveld, J.S.J. van Deventer, L. Lorenzer, Factors affecting the immobilization of metals in geopolimerized fly ash, University of Stellenbosch Research Report (1995).

- J.W., Wang, and T.W., Cheng. (2003). Production Geopolymer Material by Coal Fly Ash. Proceeding of the 7<sup>th</sup> International stmposium on East Asian Resource Recycling Thechnology, 10-14, Tainan, Taiwan.
- J. Xie, J. Yin, J. Chen, J. Xu, Study on the geopolymers based on fly ash and slag, Proceeding of 2009 International Conference on Energy and Environment Technology 3 (2009), 578-581.
- Jumrat S., Chatveera B., 2006, "Influence of Mix Proportions on Physical and Dielectric Properties of Fly Ash-based Geopolymer Mortar", *KMUTT Research and Development Journal*, Vol.33, pp. 145- 162. (In Thai)
- M.D. Safiuddin, J.S. West, Hardened properties of self-consolidating high performance concrete including rice husk ash, *Cement and Concrete Composites* 32 (2010), 708-717.
- Pattanapong Paisitsrisawat and Ubolluk Rattanasak. (2013). "Effect of Silica Fume on the Properties of Fluidized Bed Combustion (FBC) Fly Ash Geopolymer", *The Journal of Industrial Technology*, Vol. 9. Proceeding of the 7<sup>th</sup> International stmposium on East Asian Resource Recycling Thechnology, 10 -14, Tainan, Taiwan.
- Palomo, A. Grutzeck, M.W, Blanco, M.T. (2001). "Alkali activated fly ashes cement for the future." *Cem. Concr. Res.* 29 (1999) 1323-1329.
- Palomo A., Macias A., Blanco M.T., Puertas F., 1992, "Physical, chemical and mechanical characterization of geopolymers", *Proceedings of the 9th International Congress on the Chemistry of Cement*, New Delhi, India, 5, pp. 505-511.
- P. Chindaprasirt, P. D. Silva, K. S. Crentsil, S. Hanjitsuwan, Effect of SiO<sub>2</sub> and Al<sub>2</sub>O<sub>3</sub> on the setting and hardening of high calcium fly ash-based geopolymer systems, *Journal of Material Science* 47 (2012), 4876–4883.
- P. Duxson, A. Fernández-Jiménez, J. L. Provis, G. C. Lukey, A. Palomo and J. S. J. van Deventer, Geopolymers technology: the current state of the art, *Journal of Materials Science* 42 (2007), 2917-2933

- P.G. Malone, T. Kirkpatrick C.A. Randall, Potential applications of alkali-activated aluminosilicate binders in military operations, Report WES/MP/GL-85-15 (1986).
- K. Ganesan, K. Rajagopal, K. Thangavelu, Rice husk ash blended cement: assessment of optimal level of replacement for strength and permeability properties of concrete, Construction and Building Materials 22 (2007), 1675-1683.
- K. Svenning, Design and manufacture of Portland cement application of sensitivity analysis in exploration and optimization part1 exploration, Chemometrics and intelligent laboratory systems 84 (2006), 177-187.
- L.Jiang, Z. Liu, Y. Ye, 2004, Durability of concrete incorporating large volumes of low-quality fly ash, Cement and Concrete Research, In Press, Uncorrected Proof, Available online 4 February 2004
- N. Bouzoubaa B. Fournier, 2003, Optimization of fly ash content in concrete: Part 1: Non air entrained made without superplasticizer, Cement and Concrete Research, Vol. 33, Issue 7, p. 1029-1037.
- PK. Kolay, DN. Singh, 2001, Physical, chemical, mineralogical, and thermal properties of cenospheres from an ash lagoon, Cement and Concrete Research, Vol. 31, Issue 4, p. 539-542
- R. Siddique, 2003, Effect of fine aggregate replacement with Class F fly ash on the mechanical properties of concrete, Cement and Concrete Research, Vol.33, Issu 4 p.539-547.
- SV.Vassilev, R.Menendez, M. Diaz-Somoano and MR. Martinez-Tarazona, 2004, Phase-mineral and chemical composition of fly ashes as a basis for their multicomponent utilization. 2. Characterization of ceramic cenosphere and salt concentrates, Fuel, Vol. 83, p. 585-603.
- S. Homwuttiwong, V. Sirivivatnanon, 2004, Influence of fly ash fineness on strength, drying shrinkage and sulfate resistance of blended cement mortar, Cement and Concrete Research, 34, 1087-1092

S. Abhilash, C.K. Singh, A.K. Sharma, Study of the properties of concrete by partial replacement of ordinary Portland cement by rice husk ash, International Journal of Earth Sciences and Engineering 4[6] (2011), 965-968.

T.W. Cheng, J.P. Chiu, Fire-resistant geopolymers produced by granulated blast furnace slag, Minerals Engineering 16 (2003), 205–210.

V. Kannan, K. Ganesan, Chloride and chemical resistance of self-compacting concrete containing rice husk ash and metakaolin, Construction and Building Materials 51 (2014), 225-234.

กนกวรรณ ปันเขตร และ อุบลลักษณ์ รัตนศักดิ์ “ผลของสารผสมเพิ่มต่อสมบัติจีโอพอลิเมอร์จาก เถ้าโลย”, วารสารวิจัยและพัฒนา นจธ. ปีที่ 33 ฉบับที่ 2 เมษายน-มิถุนายน 2533  
จรรภูติ บรรจงศิริ, “การศึกษากำลังรับแรงอัดของจีโอพอลิเมอร์จากเถ้าปาล์มน้ำมัน”, การประชุม วิชาการแห่งชาติ มหาวิทยาลัยเกษตรศาสตร์ วิทยาเขตกำแพงแสน ครั้งที่ 9 บริษัท จินดาประเสริฐ, อินทรชัย หอวิจิตร (2528). “การศึกษาปูนซีเมนต์ปอร์ตแลนด์ผสมกับเถ้า โลย แม่-มะ”. คณะวิศวกรรมศาสตร์ มหาวิทยาลัยขอนแก่น.  
บริษัท จินดาประเสริฐ (2549), “เถ้าโลยในงานคอนกรีต” สมาคมคอนกรีตไทย

รัฐพล สมนา และ ชัย ชาตรพิทักษ์กุล (2554), “การใช้เถ้าชานอ้อยบดละเอียดเพื่อปรับปรุงกำลังอัด การซึมผ่านน้ำและความต้านทาน คลอร์ไรด์ของคอนกรีตที่ใช้มวลรวมหมายจากการบ่มอย เศษคอนกรีตเก่า”, วารสารวิจัยและพัฒนา นจธ. ปีที่ 34 ฉบับที่ 4

สกลวรรณ ห่านจิตสุวรรณ, ธนากร ภูเงินชา และ บริษัท จินดาประเสริฐ (2015). “สมบัติของเถ้า โลย จีโอ พอลิเมอร์เพสต์ผสมปูนซีเมนต์ปอร์ตแลนด์” วารสารวิชาการเทคโนโลยี อุตสาหกรรม ปีที่ 9 ฉบับที่ 2 พฤษภาคม – สิงหาคม 2556

สำเริง รักช้อน และ วิโรจน์ พรเมเงิน (2552). “การพัฒนาวัสดุจีโอพอลิเมอร์จากเถ้าแก่อนและเถ้า ชานอ้อย” มหาวิทยาลัยเทคโนโลยีราชภัฏพระนคร กรุงเทพมหานคร

อนันท์ ป้อมประสิทธิ์. (2550), “ปอชโซล่า”. กรมกองพิสิกส์วิศวกรรม กรมวิทยาศาสตร์บริการ กระทรวงวิทยาศาสตร์และเทคโนโลยี.

อนุชาติ ลือนันต์ศักดิ์ศรี และ บริษัท จินดาประเสริฐ (2005). การศึกษาสารจีโอ พอลิเมอร์จาก เถ้า โลยและดินขาวเผา. การประชุมวิชาการคอนกรีตและจีโอ พอลิเมอร์แห่งชาติ. 1:153-161.



***A Sustainable Cement Replacement Material From a Coal-Fired Power Plant Waste***

Nuttapong Phachan, Suranaree University of Technology, Thailand  
 Siriwan Chokkha, Suranaree University of Technology, Thailand  
 Anurat Poowancum, Suranaree University of Technology, Thailand

The Asian Conference on Sustainability, Energy & the Environment 2017  
 Official Conference Proceedings

**Abstract**

Electrical energy is an important in a daily life. Coal is a primary fuel for electricity production. The waste from the coal-fired electricity generation is a fly ash. The numerous fly ash is a low quality fly ash (LQFA). LQFA is a low reactivity ash, and is a hazardous waste. Normally, LQFA is stored in the landfills. The heavy metals can leach from the stored LQFA into an environment, which is a serious problem. The sustainable ways to solve the problem is to utilize LQFA as a valuable material. Although, cement is widely used in the construction work, it is an environmental unfriendly material. The high quantities of carbon dioxide gas are emitted from the cement producing process. Geopolymer is expected to be a sustainable cement replacement material due to its manufacturing process does not emit a carbon dioxide gas. Furthermore, geopolymer can be synthesized from the various types of waste materials.

The aim of this work is to develop the geopolymer by using the LQFA and a calcined clay (CC) as a precursor. The results show that the compressive strength of LQFA-CC-geopolymer is higher than that of the commercial cement. The compressive strength of LQFA-CC-geopolymer is increased with increasing the concentration of NaOH and the ratio of  $\text{Na}_2\text{SiO}_3$  to NaOH solution. The knowledge of this work opens an opportunity to utilize the LQFA as a cement replacement material to reduce an environmental impact of the coal-fired power plant waste.

**Keywords:** Coal-fired electricity waste, Cement replacement, Geopolymer, Fly ash, Calcined clay

**iafor**

The International Academic Forum  
[www.iafor.org](http://www.iafor.org)

## Introduction

Portland Cement (PC) is one of the most used materials in the world. However, PC has negative environmental impacts because its production process requires high energy consumption and release a lot of carbon dioxide gas. The latter is the main cause of the global warming. Recently, several researchers have been investigating for a sustainable cement replacement material. Geopolymer is one of the most interested alternatives.

Geopolymer is an environmental friendly material, and, is expected to be used as the sustainable cement replacement materials. Because, the geopolymer production process consumes low energy and does not emit carbon dioxide gas to an environmental. Geopolymer can be synthesized by using the aluminosilicate materials mix with alkali hydroxide and/or alkali silicate. The aluminosilicate materials are the silica ( $\text{SiO}_2$ ) and alumina ( $\text{Al}_2\text{O}_3$ ) rich materials. Variety of aluminosilicate materials are used for synthesized geopolymer such as calcined clay (CC), fly ash, bottom ash, and water treatment sludge (Ekkasit et al., 2016).

Fly ash is the waste from the coal-fired power plant, and is mainly used as the pozzolanic materials for the building applications. However, not all of fly ashes are suitable for construction applications. The properties of fly ashes depend on the fuel nature and the furnace used (Wesche, 1991). High quality fly ash is a highly desirable commodity in the construction industry, because, it is a high reactivity ash. High quality fly ash is obtained from high quality coal (anthracite and bituminous) with high temperature (around 1100 to 1700 °C) combustion system. Morphology of the high quality fly ash is mainly vitreous spherical particles. However, the numerous fly ash is the low quality fly ash (LQFA). Wesche (1991) has described that LQFA is a low reactivity ash, and, has a high percentage of irregular crystalline particles. LQFA is a hazardous waste, it is undesirable for building applications. Normally, LQFA is stored in the landfills. The heavy metals can leach from the stored LQFA into an environment, which is a serious problem. In addition, the number of LQFA trend to significantly increase year by year. The sustainable ways to solve the problem is to treat LQFA as a valuable material, that is geopolymer. Although, several researchers study on the development of geopolymer from fly ash, there are a few work reports on the development of geopolymer from LQFA.

The aim of this work is to develop a geopolymer material from LQFA blends with a calcined clay (CC). The effect of LQFA/CC ratios, concentration of sodium hydroxide ( $\text{NaOH}$ ) and the ratios of sodium silicate ( $\text{Na}_2\text{SiO}_3$ ) to sodium hydroxide on compressive strength of the LQFA-CC geopolymer are examined. This research will enable LQFA traditionally destined for landfills to be used in a sustainable manner as a precursor in geopolymer, which is significant from engineering and environmental point of view.

## Materials and methods

### Precursor preparation

The LQFA was passed through a sieve (number 120 mesh) and oven-dried at 100 °C for 24 hours to remove the impurities in the LQFA. Kaolinite clay from Ranong province, Thailand was milled by mortar and passed through a sieve (number 120 mesh) before being calcined at 600 °C for 3 hours to obtain CC powder.

### Sample preparation

Sodium hydroxide (NaOH) pellets and distilled water were mixed to obtain a concentration of 5, 10 and 15 M, then allowed to cool down at a room temperature. The alkali activator solution was prepared by mixing sodium silicate ( $\text{Na}_2\text{SiO}_3$ ) solution with NaOH solution. The ratios of  $\text{Na}_2\text{SiO}_3$  to NaOH were 0:1, 0.5:1, 1:1, 1.5:1, 2:1 and 1:0 by weight. The mixed solutions were stored for 24 hours prior to use. Chemical composition of  $\text{Na}_2\text{SiO}_3$  solution consists of  $\text{Na}_2\text{O} = 16.3\%$ ,  $\text{SiO}_2 = 34.2\%$  and  $\text{H}_2\text{O} = 49.5\%$ .

LQFA and CC powder were mixed in the various LQFA/CC ratios of 100:0, 50:50, 40:60, 30:70, 0:100 by weight. The mixed powder was mixed with an alkali activator solution by a mortar at a solid to liquid ratio of 1.0. Then, the slurry mixture was poured into a 50 mm x 50 mm x 50 mm steel mold and compacted as described in ASTM C109 (2002). The samples along with the molds were sealed with vinyl sheet to prevent moisture evaporation during curing at 60 °C for 7 days.

### Characterization techniques

Morphology and mineral compositions of LQFA were evaluated by scanning electron microscope (SEM, JOEL JSM-6010LV) and X-ray diffraction (XRD, Bruker D5005) with  $\text{CuK}\alpha$  radiation, respectively. X-ray fluorescence (XRF, HORIBA XGT-5200) was used to analyze chemical compositions of LQFA and CC. Density and compressive strength of the 7 days cured samples were measured following ASTM C138 (2009) and ASTM C109 (2002), respectively.

### Results and Discussion

Chemical compositions of LQFA and CC are seen in table 1. Main chemical compositions of LQFA and CC are  $\text{SiO}_2$  and  $\text{Al}_2\text{O}_3$ .

Table 1. Chemical compositions of LQFA and CC.

Raw materials	Chemical compositions (weight%)							
	$\text{Al}_2\text{O}_3$	$\text{SiO}_2$	$\text{K}_2\text{O}$	$\text{Na}_2\text{O}$	$\text{CaO}$	$\text{MgO}$	$\text{Fe}_2\text{O}_3$	Etc.
LQFA	19.68	33.19	2.29	2.40	11.93	4.43	10.64	15.44
CC	48.48	49.40	0.99	0.08	0.01	0.12	0.67	0.25

The X-ray diffractograms of LQFA is seen in Figure 1, crystalline phase of  $\text{SiO}_2$  and  $\text{CaSO}_4$  are the main compositions. Figure 2 shows SEM micrograph of LQFA. Almost all particles are irregular in shape. The XRD and SEM results demonstrate that the used fly ash is in the type of LQFA.

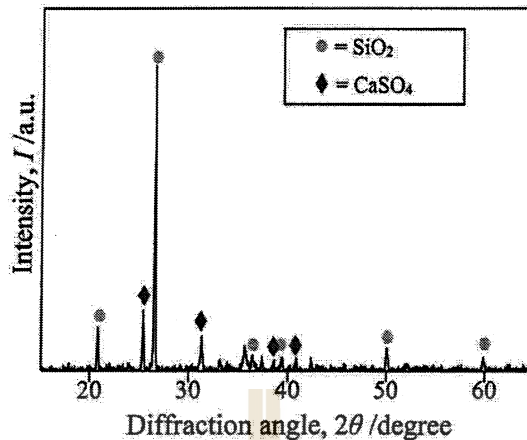


Figure 1 X-ray diffraction (XRD) spectra of LQFA

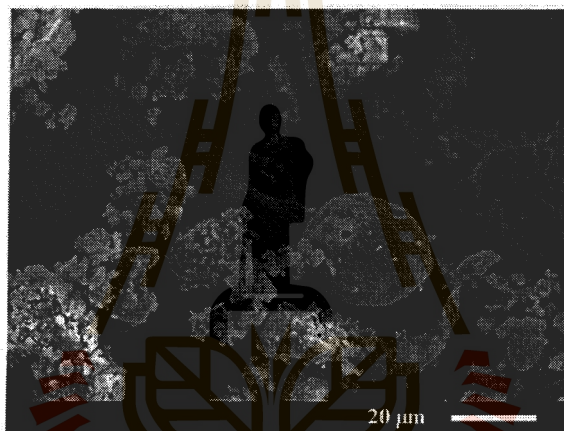
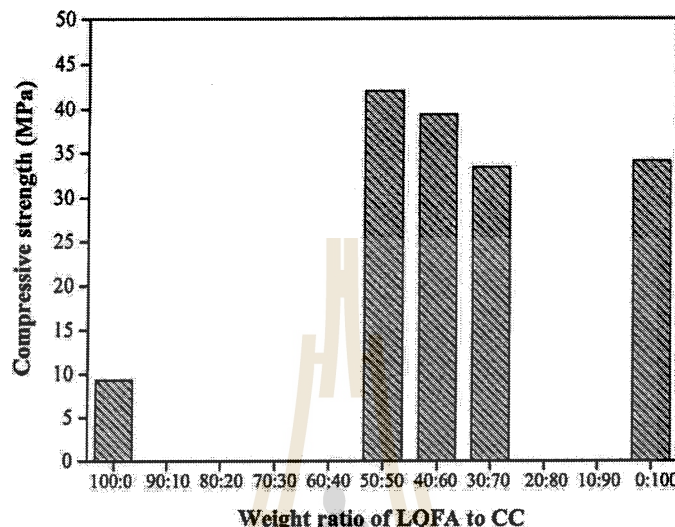


Figure 2 SEM image of LQFA; almost all particles are irregular in shape.

Figure 3 illustrates that by using LQFA as a precursor alone, geopolymer has low strength. Because, LQFA has low reactivity with the alkali activator solution. Compressive strength of LQFA-geopolymer is around 10 MPa, is lower than the minimum requirement for PC of 19 MPa (ASTM C150, 2003). Compressive strength of CC-geopolymer is around 34 MPa, which is higher than that of LQFA-geopolymer. Because, CC has high reactivity with the alkali activator solution (Zuhua et al., 2014). Therefore, compressive strength of LQFA-geopolymer is improved via replace LQFA by CC. The maximum strength is obtained at LQFA/CC ratio of 50:50 by weight, and is around 42 MPa. However, strength of LQFA-CC-geopolymer is reduced when LQFA is replaced by CC over 50 wt%. The role of the LQFA/CC ratio on the developed strength is explained in the term of the Si/Al ratios. Table 2 presents Si/Al ratios for various LQFA/CC ratios, which were calculated from the chemical compositions of the LQFA and CC (Table 1), as well as the  $\text{Na}_2\text{SiO}_3$  solution. The Si/Al ratio is an importance factor for the developed strength of geopolymer. The

suitable Si/Al ratios for the cement replacement materials were reported as approximately 3 - 4 (Chindaprasirt et al., 2012 and Abdullah et al., 2011). Although, CC has high reactivity with the alkali activator solution, Si/Al ratio is reduced with increasing of CC replacement.

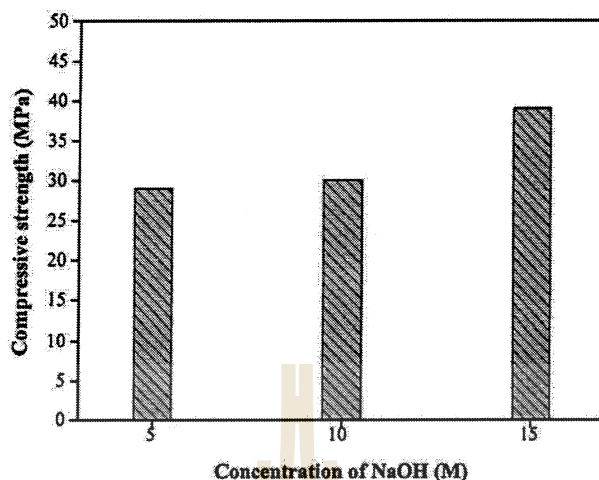


**Figure 3** compressive strength of the geopolymers with different LQFA/CC ratios; all samples used NaOH 15 M mixed with  $\text{Na}_2\text{SiO}_3$  ( $\text{Na}_2\text{SiO}_3/\text{NaOH}$  ratio = 2:1), as the alkali activator solution.

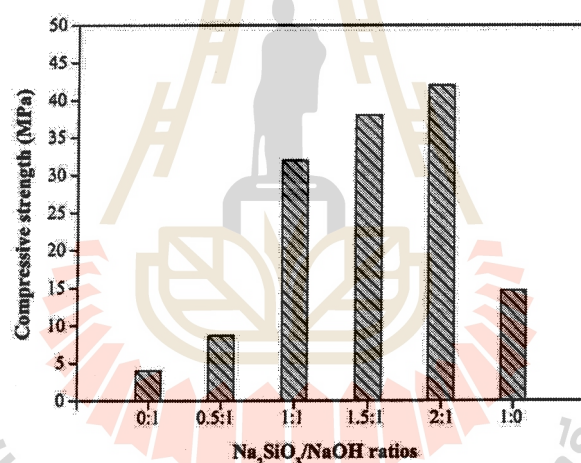
**Table 2.** Calculation of Si/Al ration in the different replacement of LQFA by CC

Compositions (weight %)		Si/Al ratios
LQFA	CC	
100	0	2.4
50	50	1.6
40	60	1.5
30	70	1.4
0	100	1.3

Figure 4 and Figure 5 demonstrate that the high compressive strength of LQFA-CC-geopolymer is obtained by using high concentration of NaOH (Figure 4) with high  $\text{Na}_2\text{SiO}_3/\text{NaOH}$  ratios (Figure 5). In addition, figure 5 shows that both of NaOH and  $\text{Na}_2\text{SiO}_3$  are required for obtaining the high strength LQFA-CC-geopolymer. By using NaOH or  $\text{Na}_2\text{SiO}_3$  as the alkali activator solution alone, LQFA-CC-geopolymer has low strength. Strength of geopolymer is developed via geopolymerization process. The role of NaOH and  $\text{Na}_2\text{SiO}_3$  in the geopolymerization process is the dissolvent and the binder, respectively. High concentration of NaOH promotes dissolution of fly ash, as well as, increases the concentration of  $\text{Al}^{3+}$  and  $\text{Si}^{4+}$  ions (Ubolluk and Prinya, 2009). The linkage between  $\text{Al}^{3+}$  and  $\text{Si}^{4+}$  ions in the geopolymerization process is enhanced by increasing amount of  $\text{Na}_2\text{SiO}_3$  which act as a binder. By using 15 M of NaOH with  $\text{Na}_2\text{SiO}_3/\text{NaOH}$  ratio is 2:1, compressive strength of LQFA-CC-geopolymer is around 42 MPa, which is higher than the minimum requirement of PC.



**Figure 4** compressive strength of the geopolymers with different concentration of NaOH. All samples have the ratio of LQFA/CC and  $\text{Na}_2\text{SiO}_3/\text{NaOH}$  is 50:50 and 1.5:1, respectively.



**Figure 5** compressive strength of LQFA-CC-geopolymer with different  $\text{Na}_2\text{SiO}_3/\text{NaOH}$  ratios; the LQFA/CC ratio of 50:50 and NaOH 15 M are used for all samples.

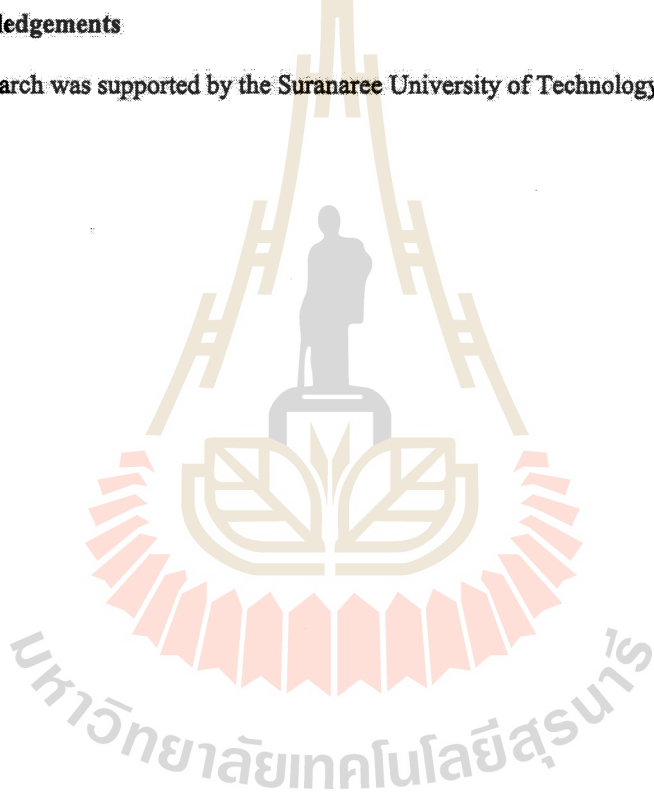
Density of material is important for a structure cost. Density of all samples in the present work are around 1.12 to 2.18, which are lower than that of PC. The density of PC is approximately  $3.15 \text{ g/cm}^3$  (ASTM C138, 2009; ASTM C185, 2008; ASTM C595/C595M, 2013). Low density is an advantage of the LQFA-CC-geopolymer over PC, which can be used for development of the lightweight materials. The outcome of the present work opens an opportunity to utilize LQFA as the sustainable cement replacement materials.

### Conclusions

In the present work, a sustainable cement replacement material was developed by using a coal-fired power plant waste, i.e., low quality fly ash (LQFA) blend with a calcined clay (CC), as the precursor. LQFA has low reactivity with the alkali activator solution. Reactivity of the precursor is enhanced by blend LQFA with CC. Strength of the LQFA-CC-geopolymer is higher than the minimum requirement of Portland cement (PC) around 2 times after curing at 60 °C for 7 days. By using NaOH or Na<sub>2</sub>SiO<sub>3</sub> as the alkali activator alone, LQFA-CC-geopolymer has low strength. The high concentration of NaOH solution and the sufficiency of Na<sub>2</sub>SiO<sub>3</sub> binder are required to obtain the high strength LQFA-CC-geopolymer. Density of the LQFA-CC-geopolymer is significantly lower than that of PC. The knowledge in this work opens an opportunity to convert the hazardous waste to be the useful product, i.e., a sustainable cement replacement material.

### Acknowledgements

This research was supported by the Suranaree University of Technology.



### References

- Abdullah, M. M. A., Hussin, K., Bnhussain, M., Ismail, K. N., & Ibrahim, W. M. W. (2011). Mechanism and chemical reaction of fly ash geopolymers-A review. *International Journal of Pure and Applied Sciences and Technology*, 6(1), 35-44.
- ASTM C109, (2002). Standard test method of compressive strength of hydraulic cement mortars (using 2-in. or [50 mm] cube specimens). In: *Annual Book of ASTM Standard*. Vol. 04. 01.
- ASTM C138, (2009). Standard test of method for unit weight of mortar. In: *Annual Book of ASTM Standard*. Vol. 04. 01.
- ASTM C150, (2003). Standard specification for Portland cement. In: *Annual Book of ASTM Standard*. Vol. 04. 02.
- ASTM C185, (2008). Standard test method for air content of hydraulic cement mortar. In: *Annual Book of ASTM Standard*. Vol. 04. 01.
- ASTM C595/C595M, (2013). Standard specification for blended hydraulic cements. In: *Annual Book of ASTM Standard*. Vol. 04. 02.
- Chindaprasirt, P., De Silva, P., Sagoe-Crenstil, K., & Hanjitsuwan, S. (2012). Effect of SiO<sub>2</sub> and Al<sub>2</sub>O<sub>3</sub> on the setting and hardening of high calcium fly ash-based geopolymers systems. *Journal of Materials Science*, 47, 4876–4883.
- Ekkasit, N., Weerachai, A., Suksun, H., Tanakorn, P. N., & Anurat, P. (2016). A sustainable calcined water treatment sludge and rice husk ash geopolymers. *Journal of Cleaner Production*, 119, 128-134.
- Ubolluk, R., & Prinya, C. (2009). Influence of NaOH solution on the synthesis of fly ash geopolymers. *Minerals Engineering*, 22, 1073–1078.
- Wesche, K. (1991). *Fly Ash in Concrete Properties and Performance*. London: E&FN Spon.
- Zuhua, Z., Hao, W., Yingcan, Z., Andrew, R., John, L. P., & Frank, B. (2014). Using fly ash to partially substitute metakaolin in geopolymers synthesis. *Applied Clay Science*, 88–89, 194–201.

Contact email: anurat@sut.ac.th



## วิธีคำนวณสัดส่วนระหว่างซิลิกอนต่ออะลูมิเนียม

กำหนดให้ใช้ปริมาณถ้าลอยต่อแคลไชน์เกาลินเป็น 50:50 ปริมาณผงจีโอพอลิเมอร์ต่อสารละลายน 1:1 สารละลายนโซเดียมซิลิกेटต่อสารละลายนโซเดียมไฮดรอกไซด์ 2:1 ในสารละลายนโซเดียมซิลิกेटประกอบไปด้วย  $\text{Na}_2\text{O} = 16.3 \text{ wt.\%}$ ,  $\text{SiO}_2 = 34.2 \text{ wt.\%}$  และ  $\text{H}_2\text{O} = 49.5 \text{ wt.\%}$

วัตถุคิบ	องค์ประกอบทางเคมี (ร้อยละ โดยน้ำหนัก)										
	$\text{Al}_2\text{O}_3$	$\text{SiO}_2$	$\text{K}_2\text{O}$	$\text{Na}_2\text{O}$	$\text{CaO}$	$\text{MgO}$	$\text{Fe}_2\text{O}_3$	$\text{TiO}_2$	$\text{SO}_3$	$\text{CdO}$	Etc.
แคลไชน์เกาลิน	48.48	49.40	0.99	0.08	0.01	0.12	0.68	0.03	0.04	-	0.17
ถ้าลอย	19.68	33.19	2.29	2.40	11.93	4.43	10.65	0.76	3.86	9.76	1.05

### ขั้นตอนที่ 1 การหาปริมาณซิลิกาจากผงจีโอพอลิเมอร์

ในวัสดุจีโอพอลิเมอร์ 100 กรัม มีปริมาณถ้าลอย 50 กรัม และแคลไชน์เกาลิน 50 กรัม ดังนั้นจะได้

$$\begin{aligned}
 \text{ซิลิกาจากถ้าลอย} &= \left( \frac{\text{ปริมาณผงถ้าลอย}}{\text{ผงจีโอพอลิเมอร์ทั้งหมด}} \right) \times \left( \begin{array}{l} \text{ปริมาณซิลิกาใน} \\ \text{ถ้าลอย} \end{array} \right) \\
 &= \left( \frac{50}{100} \right) \times 33.19 \\
 &= 16.60 \text{ กรัม}
 \end{aligned}$$

$$\begin{aligned}
 \text{ซิลิกาจากแคลไชน์เกาลิน} &= \left( \frac{\text{ปริมาณผงแคลไชน์เกาลิน}}{\text{ผงจีโอพอลิเมอร์ทั้งหมด}} \right) \times \left( \begin{array}{l} \text{ปริมาณซิลิกาใน} \\ \text{แคลไชน์เกาลิน} \end{array} \right) \\
 &= \left( \frac{50}{100} \right) \times 49.40 &= 24.70 \text{ กรัม}
 \end{aligned}$$

### ขั้นตอนที่ 2 การหาปริมาณซิลิกาจากสารละลาย

ในสารละลายทั้งหมดประมาณไปด้วยโซเดียมซิลิกะ

$$\begin{aligned}
 &= \left( \frac{\text{ปริมาณโซเดียมซิลิกะ}}{\text{ปริมาณสารละลายทั้งหมด}} \right) \times 100 \\
 &= \left( \frac{2}{3} \right) \times 100 \\
 &= 66.67\%
 \end{aligned}$$

หากใช้พงจีโอพอลิเมอร์ทั้งหมด 100 กรัม สารละลายที่ใช้มีน้ำหนัก 100 กรัม จะมีจะมีโซเดียมซิลิกะในสารละลาย

$$\begin{aligned}
 &= \left( \frac{66.67}{100} \right) \times 100 \\
 &= 66.67 \text{ กรัม}
 \end{aligned}$$

ดังนั้นปริมาณซิลิกาที่มาจากโซเดียมซิลิกะมีปริมาณเท่ากัน

$$\begin{aligned}
 &= \left( \frac{34.2}{100} \right) \times 66.67 \\
 &= 22.81 \text{ กรัม}
 \end{aligned}$$

ปริมาณซิลิกาทั้งหมดในส่วนผสมจีโอพอลิเมอร์มีปริมาณเท่ากับ

$$\begin{aligned}
 &= \text{SiO}_2(\text{ถ้าถอย}) + \text{SiO}_2(\text{แคลไซน์เกลิน}) + \text{SiO}_2(\text{สารละลาย}) \\
 &= 16.60 + 24.70 + 22.81 \\
 &= 64.11 \text{ กรัม}
 \end{aligned}$$

### ขั้นตอนที่ 3 การหาปริมาณอะลูมิโนร่วมในวัสดุจีโอพอลิเมอร์

ในวัสดุจีโอพอลิเมอร์ 100 กรัม มีปริมาณถ้าถอย 50 กรัม และแคลไซน์เกลิน 50 กรัม ดังนั้น

$$\text{อัลูมิโนจากถ้าถอย} = \left( \frac{\text{ปริมาณถ้าถอย}}{\text{ปริมาณพงจีโอพอลิเมอร์}} \right) \times \left( \frac{\text{ปริมาณอะลูมิโน}}{\text{ในถ้าถอย}} \right)$$

$$= \left( \frac{50}{100} \right) \times 19.68$$

$$= 9.84 \text{ กรัม}$$

$$\begin{aligned} \text{อะลูมินาจากแคลไชน์เกอลิน} &= \left( \frac{\text{ปริมาณแคลไชน์เกอลิน}}{\text{ปริมาณผงจีโอพอลิเมอร์}} \right) \times \left( \frac{\text{ปริมาณอะลูมินา}}{\text{ในแท็กลอย}} \right) \\ &= \left( \frac{50}{100} \right) \times 48.48 \\ &= 24.24 \text{ กรัม} \end{aligned}$$

#### ขั้นตอนที่ 4 การหาปริมาณสัดส่วนซิลิกอนต่ออะลูมิเนียม

ปริมาณซิลิกอนทั้งหมดในวัสดุจีโอพอลิเมอร์

$$\begin{aligned} &= \left( \frac{\text{น้ำหนักโมเลกุลของธาตุซิลิกอน}}{\text{น้ำหนักโมเลกุลของสารประกอบซิลิกา}} \right) \times \left( \frac{\text{น้ำหนักซิลิการรวมใน}}{\text{วัสดุจีโอพอลิเมอร์}} \right) \\ &= \left( \frac{28.1}{60} \right) \times 64.11 \\ &= 30.02 \end{aligned}$$

ปริมาณอะลูมิเนียมทั้งหมดในวัสดุจีโอพอลิเมอร์

$$\begin{aligned} &= \left( \frac{\text{น้ำหนักโมเลกุลของธาตุอะลูมิเนียม}}{\text{น้ำหนักโมเลกุลของสารประกอบอะลูมินา}} \right) \times \left( \frac{\text{น้ำหนักอะลูมินารรวม}}{\text{ในวัสดุจีโอพอลิเมอร์}} \right) \\ &= \left( \frac{54}{102} \right) \times 34.08 \\ &= 18.04 \end{aligned}$$

ดังนั้นจะหาสัดส่วนระหว่าง Si/Al

$$= \frac{30.02}{18.04} = 1.6$$

## ประวัติผู้เขียน

นายณัฐพงศ์ พาจันทร์ เกิดเมื่อวันที่ 14 พฤษภาคม พ.ศ. 2531 สำเร็จการศึกษาระดับประถมศึกษาจากบ้านครีเชียงใหม่ อำเภอครีเชียงใหม่ จังหวัดหนองคาย เมื่อปี พ.ศ. 2544 สำเร็จการศึกษาระดับมัธยมศึกษาสายสามัญ จากโรงเรียนท่าบ่อ อำเภอท่าบ่อ จังหวัดหนองคาย เมื่อปี พ.ศ. 2550 สำเร็จการศึกษาระดับปริญญาตรีสาขาวิชางรรมเนื่องใน มหาวิทยาลัยเทคโนโลยีสุรนารี เมื่อปี พ.ศ. 2555 ภายหลังสำเร็จการศึกษาแล้วได้เข้าทำงานที่บริษัท โนโน่ เอสเค อุตสาหกรรม จำกัด (มหาชน) งานนั้นศึกษาต่อในระดับปริญญาโท สาขาวิชางรรมเนื่องใน มหาวิทยาลัยเทคโนโลยีสุรนารี ขณะที่ศึกษาอยู่ได้รับการตีพิมพ์ เพยเพร่บทำความทางวิชาการ โดยมีรายละเอียดปรากฏในภาคผนวก ก.

